

DYNAMIKSTUDIER PÅ ETT ÅNGKRAFTVERK

JERZY FLATO
GEORG HODOSI

RE-181 Juni 1976
Department of Automatic Control
Lund Institute of Technology

DYNAMIKSTUDIER PÅ ETT ÅNGKRAFTVERK

Redogörelse för ett examensarbet utfört 1975 - 76

av : Jerzy Flato

Georg Hodosi

Handledare: Ingemar Svanberg Stal - Laval, Finspång
 Ivar Gustavsson Inst. för Regleringsteknik,
 Björn Wittenmark LTH, Lund

A B S T R A C T

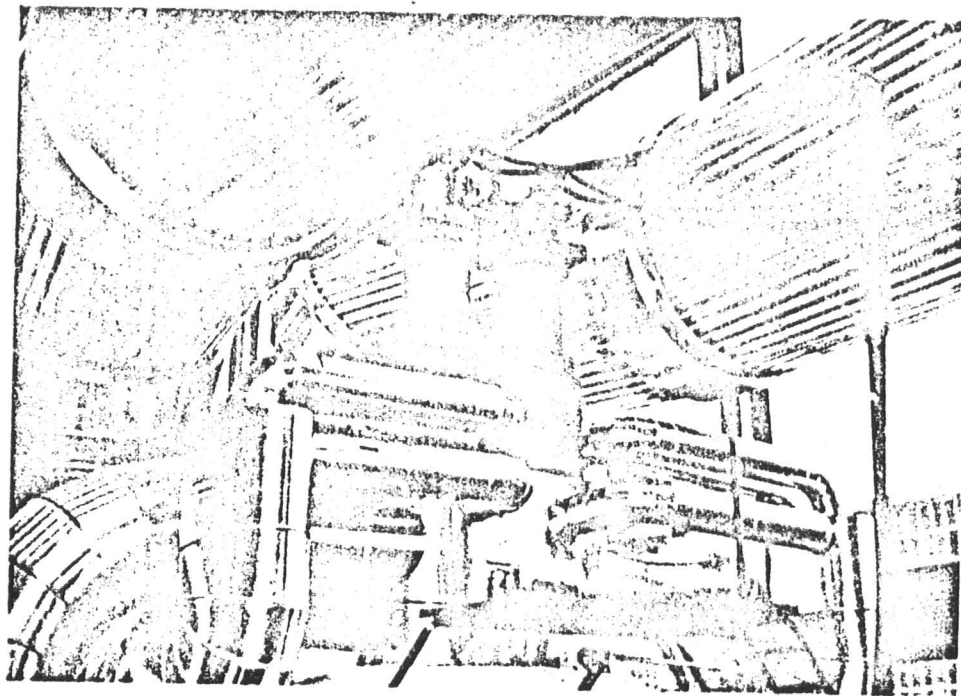
The goal of this work is to build a dynamic model for a steam power plant, using frequency and step-response analysis and use it for construction of an automatic controlling system. The model is to simulate all the variables necessary for controlling with reasonable accuracy.

By using measurements at a power plant in Örebro, the transfer functions for the most important steam pressures and process temperatures were determined. With those transfer functions as a ground several alternative dynamical models were analysed. One of them was chosen as the most useful for the computer simulation.

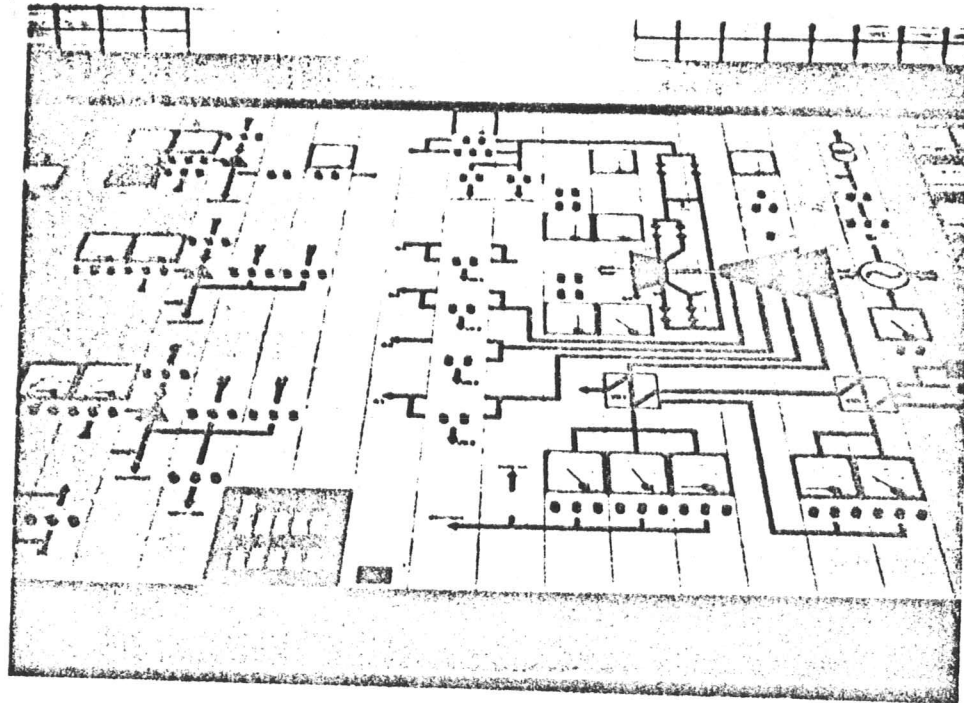
The process outputs that were important for controlling purposes were fed back and controlled, and the optimal parameters for the controllers were chosen by repeated simulations. The interactive computer program "Simnon" was used. The computer plottings of the feedback-systems show that the controllers satisfy the requirements.

A model based on physical laws was built for the turbine with condensor. This model was used to study the temperature- and pressure changes. The resulting pressure changes were fairly accurate, but for the temperature changes the model was too simple, so that the first model is more efficient for feedback and control.

STAL-LAVAL



Rezervertil



Manöverpanel

S A M M A N F A T T N I N G

Avsikten med examensarbetet är att med hjälp av frekvens och och stegsvarsanalys bygga en modell för ett ångkraftverk och använda den för att konstruera ett reglersystem.

Modellen skall simulera alla processvariabler som är intressanta ur reglertekniskt synpunkt, med tillräcklig noggrannhet.

Med hjälp av mätningarna gjorda på Örebrovärmekraftverk bestämdes de viktigaste ångtryck och temperaturprocessernas överföringsfunktioner.

Utgående från överföringsfunktionerna analyserades några alternativa dynamiska modeller för kraftverket. En av dessa visade sig vara lämpligast ur simuleringssynpunkt.

De ur reglersynpunkt viktiga mätsignaler återkopplades och lämpliga regulatorparametrar simulerades fram. Till det använde vi ett interaktivt dataprogramm "Simnon". Plottningar på datamaskin av de återkopplade systemen visar att regulatorerna uppfyller de uppställda kraven.

Vi har utifrån fysikaliska grundekvationer byggt en modell för kraftverket, varvid endast temperatur och tryckändringar studerades. Det visade sig att tryckförloppen överensstämde med de förväntade, men för att få fram temperaturändringarna var modellen för enkel och därmed kan den andra modellen effektivare användas för återkoppling och reglering.

INNEHÅLL

Inledning.....	1
Mätningar.....	3
Frekvensanalys.....	4
- Mätmetoder.....	4
- Signallätnings.....	9
Framtagning av överföringsfunktioner.....	10
- Frekvensanalys.....	10
- Stegsvarsanalys.....	18
- Lista över Bodediagram.....	22
- Kommentar till Bodediagram.....	38
Startsond.....	42
Dynamisk modell.....	47
Återkoppling och reglering.....	54
Ångans väg genom turbinen.....	62
- Modell för turbinen.....	65
- Modell för kondensorn.....	68
Litteratur.....	77
Appendix I Användning av Simnon.....	78
Appendix II Systemekvationer för delprocesserna.....	85
Appendix III Dataprogram för fysikaliska modellen.....	94

I N L E D N I N G

Ett värmekraftverk har en ganska omfattande reglerutrustning för reglering av bland annat turbinvarvtal, effekt och fjärrvärmtemperatur. För dynamiska beräknningar på reglersystemet och för simuleringsmed hjälp av dator eller analogimaskin krävs en dynamisk modell av processen. Avsikten med examensarbetet är att få fram en sådan modell, samt att få fram förslag till inställning av turbinregulatorn.

En ny reglerform "temperatursondreglering" kommer sannolikt att införas på kommande anläggningar. Denna reglering har till uppgift att begränsa temperaturskillnaden mellan turbinhus och ånga. Även denna reglerform tas med i modellen och lämpliga regulator anges.

Mätningarna gjordes på en 104 MW Stal-Lavals värmeturbin, då kontrollundersökning gjordes i slutet av garantitiden. Ångturbinen användes kontinuerligt för elektricitetsalsträng och kylvattnet för uppvärmning av bostäder. Turbinen är av axialtyp med 2 steg, som driver en synkrongenerator från Asea. Ångregleringen består av ventilerna: V1, V2, V3 och V4. Först öppnar V1 och V2 parallellt. När V1 och V2 är helt öppna börjar V3 öppna, och när V3 är helt öppen börjar V4 öppna. V1 och V2 tar ungefär 60% av ångmängden till turbinen V3 ytterligare 30% och V4 återstående 10%. Vid mät-

ningarna använde vi V3 för att åstadkomma sinus- och stegstörningar. Ventilernas hastigheter är hydrauliskt begränsade till ett slag på ca 3 sekunder.

Genomförande:

1. Frekvensanalys på värmekraftverket i Örebro.
2. Utvärdering av frekvensanalysen med uppritande av Bodediagram och framtagande överföringsfunktioner.
3. Framtagande av dynamisk modell av processen, lämpad att användas vid simuleringsar med hjälp av dator eller analogmaskin.
4. Förslag till inställning av regulatorn inklusive "temperatursondreglering".

MÄTNINGAR:

Följande mätstörheter registrerades;

1. Temperatur av fjärrvärmevatten
2. Tryck i värmekondensor
3. Ångpanntryck
4. Ångtryck i turbininloppet
5. Varvtal
6. Temperatordifferans mellan ånga och turbinhus
7. Generatoreffekt
8. Såld effekt
9. Kylvattenflöde
10. Ventilläge
11. Tongeneratorsignal
12. Regleravvikelse

Vid mätningarna varierade vi tongeneratorfrekvens, tongeneratoramplitud och kylvattenflöde.

Vi använde oss av följande mätinstrument:

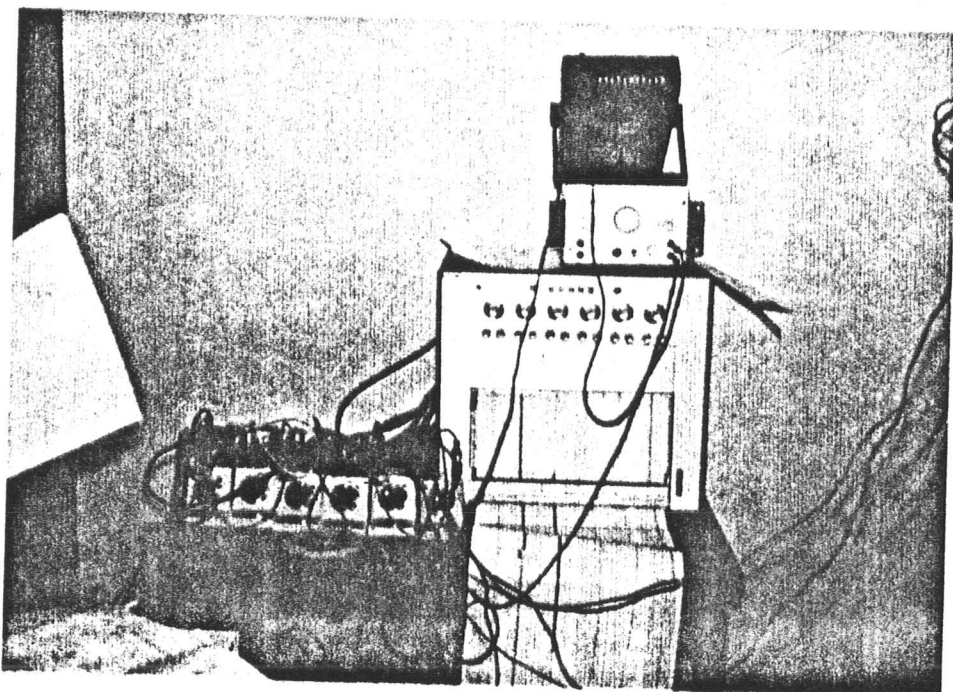
- 6-kanalsskrivare
- Digitalvoltmeter
- Tryck, temperatur, effekt - givare
- Oscilloskop

FREKVENSANALYS

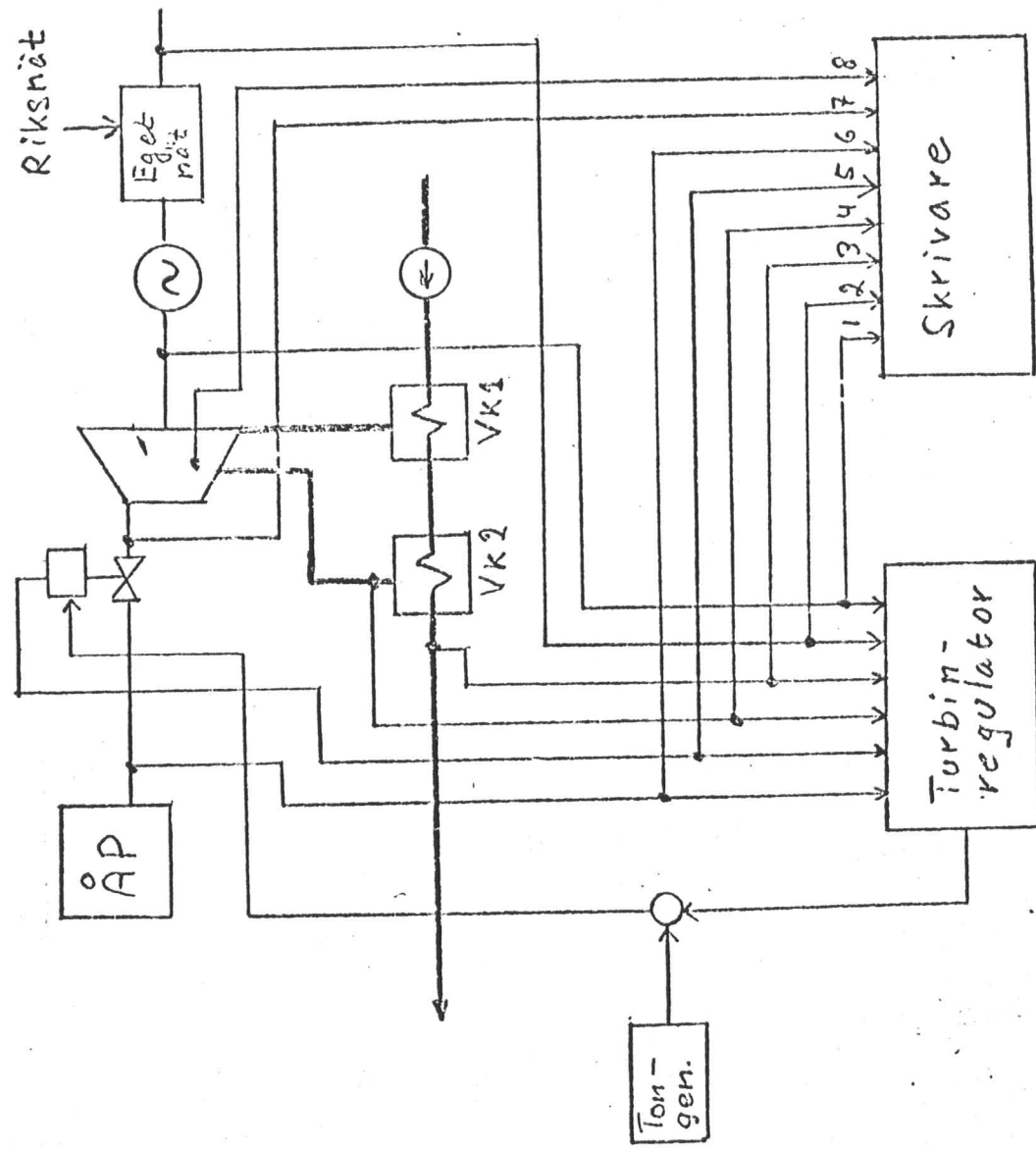
Mätmetoder

Mätningarna gjordes för det slutna systemet, med regulatorn inkopplad. Den principiella uppkopplingen framgår av figur 1. På ventillägessignalen överlades en sinusformad signal. På radskrivaren registrerades mätsignalerna. Sinusfrekvensen varierades stegvis från 0.00078 Hz till 5 Hz. Mätsignalerna registrerades för olika amplituder på sinusen. Mätsignalernas amplituder ändrades proportionellt.

För att få fram överföringsfunktionerna behövde vi mäta det öppna systemet för de olika delprocesserna. Att vi verkligen mätte det öppna systemet framgår av följande härleddningar.



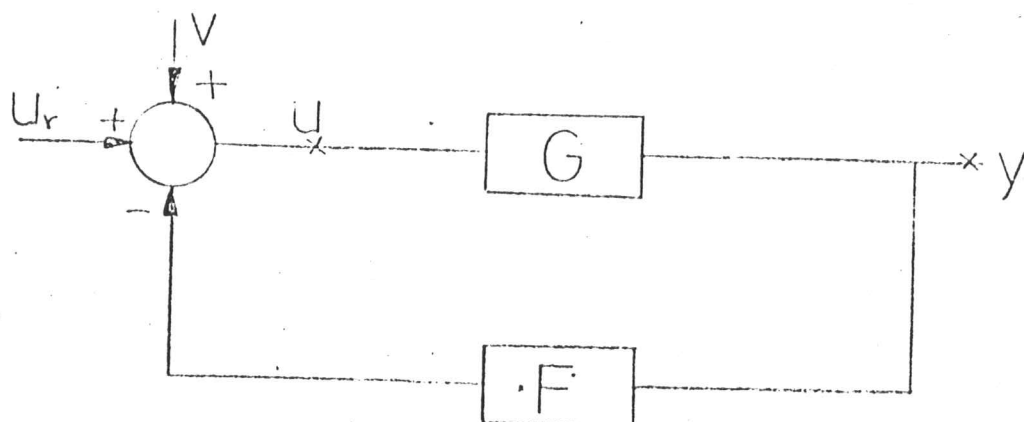
Mätutrustning



1. Turbinvarvtal
2. Köpt effekt
3. Temperatur fjärrvärmevatten
4. Tryck VK2
5. Reglerventilläge
6. Panntryck
7. Tryck i turbininlopp
8. Temperatursensor

Uppkoppling för
friekvensanalys

Fig. 1

SYSTEM UTAN STÖRNING $F = \text{regulator}$ $v = \text{signal från tongenerator}$ $u = \text{måtpunkt}$ $G = \text{sökt överföringsfunktion}$ $y = \text{måtpunkt utsignal}$ $u_r = \text{börvärdet}$

$$y = Gu = G(v + u_r - Fy) \rightarrow y(1 + GF) = (u_r + v)G$$

$$u = v + u_r - yF = v + u_r - uFG$$

$$u(1 + FG) = v + u_r \quad 2$$

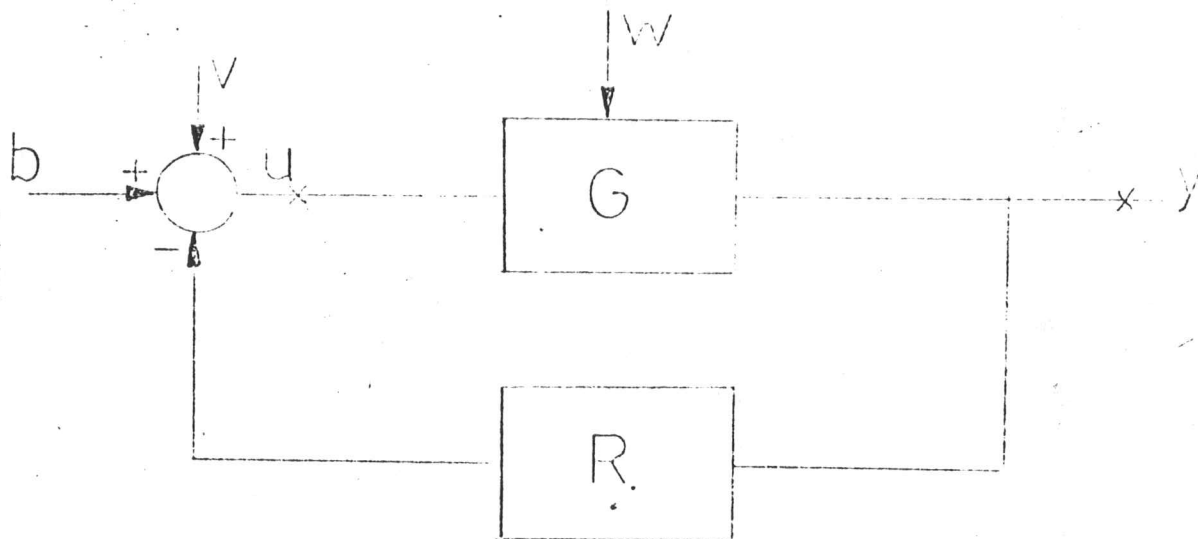
Def av överföringsfunktion $G_0 = y : u$ ger tillsammans med 1 och 2

$$G_0 = G$$

Slutsats: vi mäter det öppna systemets överföringsfunktion.

STÖRNING I SYSTEMET

7

 b = börvärde v = signal från tongenerator u = mätpunkt insignal G = sökt överföringsfunktion w = störning R = regulator

$$y = (u + w)G = (v + b - Ry + w)G$$

$$y(1 + RG) = (v + b + w)G \quad \dots \dots \dots 1$$

$$u = v + b - R(u + w)G$$

$$u(1 + RG) = v + b - wRG \quad \dots \dots \dots 2$$

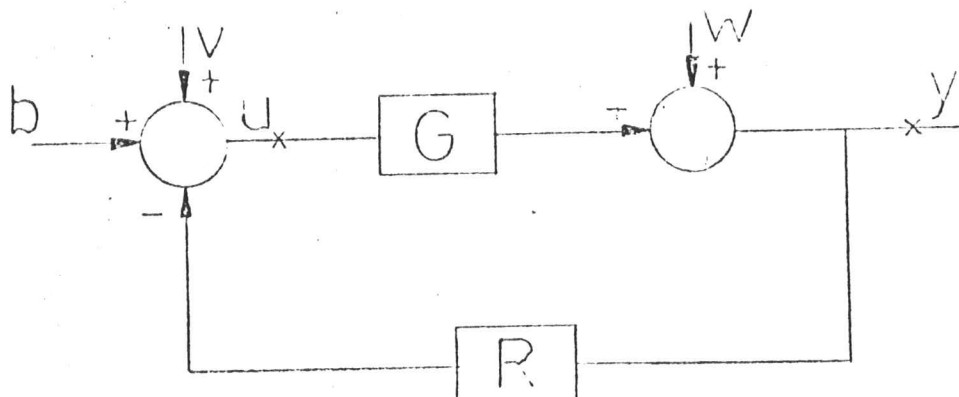
Definition av överföringsfunktion $G_o = \frac{y}{u}$ ger med 1 och 2

$$G_o = \frac{v + b + w}{v + b - wRG} = G \frac{1 + w/(v+b)}{1 - RGw/(v+b)}$$

$\frac{w}{v+b}$ liten. Serieutveckling ger

$$G_o = G \left(1 + \frac{w}{v+b} (RG + 1) \right) \approx G \text{ då } R \text{ är litet}$$

Se kommentar på föregående sida.



b = börvärde

v = signal från tongenerator

u = mätpunkt insignal

G = sökt överföringsfunktion

w = störning

R = regulator

$$y = uG + w = (v + b - yR)G + w \quad \text{--->} \quad y(1 + RG) = vG + bG + w$$

$$u(1 + RG) = v + b - RW$$

Definition av överföringsfunktion $G_o = \frac{Y}{U}$ ger med 1 och 2

$$G_o = \frac{v + b + w/G}{v + b - RW}$$

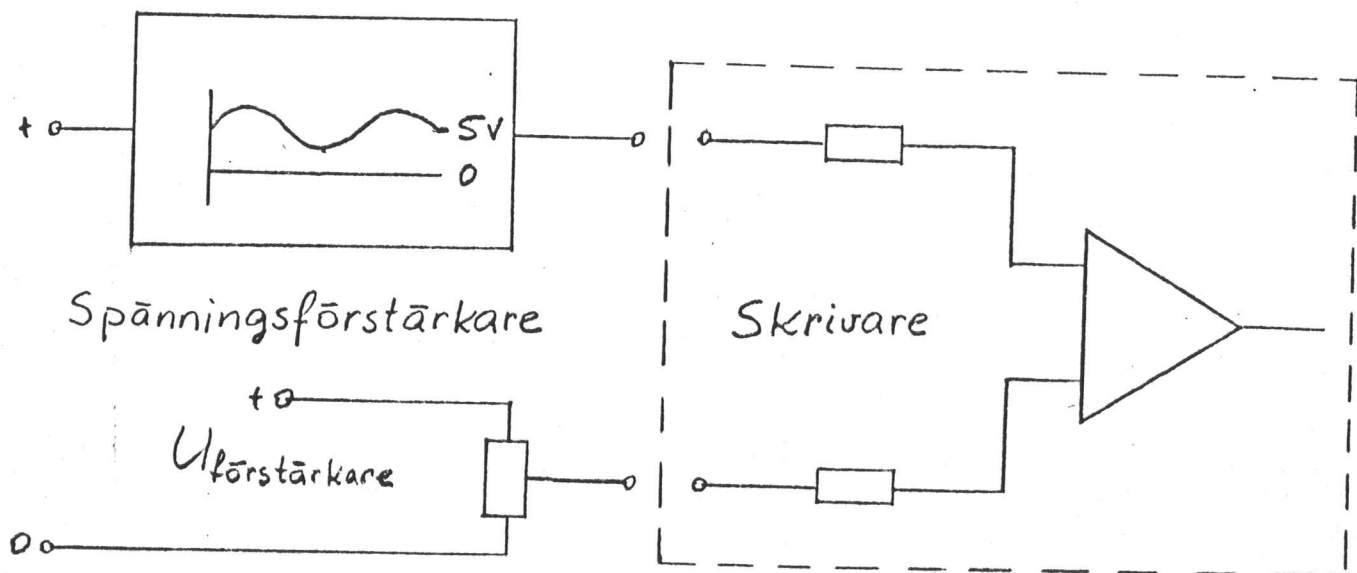
$\frac{w}{v + b}$ liten. Serieutveckling ger:

$$G_o = G\left(1 + \frac{wR}{v + b}\right) + w \frac{1}{v + b} \cdot G \approx G$$

Kommentar: Eftersom vi har fått ut sinusformade kurvor i utsignalen då tongeneratorns signal var sinusformad, så kan vi inte ha fått in stora stokastiska störningar. Genom att vi har mätt flera olika frekvenser och jämfört kurvorna, så kan vi utesluta periodiska störningar.

Signalmätning

Vid tryckmätningarna använder vi "nollpunktsförskjutning", för att utbalansera likspänningsskumponenten. Därmed undviker vi att bottna förstärkarna.



FRAMTAGNING AV ÖVERFÖRINGSFUNKTIONERNA

När amplitudpunkterna och faspunkterna avsattes på Bode-diagram så har vi jämfört dem med typkurvorna. Med hjälp av dessa har vi approximerat våra kurvor och därmed bestämt överföringsfunktionerna.

KONTROLL AV ÖVERFÖRINGSFUNKTIONER

För att kontrollera att vi verkligen fått fram de riktiga överföringsfunktionerna har vi simulerat några frekvenser på datamaskinen. Vid mätningarna i Örebro har vi bland annat kört dessa frekvenser. Därmed kunde vi jämföra de verkliga överföringsfunktionerna med de som vi har fått fram ur frekvensanalysen. På följande sidor visas några exempel på radskrivarutskrifter och simulationer. Det är bra överensstämelse bland dessa, trots att en del radskrivarutskrifter är något otydliga (några överföringsfunktioner modifierades för att få bra överensstämelse).

I en del fall har vi halverat tongeneratoramplituden med följd av att även utsignalen har halverats. Detta kan vara en god indikation på att det är frågan om linjära system.

SKRIVARHAST

1mm/s

f = 0.01 Hz

VENTILLÄGE

TONGENERATOR

REGLEGRAVITELSEN

GENERATOREFFEKT

KÖPT EFFEKT

Fig 2

PÅNTRYCK

U = VENTILLÄGE

Y = KÖPT EFFEKT

HCOPY Ø G13 OPEN W=0.0628 R/S

STORE : U
STORE : Y

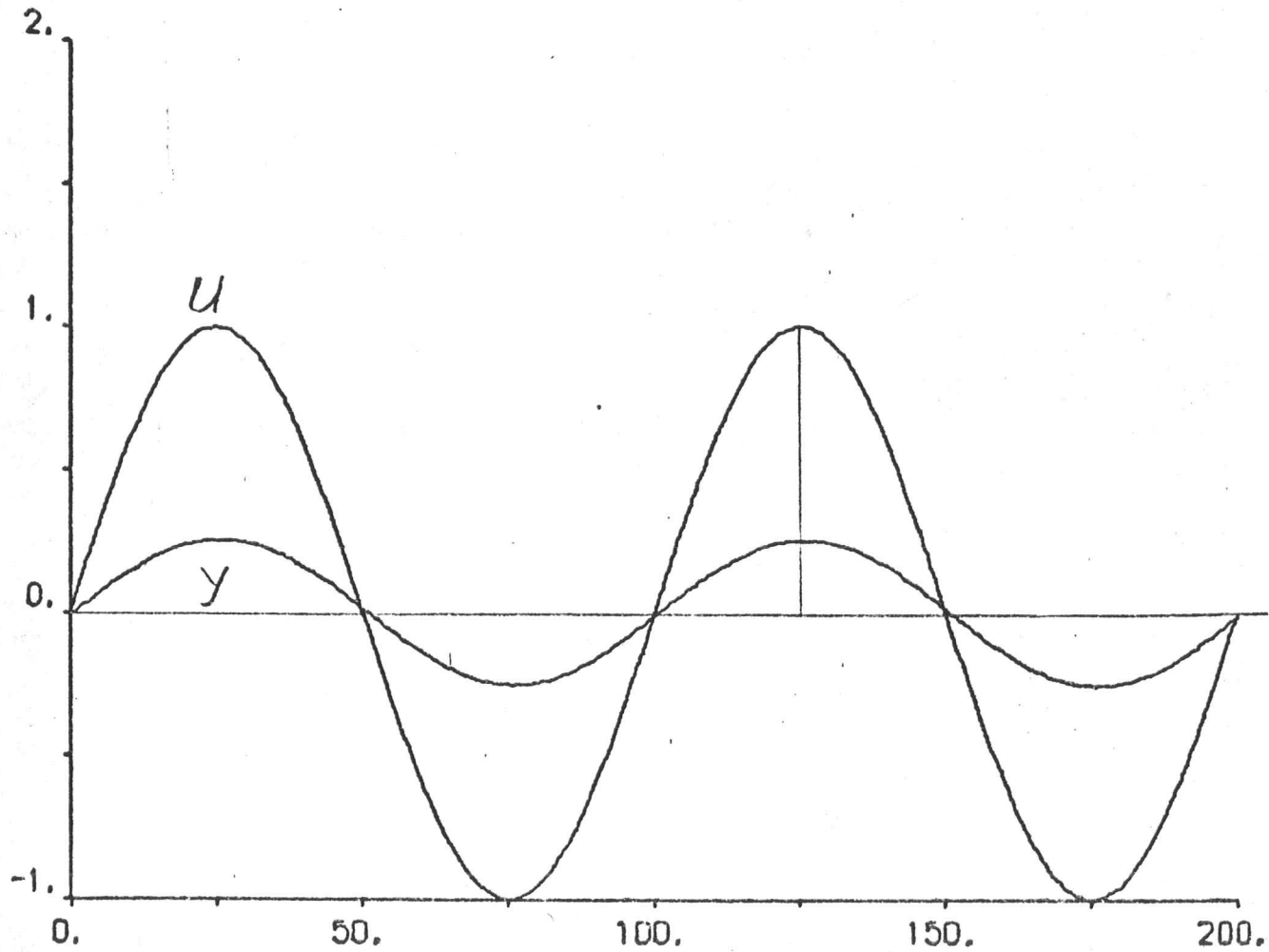
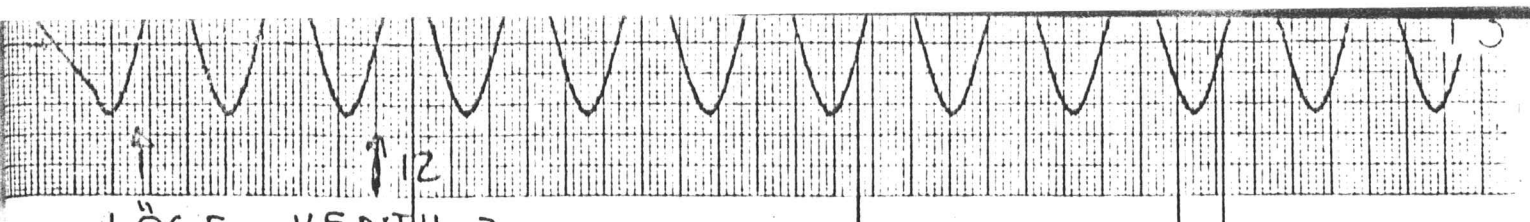
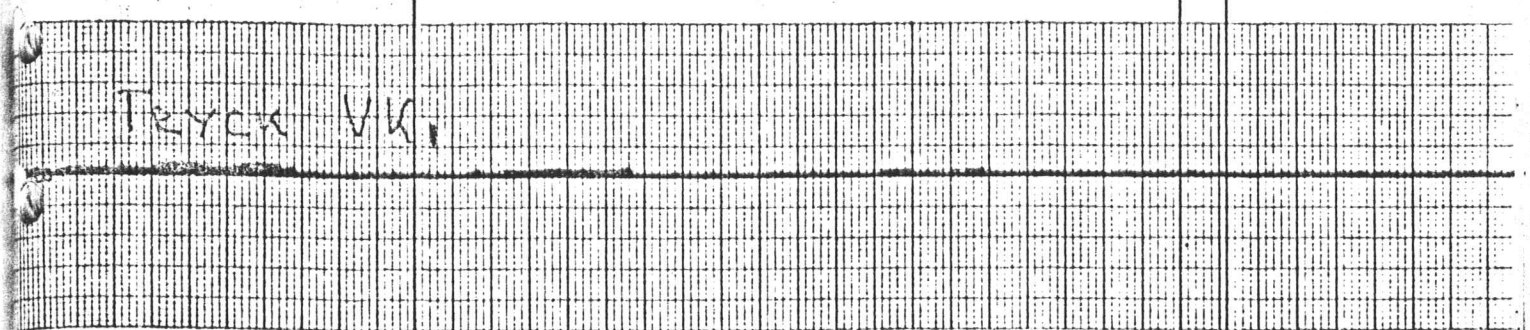
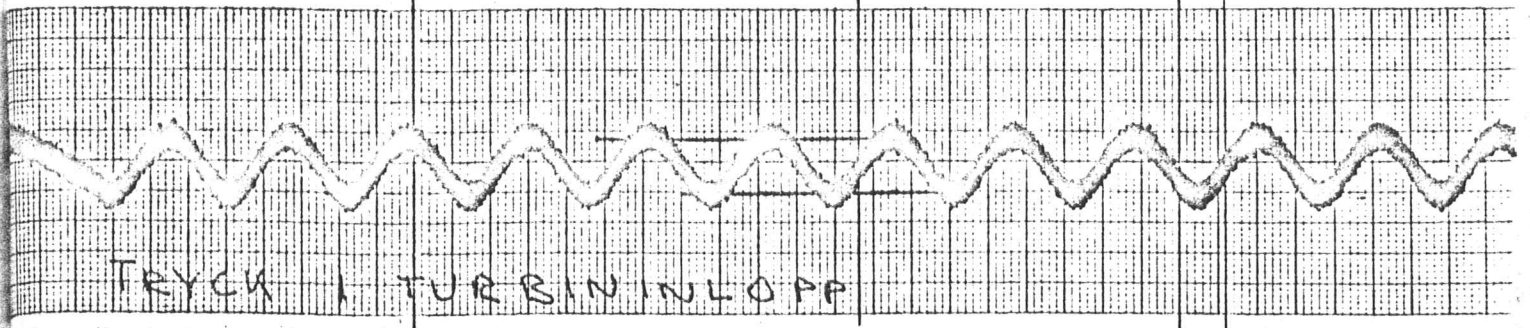


Fig 3



LÄGE VENTIL 3

$$t = 0.005 \text{ sec}$$



BRUSH INSTRUMENTS DIVISION, GOULD INC.

CLEVELAND, OHIO

PRINTED IN U.S.A.

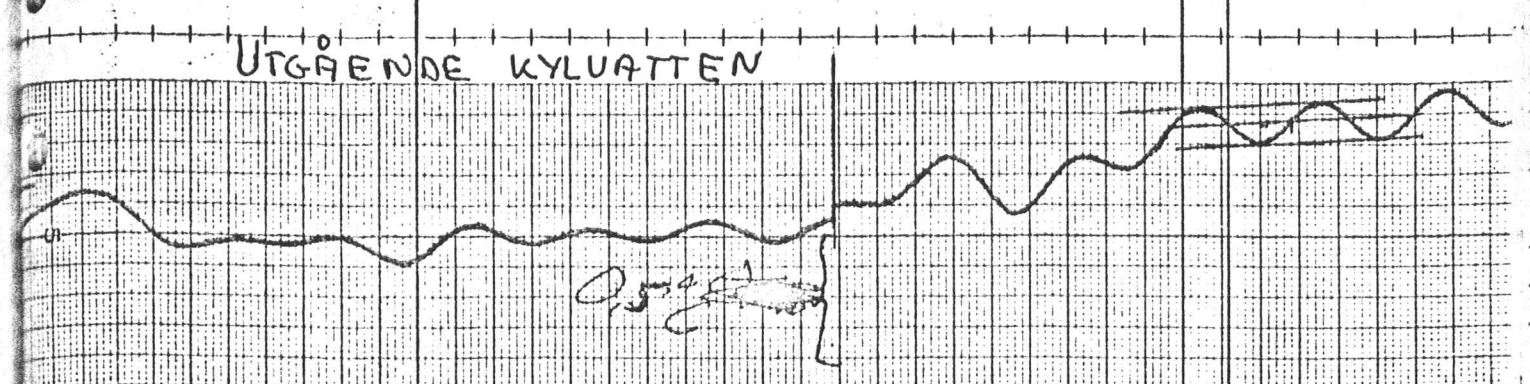
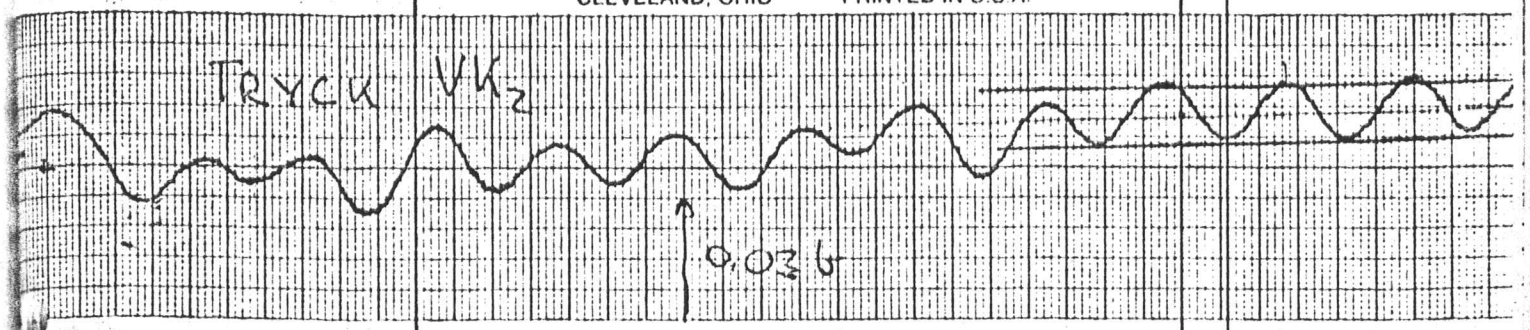


Fig 4

17 mm - 9%

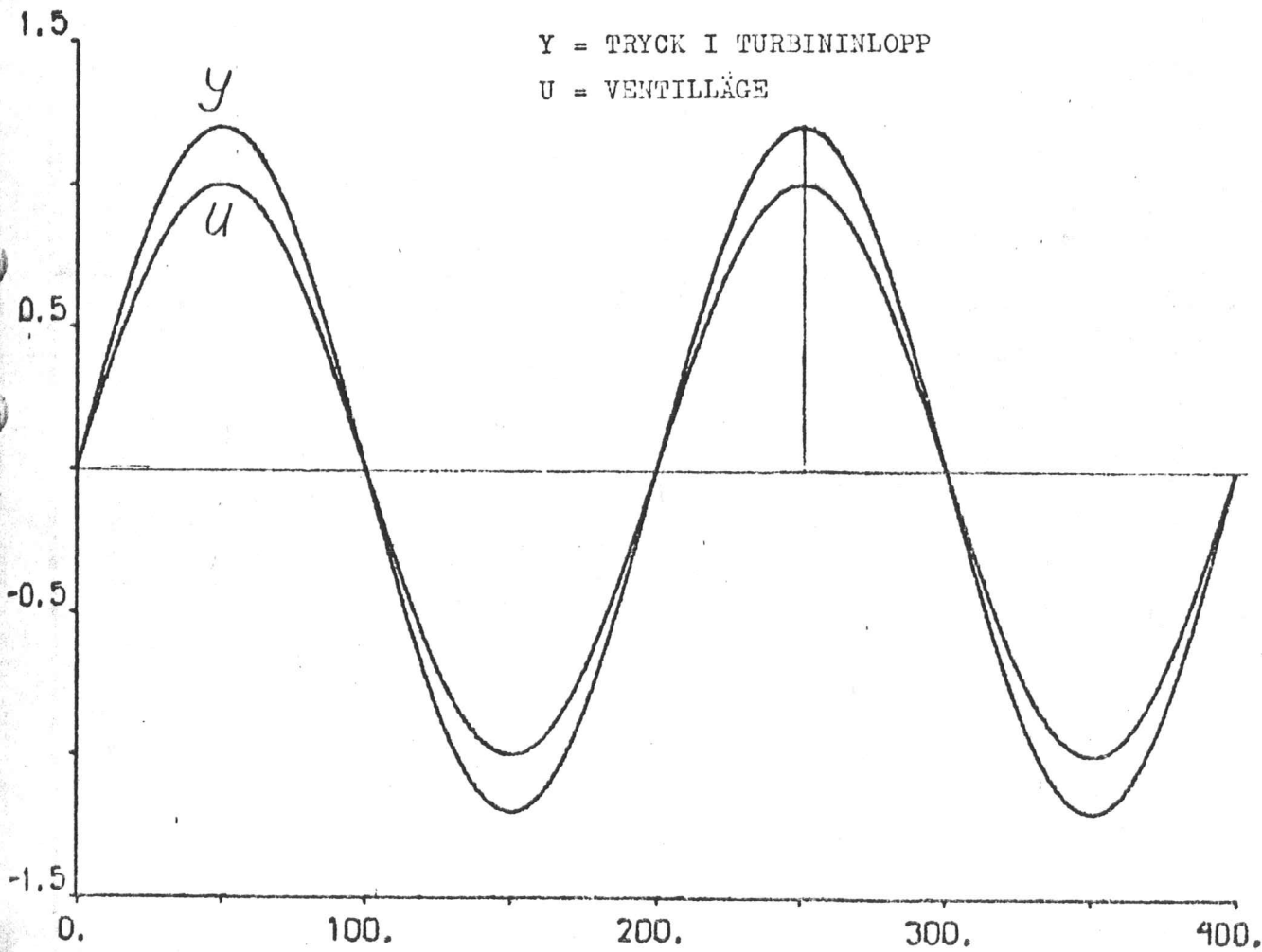
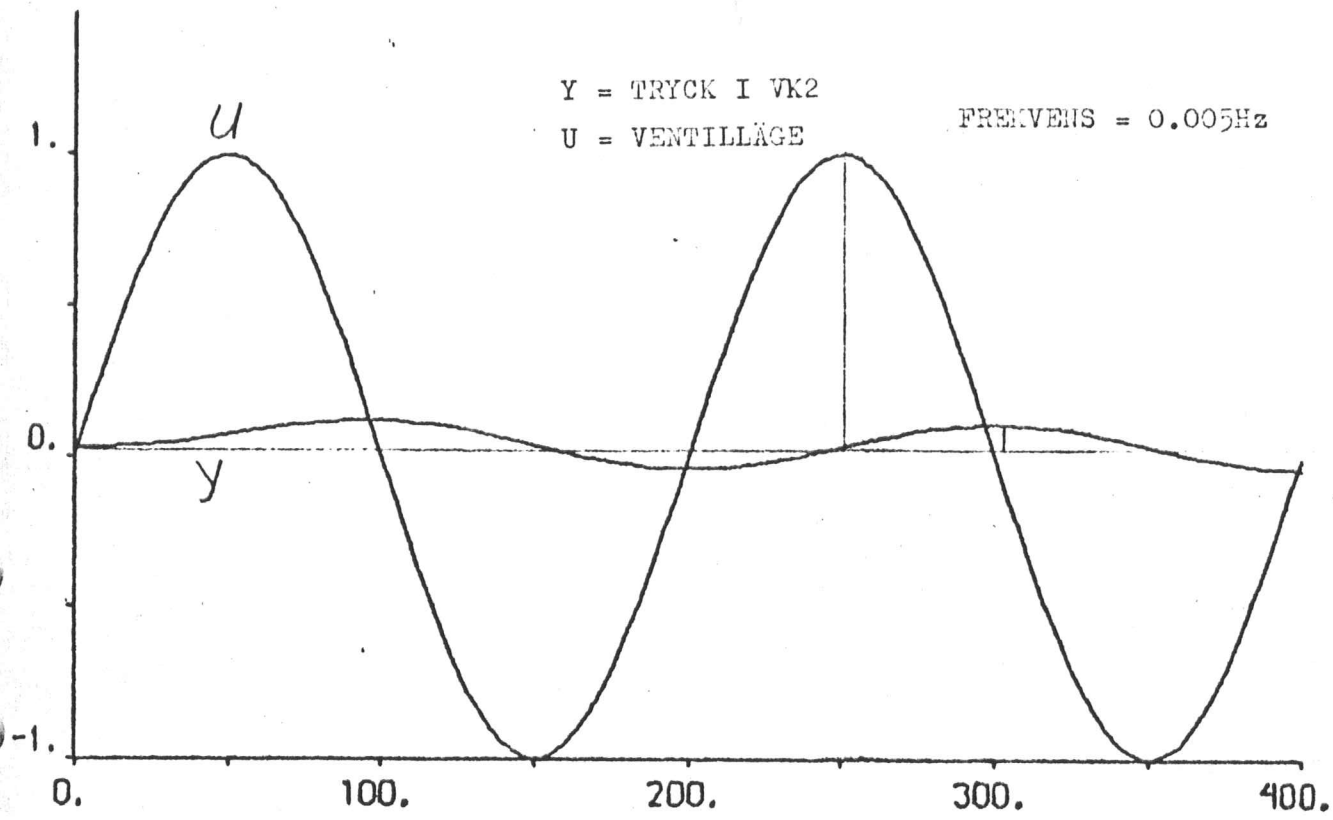


Fig. 5

542



VENTILLÄGE (3)

TRYCK I TURBININLOPP

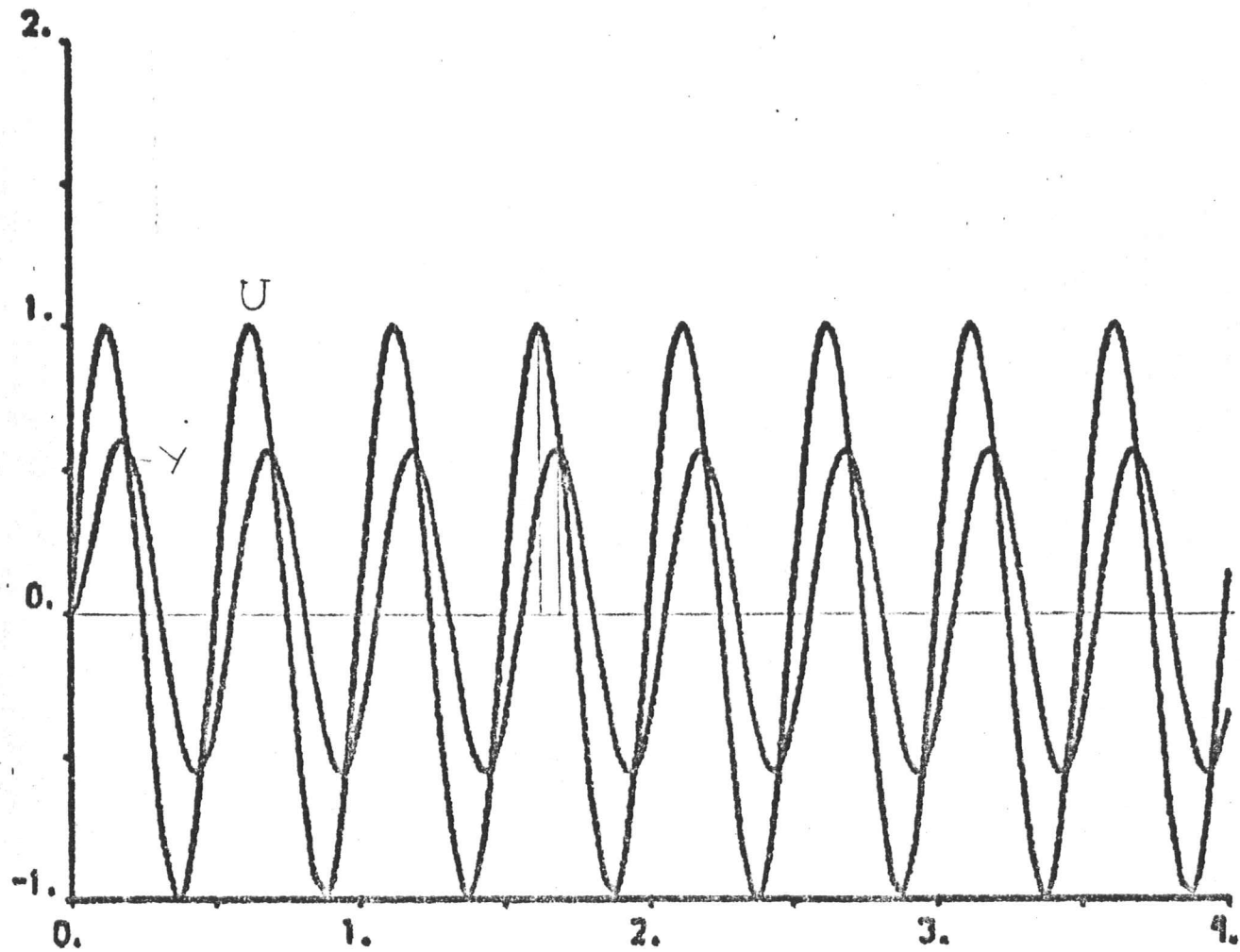
Fig. 6

U = VENTILLÄGE

Y = TRYCK I TURBININLOPP

HCOPY ØG6 V.L.-TRYCK I TURB.INL. W-12.6

FIL4 : U G6
FILE4 : Y G6



Kommentar till kurvorna:

I fig. 2 visas en registrering av en sinusformad ventillägesändring och motsvarande sinussvar för Köpt Effekt vid 0.01 Hz.

I fig. 3 visas en simulerings av samma process vid samma frekvens. God överensstämmelse av amplitud och fasförskjutning.

I fig. 4 visas en registrering av Tryck i Turbininlopp och Tryck $V_k 2$ vid en sinusformad ventillägesändring vid 0.005 Hz. Dessa jämfördes med fig. 5 som simulerades på datamaskin.

Jämförelse mellan uppmätt och simulerat Tryck i Turbininlopp visas i fig. 6 och vid 2 Hz.

STEGSVARSAANALYS

Vid mätningarna i Örebro har vi tagit några stegsvar på de viktigaste signalerna.

Med hjälp av stegsvaren har vi bestämt överföringsfunktionen för startsonden, eftersom frekvensområdet för Bodediagrammet var för smalt och endast den ena brytpunkten var med. Även tidsfördröjningen fick vi fram på det här sättet.

Med hjälp av datamaskinen har vi simulerat stegsvaren för Tryck VK_2/VL och Temperatur fjärrvärmevatten/VL. Dessa har vi följt med stegsvaren från skrivaren och funnit god överensstämmelse.

SRIVARASAGHAT 25 mm/min

3.5 min

9.2 S

4.9 min ins.

38 S.

Indigo 2.4 S.

7.1 min uns. trd

FIG. 8

20

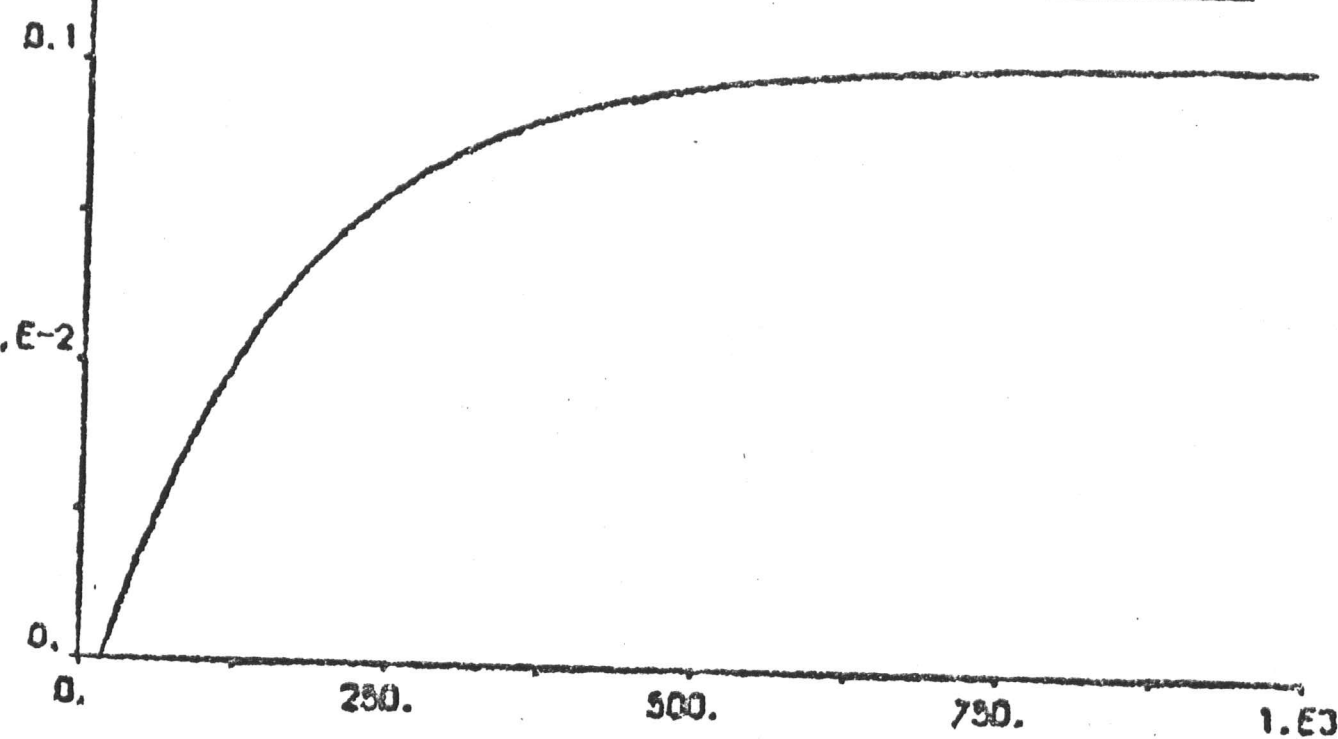
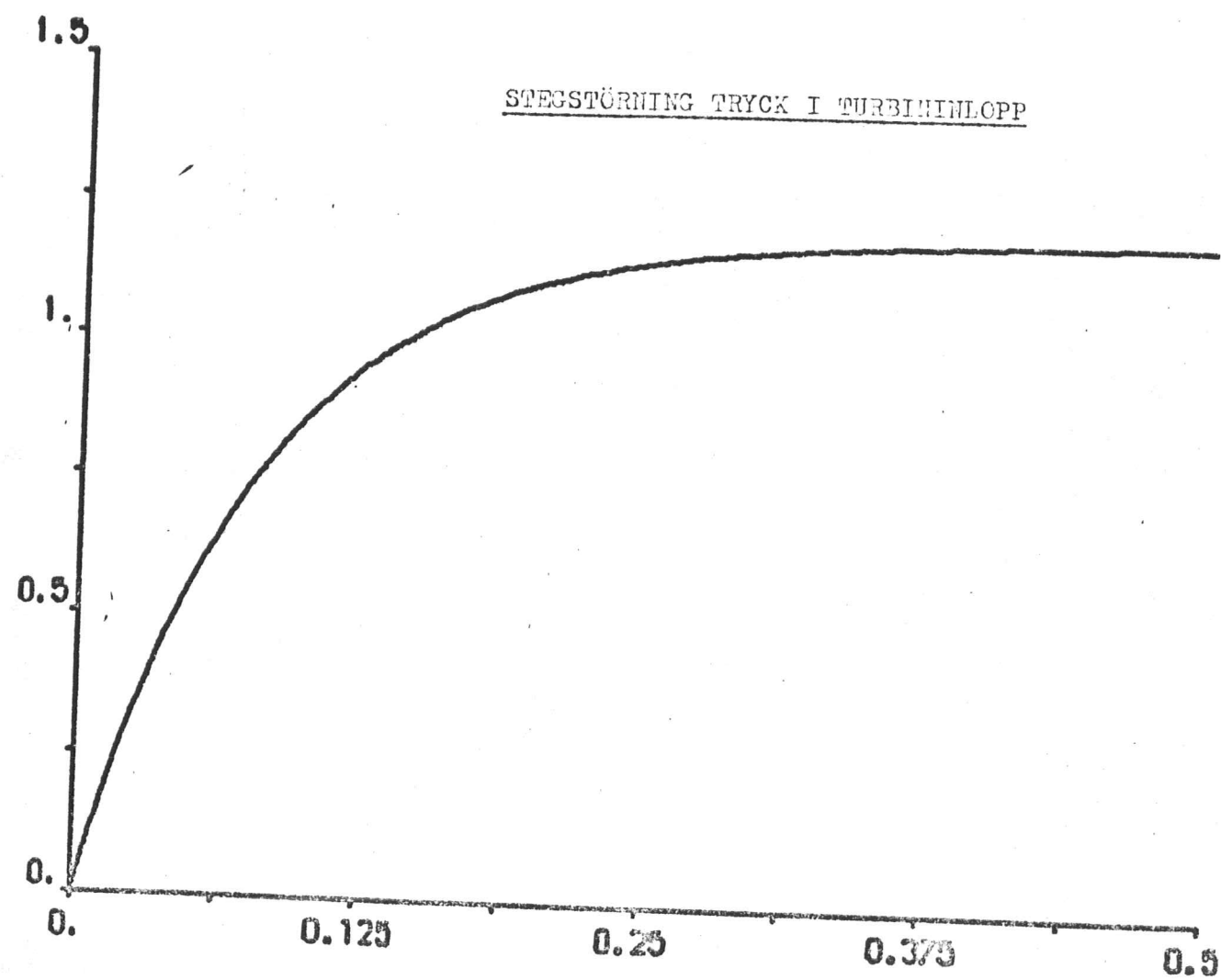
STEGSTÖRNING TEMPERATUR FJÄRRVÄRMETRÖMSTEGSTÖRNING TRYCK I TURBININLOPP

Fig. 9

HCOPY 0G5 L1 TRYCK 1 VK2 STEG
Z2 : Y G5
Z3 : Y G5

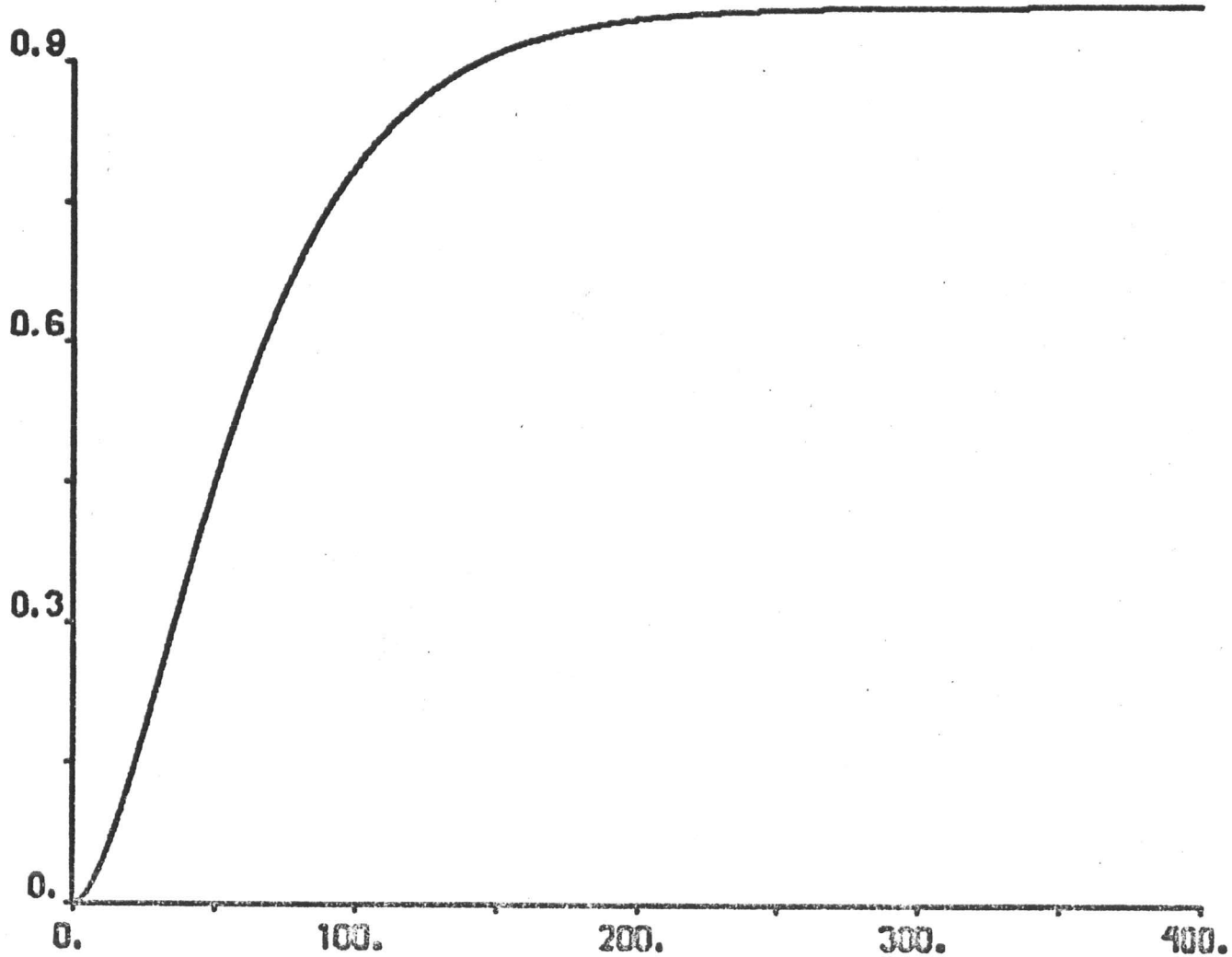


Fig. 10

L I S T A Ö V E R B O D E D I A G R A M

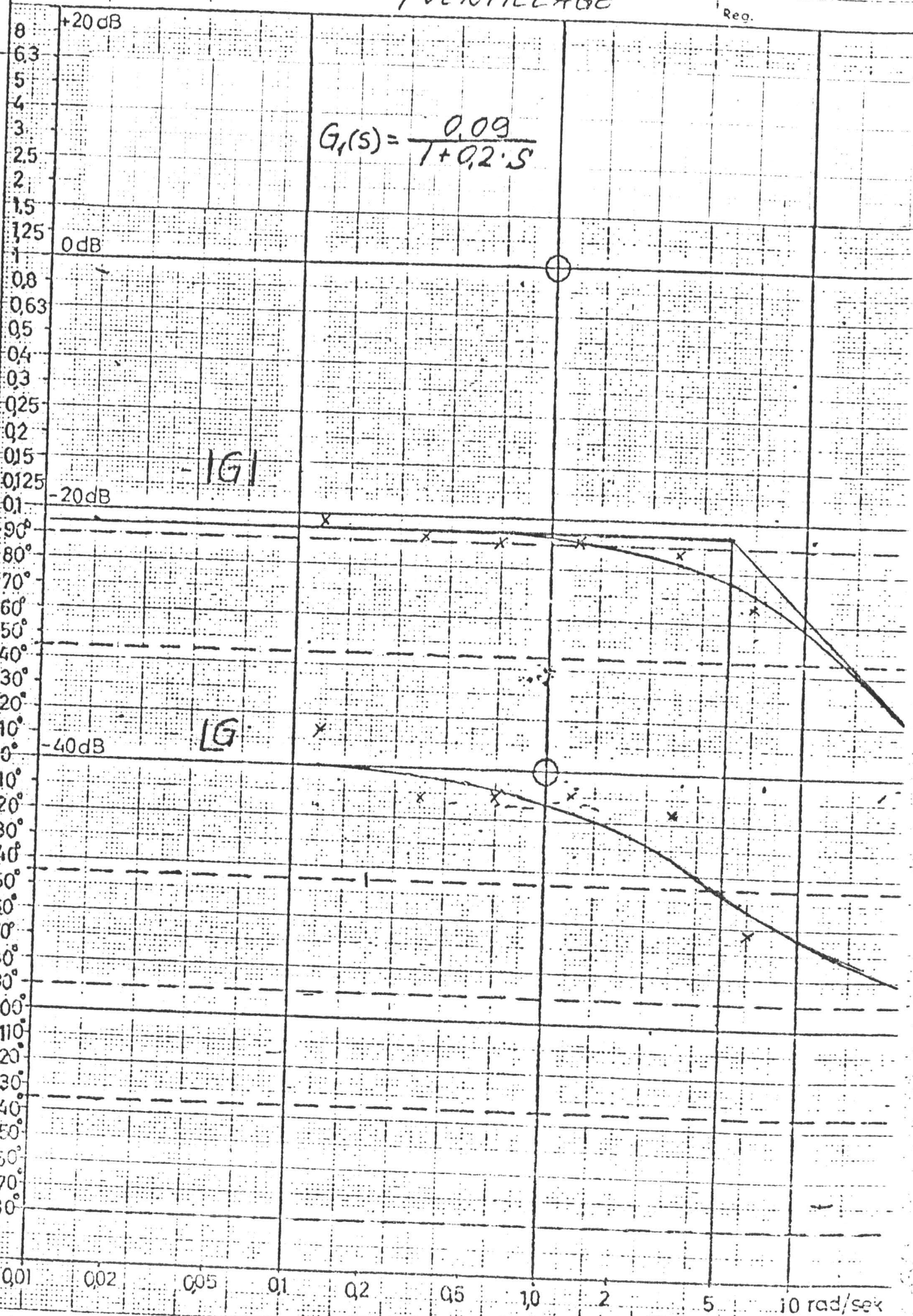
<u>Nr</u>	<u>Bodediagram</u>
1	Panntryck/Ventilläge
2	Temp. Fjärrvärmevatten/Tryck i turbininlopp
3	Generatoreffekt/Tryck i turbininlopp
4	Temperatur Startsond/Ventilläge
5	Tryck VK2/Tryck i turbininlopp
6	Tryck i Turbininlopp/Ventilläge
7	Ventilläge/Tongenerator
8	Ventilläge/Regleravvikelse
9	Köpt Effekt/Tryck i Turbininlopp
10	Köpt Effekt/Generatoreffekt
11	Temperatur Fjärrvärmevatten/Tryck VK2
12	Temperatur Fjärrvärmevatten/Ventilläge
13	Köpt Effekt/Ventilläge
14	Generatoreffekt/Ventilläge
15	Tryck VK2/Ventilläge

Kommentar till bodediagram på sid 38-4/

Bodediagram / PANNTRYCK / VENTILLÄGE

Datum: Sign.

Reg.

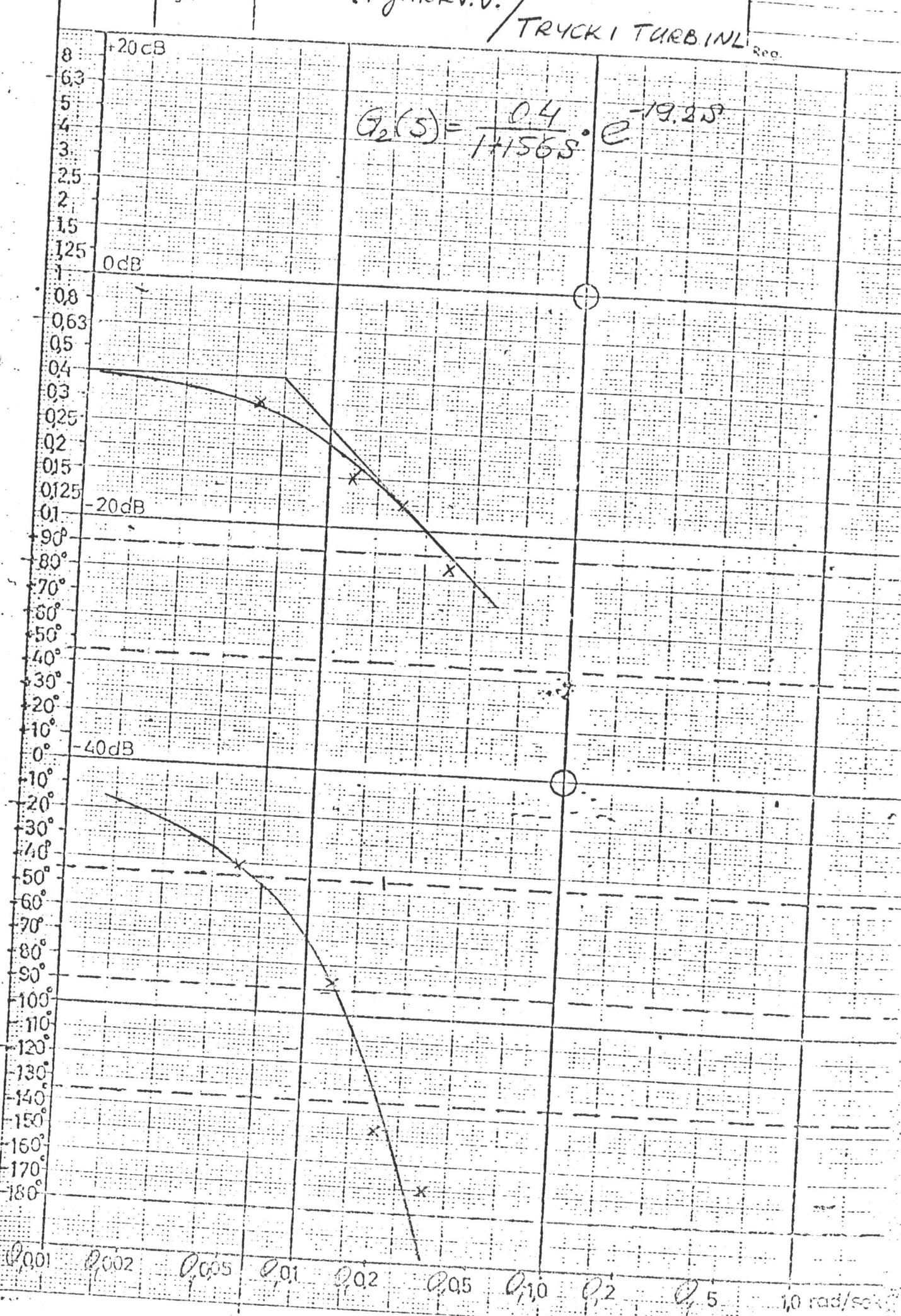


Bodediagram 2
TEMP. FJÄRRV.V.

24

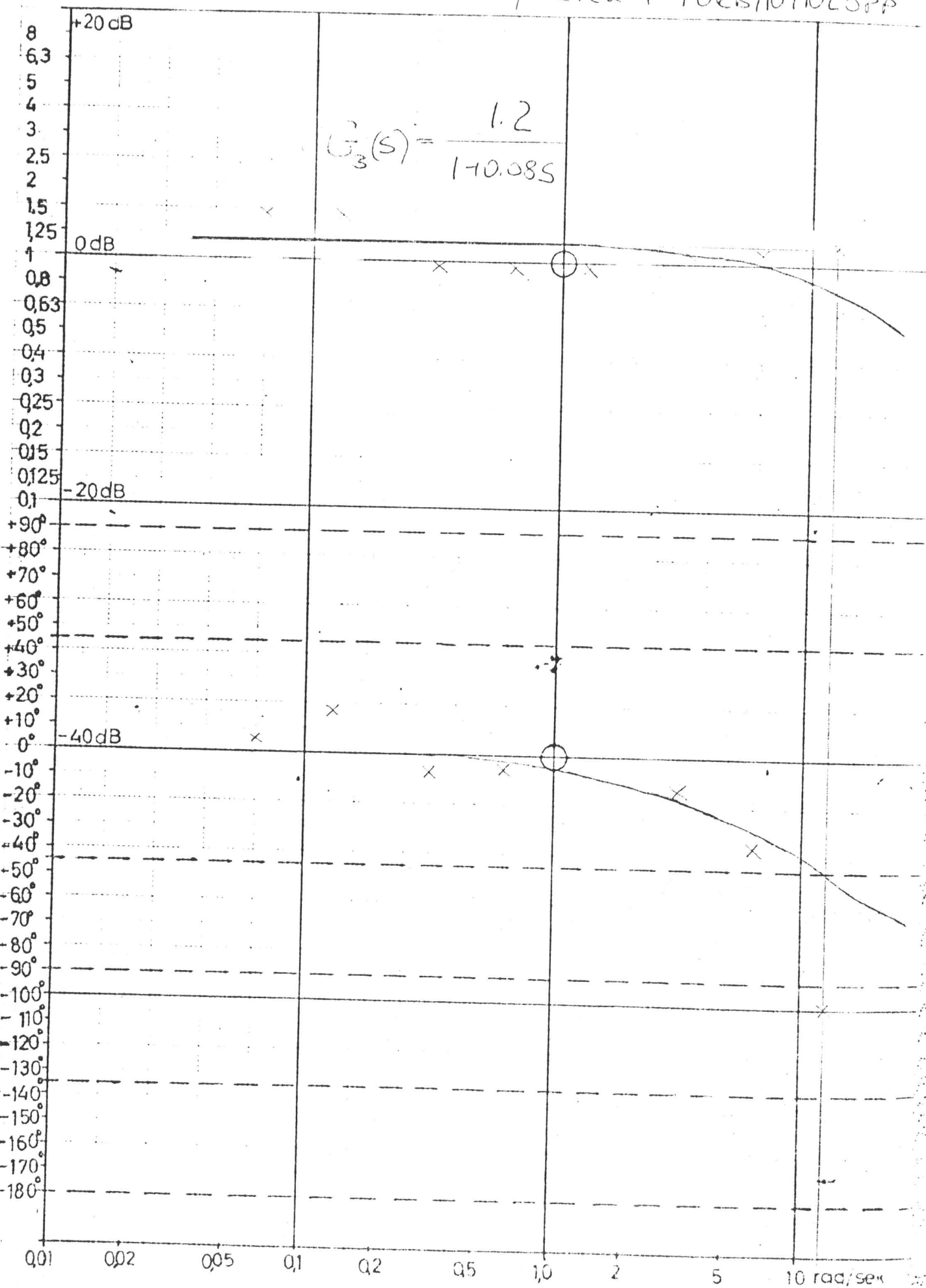
TRYCK I TURBINL

req.



Datum 5.4.7

GENERATOREFFEKT/TRYCK I TURBININLOPP

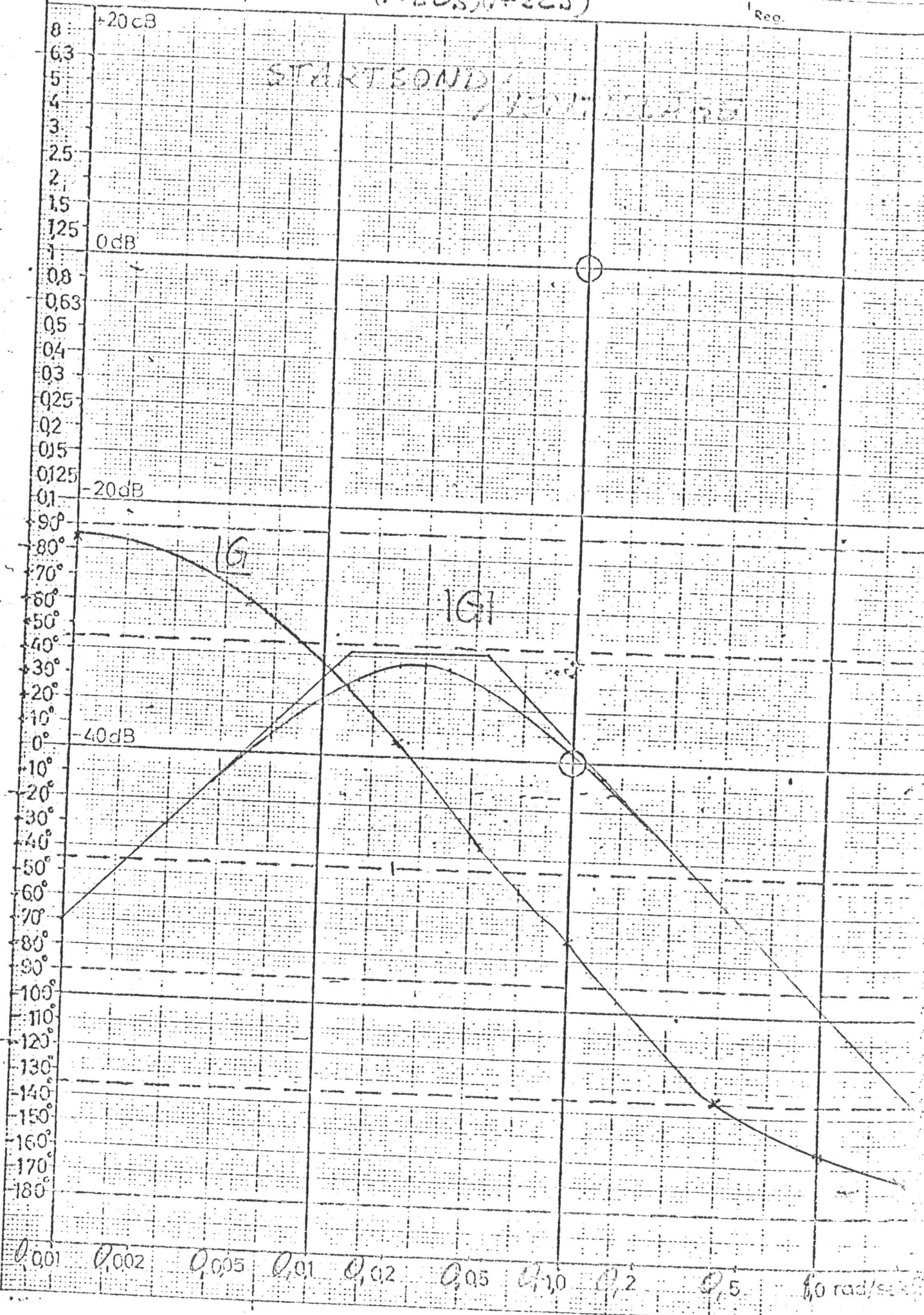


Datum

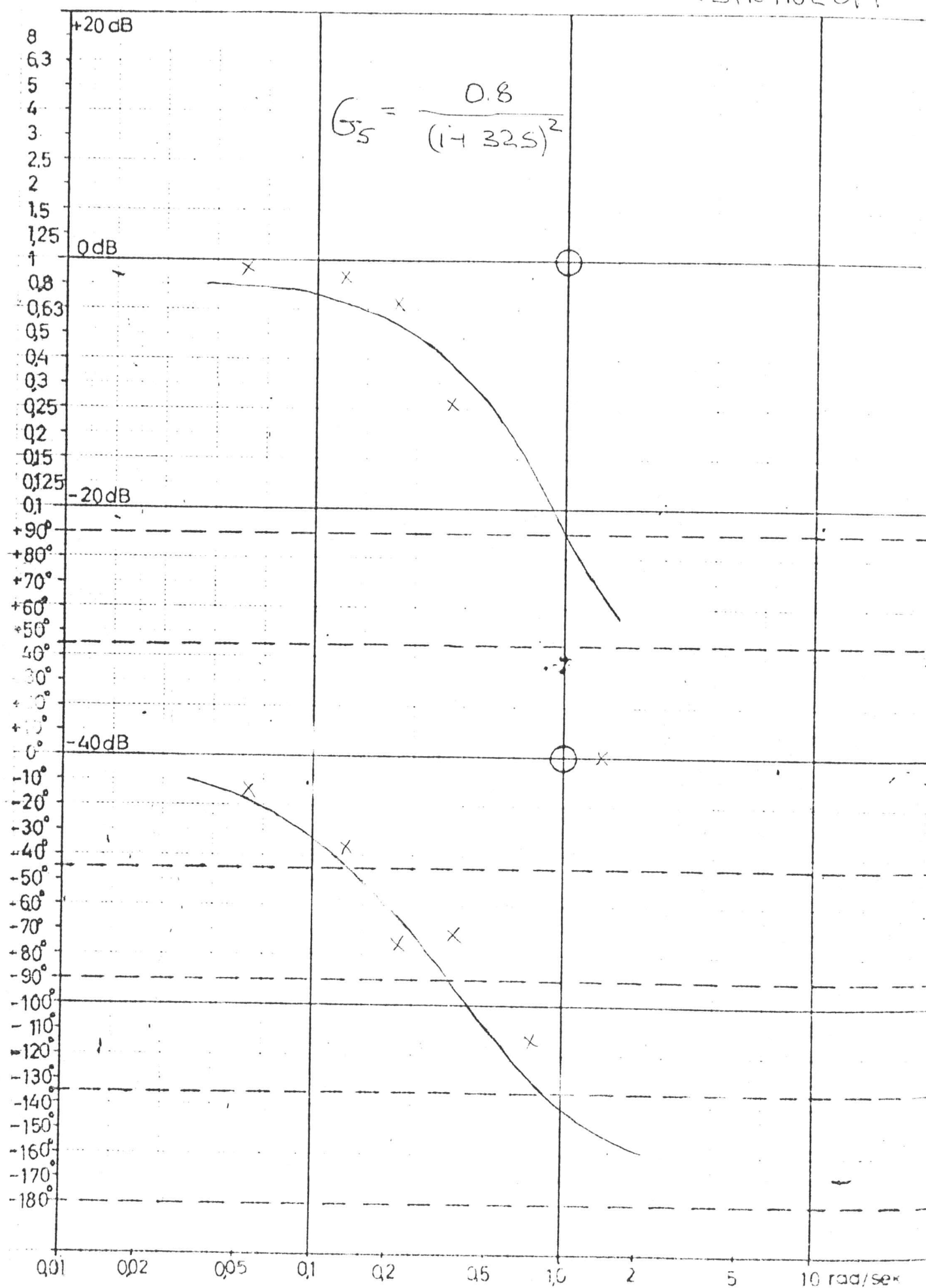
Sign.

$$G_4(s) = \frac{2,7 \cdot 5 \cdot e^{-2,4s}}{(1+80s)(1+22s)}$$

Reg.



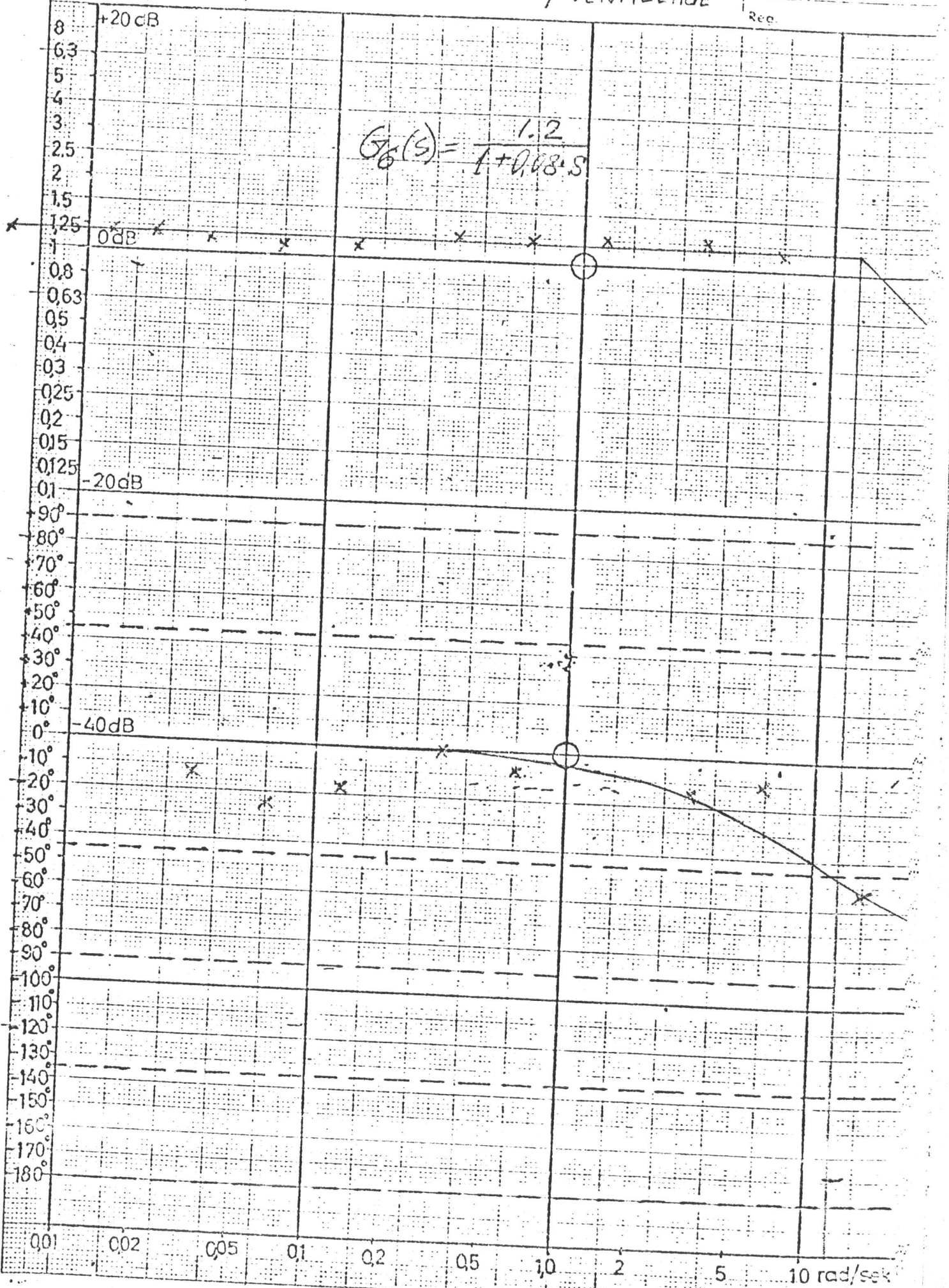
Datum Sign.

TRYCK VK₂ / TRYCK I TURBININLOPP

Datum Sign.

TRYCK I TURBININL. / VENTILLÄGE

Reg.

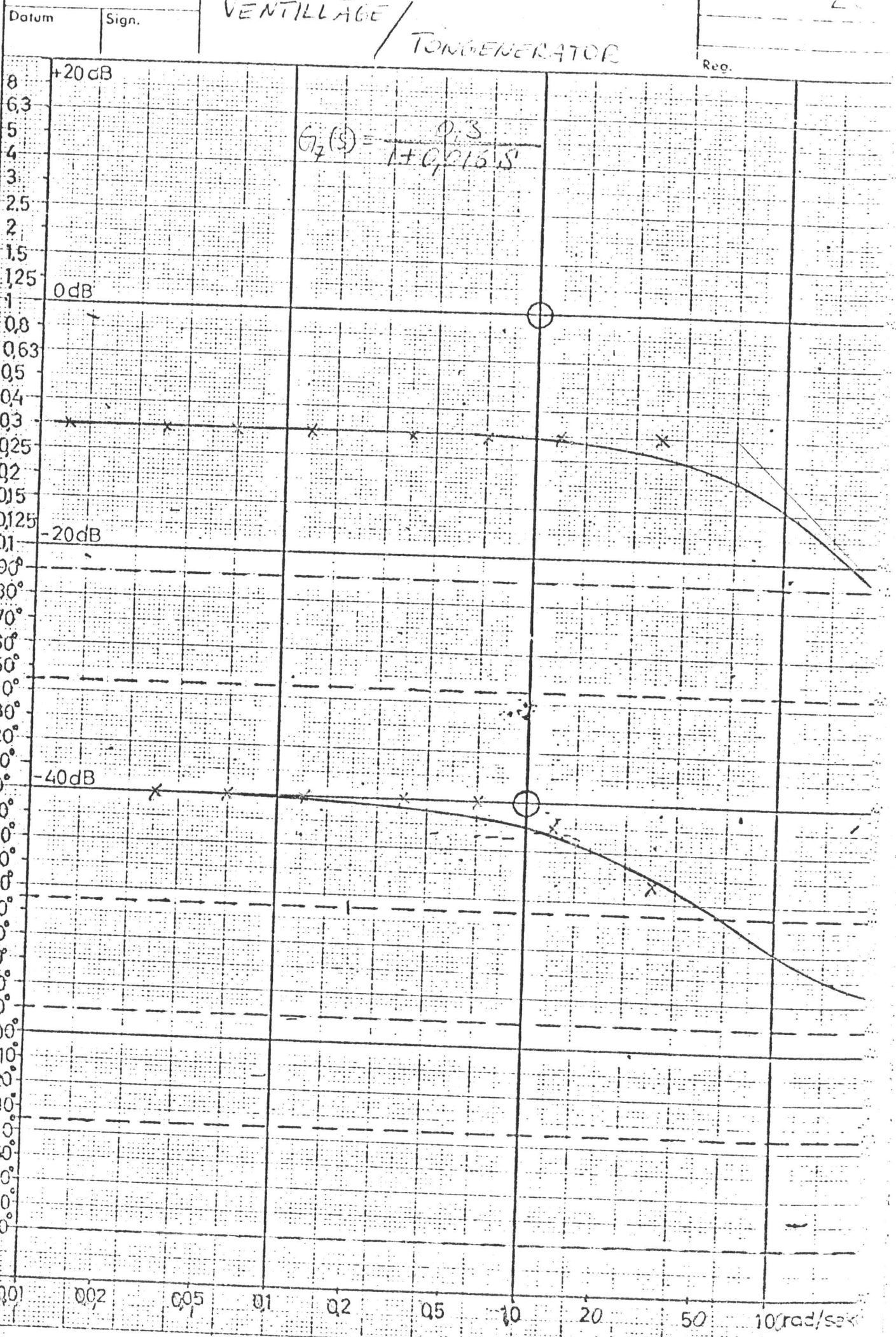


de Laval
Jungström

Bodediagramm 7
VENTILLÄGE /
TÖNGENERATOR

29

Reg.

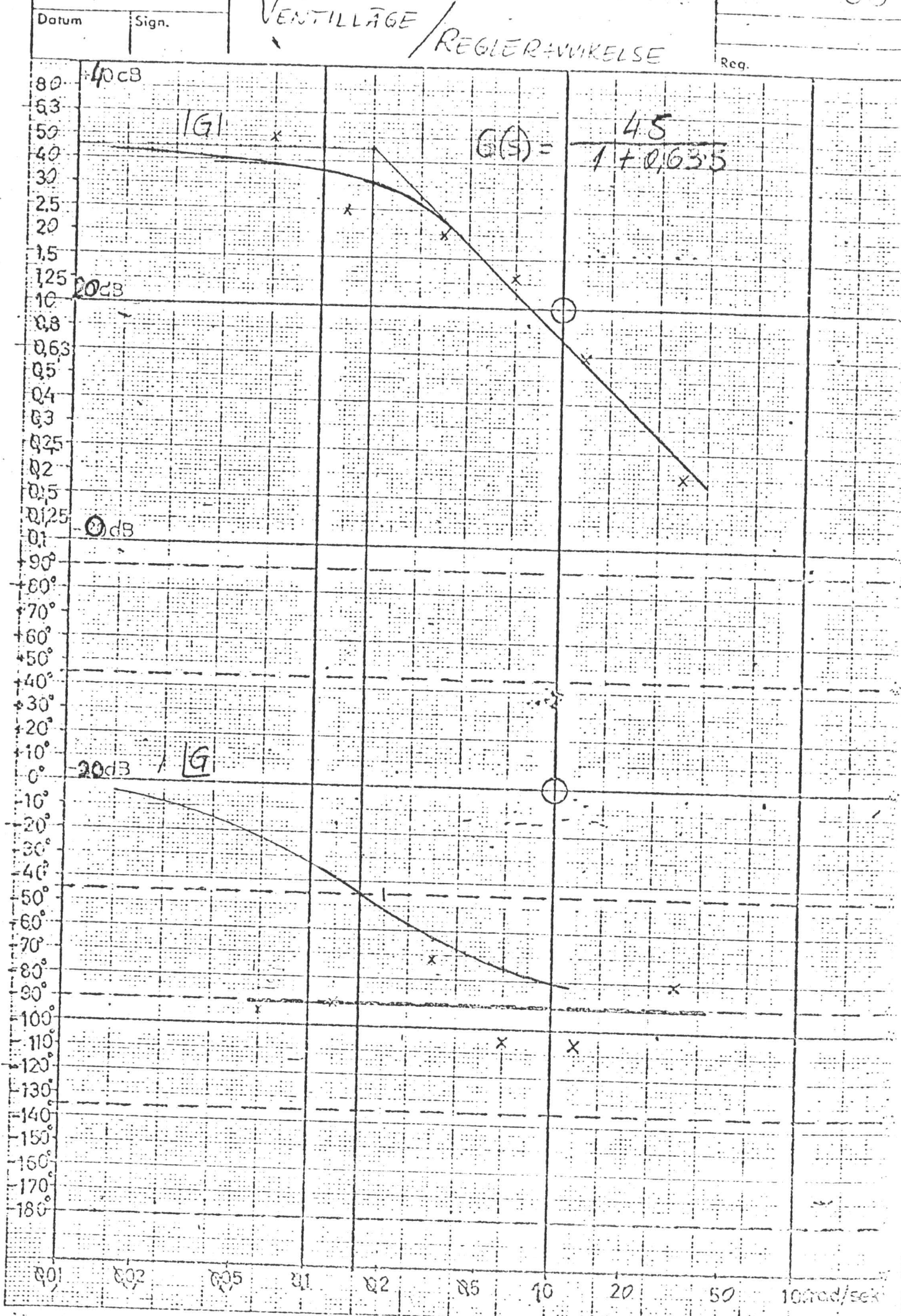


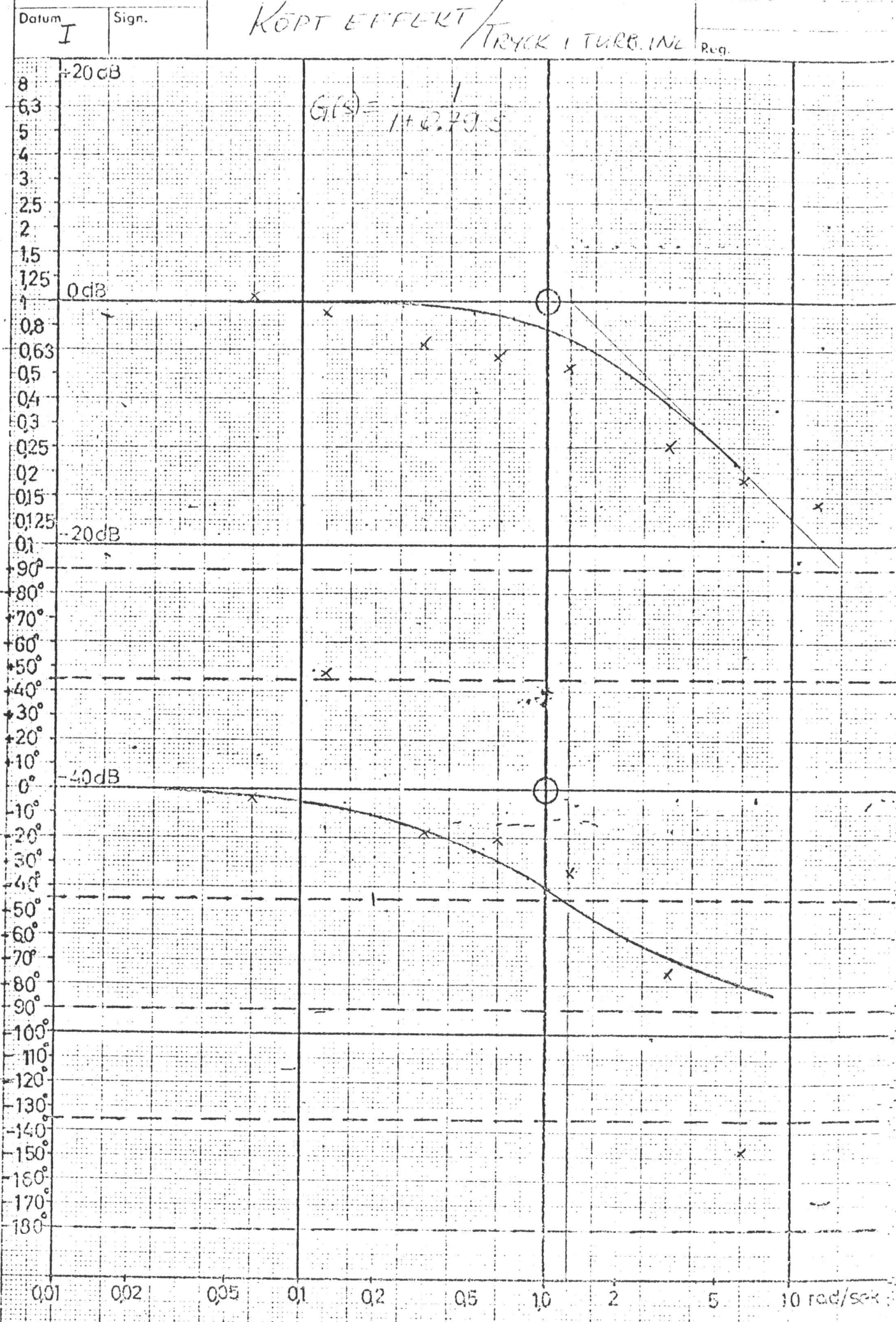
Ljungström

Bodediagram 8

VENTILAGE / REGLER+VIKELSE

30

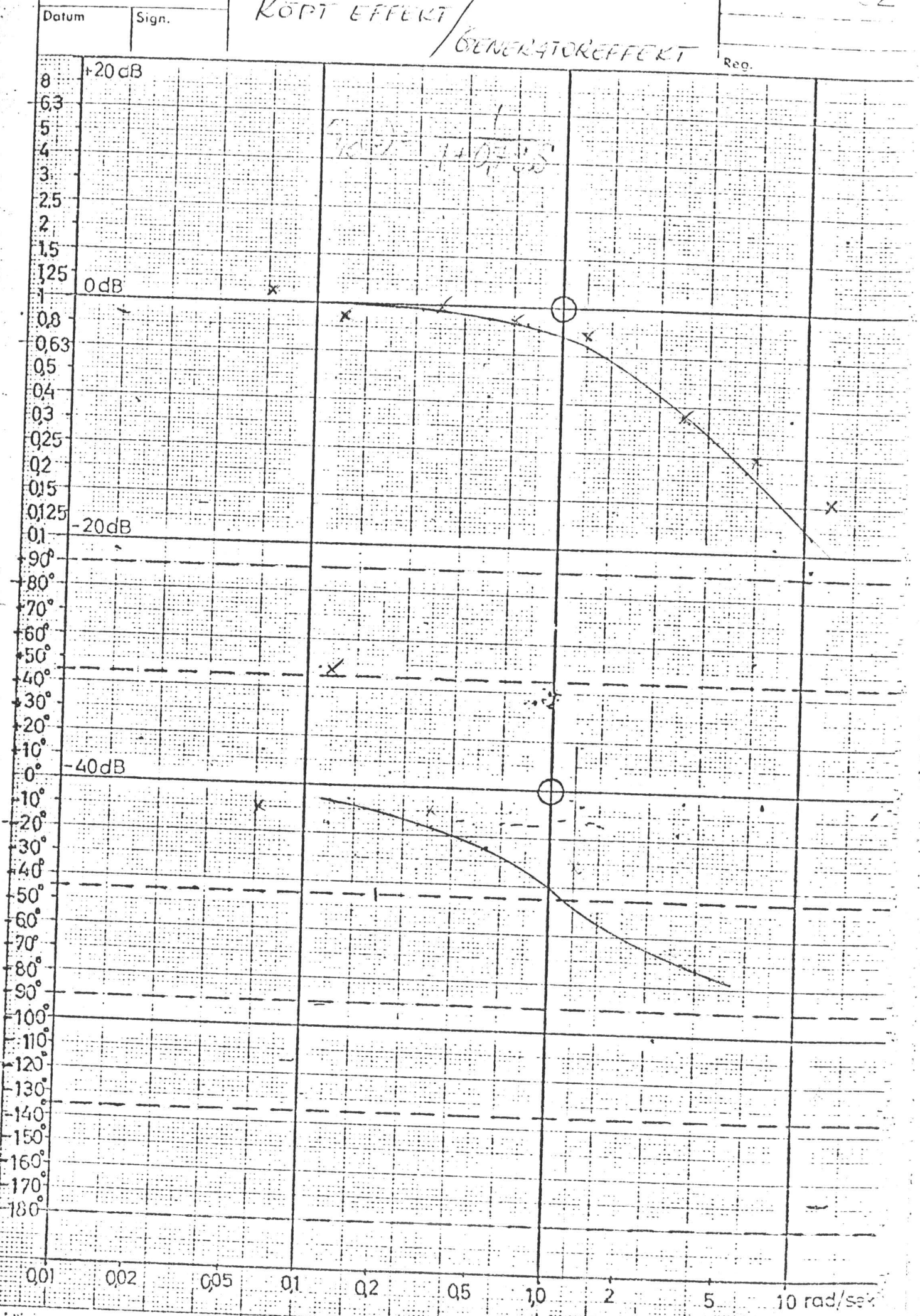




KÖRT-EFFEKT

GENERATOREFFEKT

Reg.



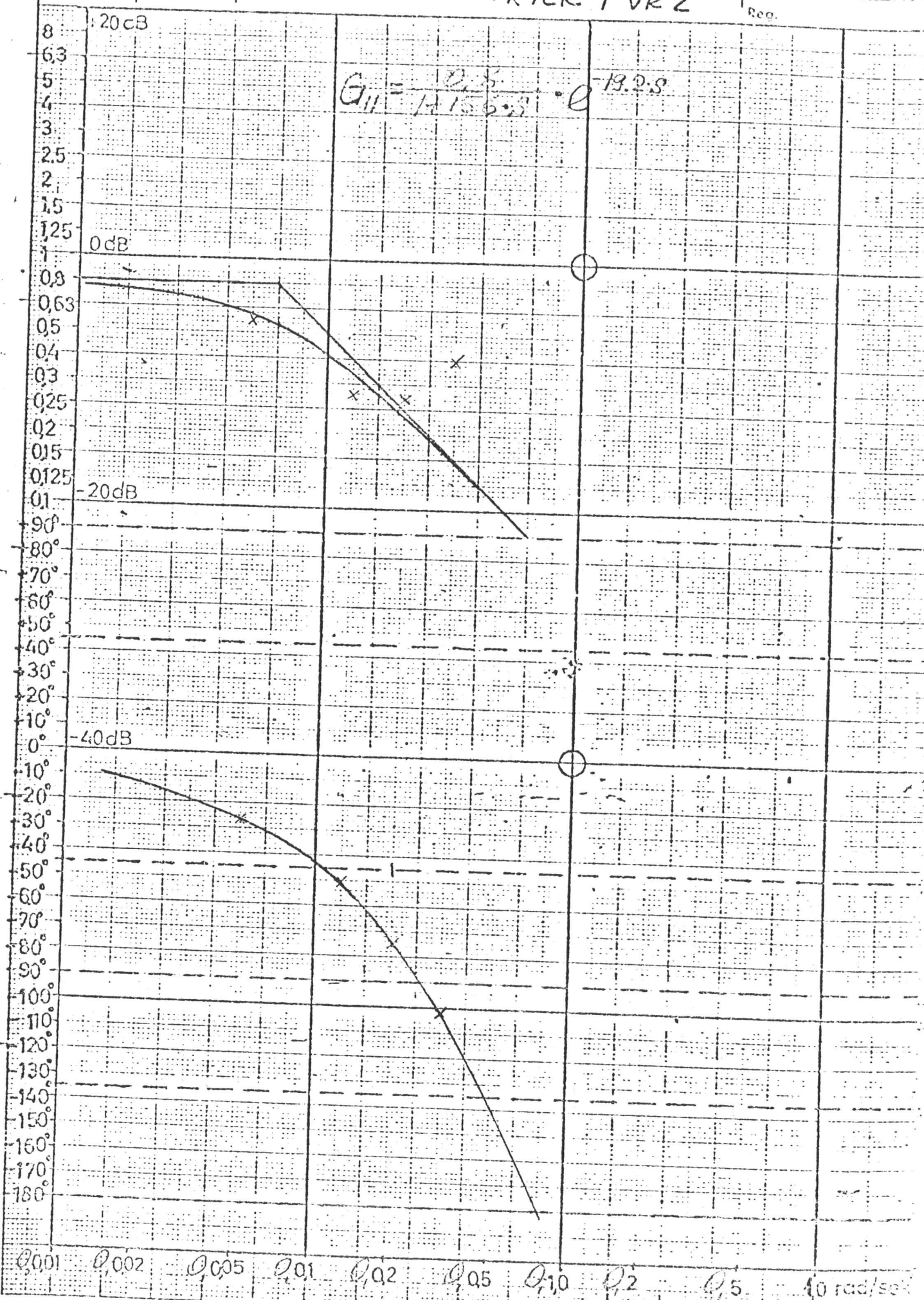
Ljungström

Bodediagram 11
TEMP. FJÄRRV.V./
TRYCK I VK2

33

Datum Sign.

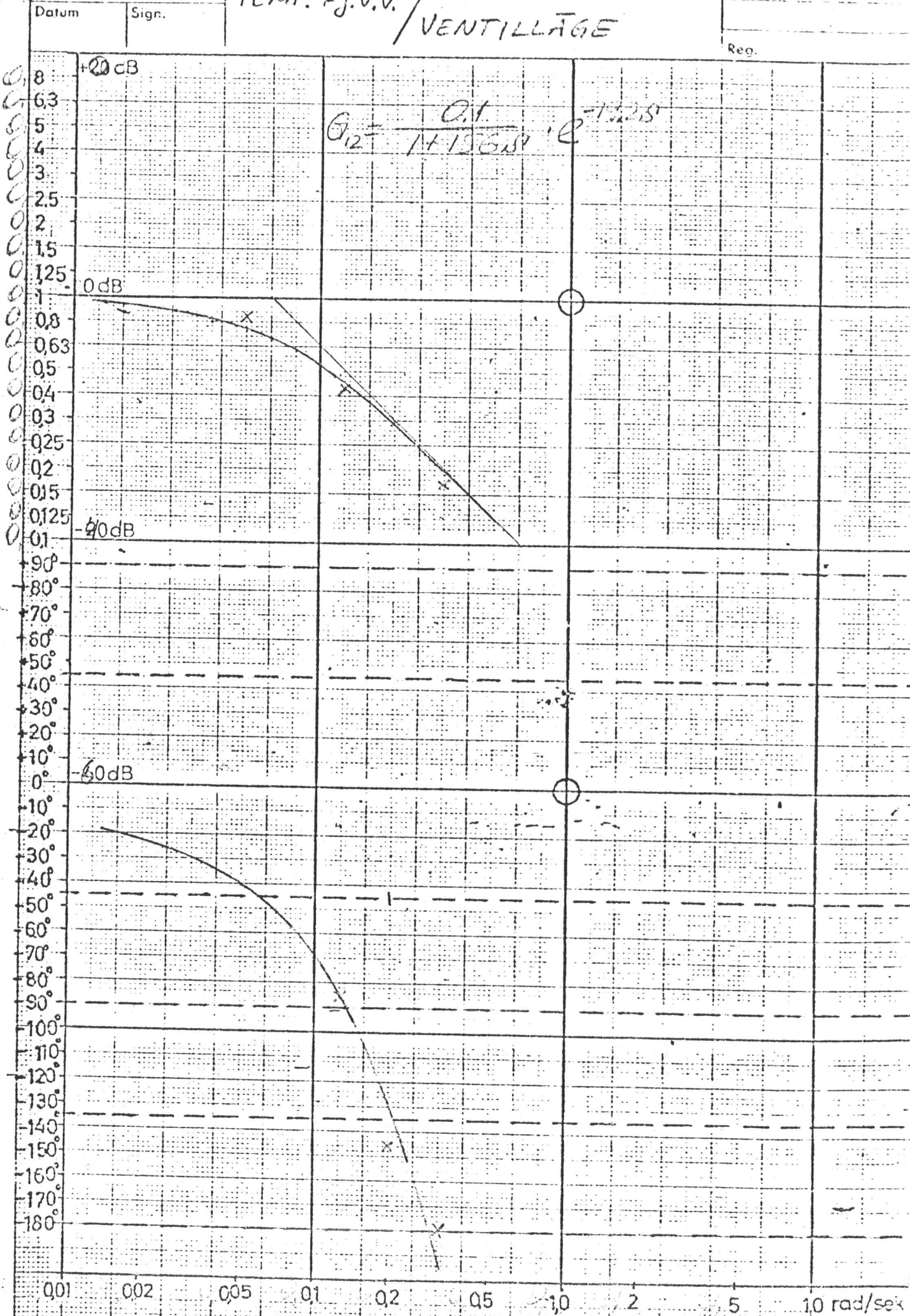
Rea.



Laval
Ljungstrom

Bodediagramm 12
TEMP. F.J.V.U. / VENTILLÄGE

34



Bodediagramm 13

35

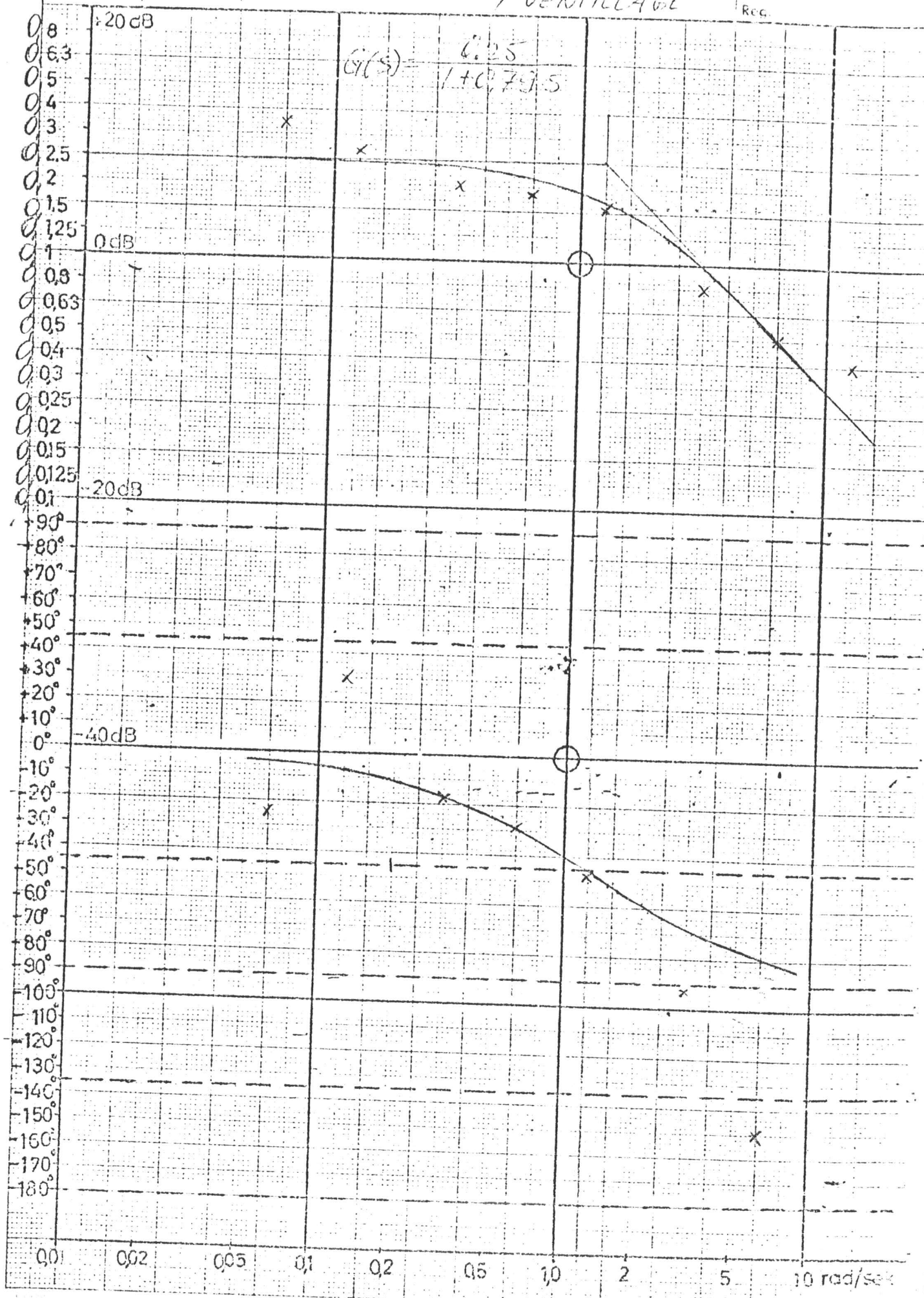
Datum
II

Sign.

KÖPT EFFEKT /

VENTILAGE

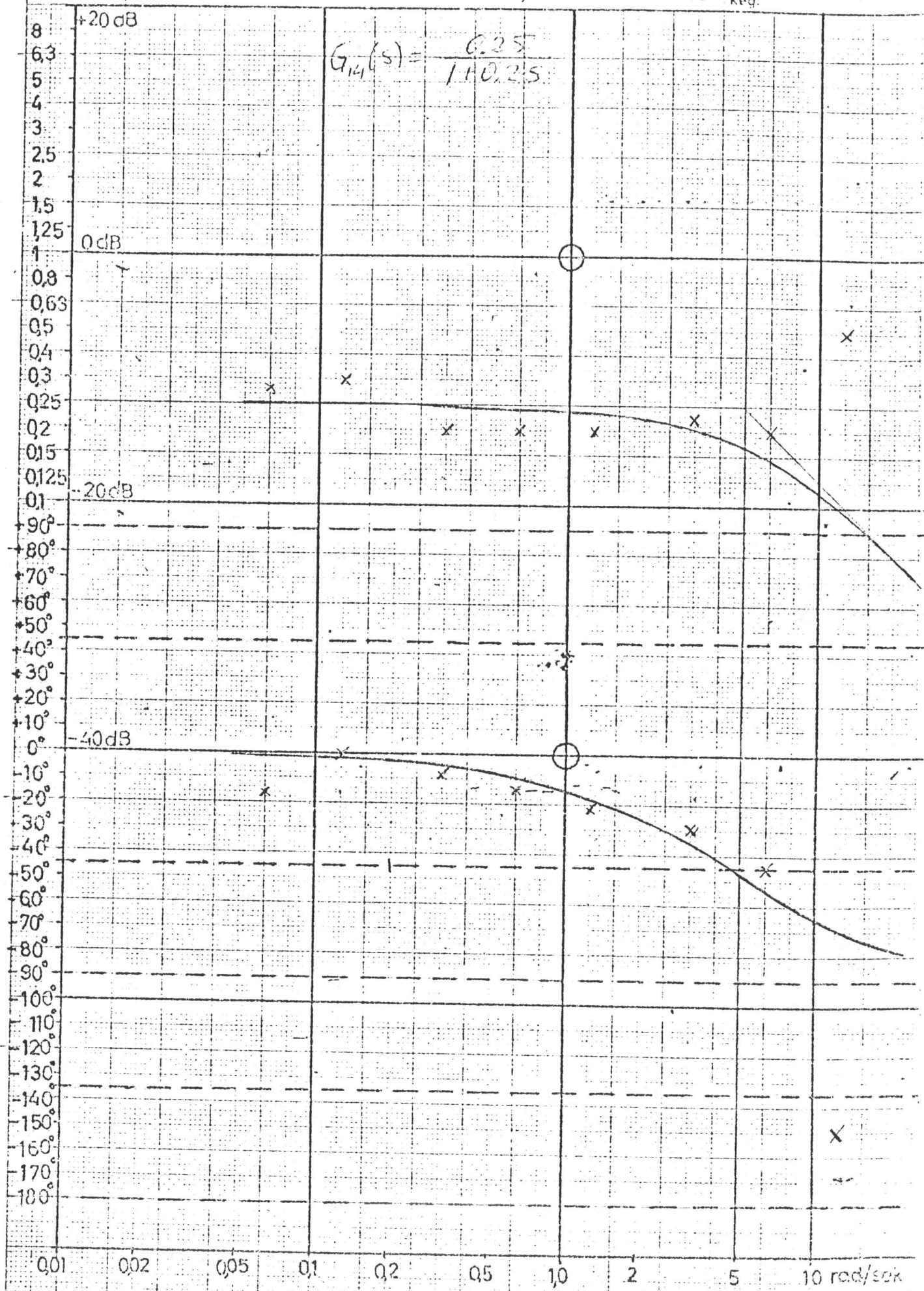
Reg.



GENERATOREFFEKT / VENTILLAGER

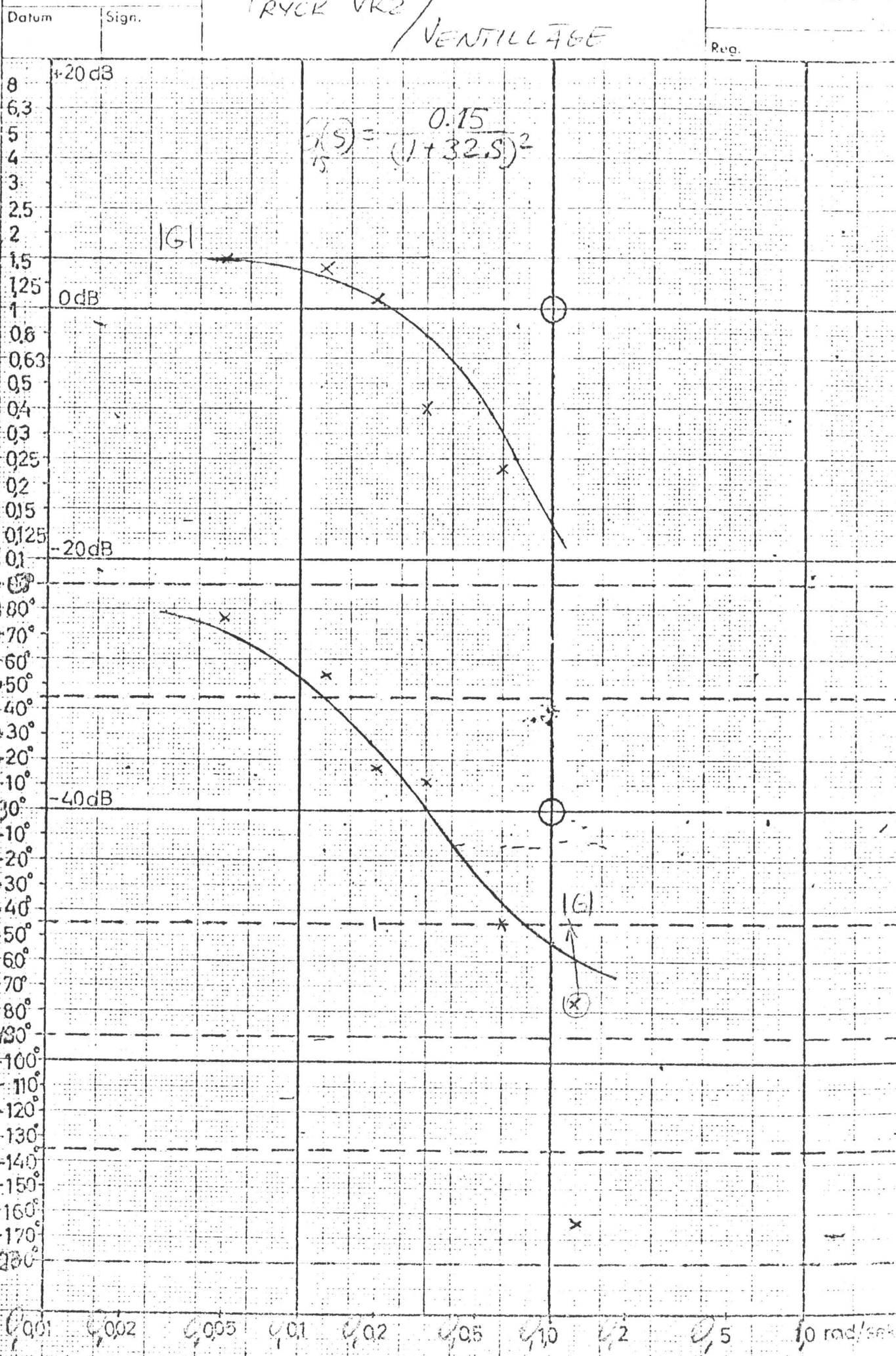
Reg.

Datum I Sign.



TRYCK VK2 /
VENTILLAGG

Reg.



KOMMENTAR TILL BODEDIAGRAM:

Bodediagram 1 Mycket bra överensstämelse med typkurvan för amplitudkurvan; ganska stor spridning för argumentkurvan, som kan vara orsakad av pannans egen reglering.

Bodediagram 2 Amplitud och faskurvan stämmer bra överens med typkurvorna. Dessutom så har vi jämfört ovanstående överföringsfunktion med den som vi fick fram ur stegevarsanalysen och fick bra överensstämelse mellan dessa.

Bodediagram 3 Spridningen av punkterna för små frekvenser är stor. Vi har förmodligen fått in störningar i mätutrustningen för dessa frekvenser. För de högre frekvenserna är det något mindre spridning och faskurvan stämmer bra överens med typkurvan. Brytfrekvensen är rimlig för en sådan generator.

Bodediagram 4 Se startsonden.

Bodediagram 5 Spridningen av beloppspunkterna är stor. Faskurvan följer typkurvan ganska bra. Vid mätningarna hade vi problem med tryckgivarna och det kan vara orsaken till den stora spridningen. Vid jämförelse ned överföringsfunktionerna som vi tog fram ur stegevarsanalysen fick vi bra överensstämelse. Den fysikaliska modellen för turbinen tyder också på att det är en rimlig överföringsfunktion.

Bodediagram 6 Bra överensstämelse med typkurvan, särskilt för amplitudkurvan.

Bodediagram 7 Amplitudkurvan följer helt typkurvan. En punkt för amplitudkurvan är helt felaktig. Överföringsfunktionen stämmer bra överens med den vi fick fram ur stegsvarsanalysen. (Det är frågan om mycket snabba förlopp och det visar att mätutrustningen hänger med bra.)

Bodediagram 8 Spridning av punkterna är stor för lägre frekvenser och mindre ~~brytfrekvensen~~^{över}, särskilt för amplitudkurvan.

Bodediagram 9 Spridningen av punkterna är stor. Systemet är känslig även för små yttersta störningar, som vi varit utsatta för. Brytfrekvensen stämmer bra överens med den vi fick ur stegsvarsanalysen.

Bodediagram 10 Det är i princip samma som det föregående.

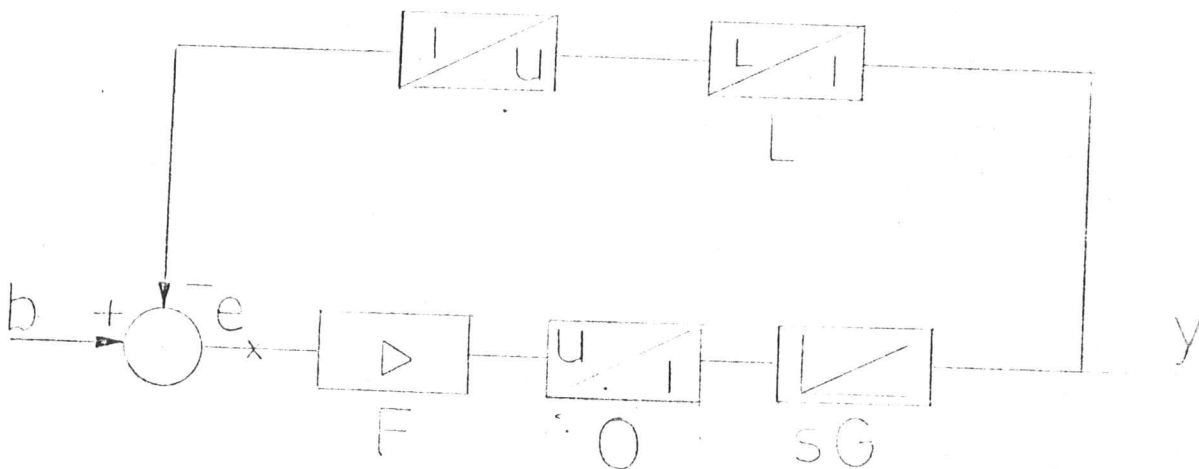
Bodediagram 11 Spridningen av punkterna för beloppskurvan är stor. Faskurvan följer helt typkurvan. Bra överensstämelse med överföringsfunktionen ur stegsvarsanalysen.

Bodediagram 12 Bra överensstämelse med typkurvorna.

Bodediagram 13 Spridningen av faspunkterna för de högre frekvenserna är stor. Det kan ej vara fråga om en transportfördräjning. Denna överföringsfunktion ger bäst överensstämelse med den vi fick ur stegsvarsanalysen.

Bodediagram 14 Spridningen är stor. Den sista mätpunkten är felaktig, då amplitud och faspunkternas lägen är motstridiga. Det är möjligt att generatorns egen reglering stört våra mätningar. Vi har ingen jämförelse med stegsvarsanalysen, men det är en process som vi inte behöver reglera.

Bodediagram 15 Spridningen av fas och amplitudpunkterna är små. Det liknar G5, som fysikaliskt är identiskt med för lägre frekvenser.

Kommentar till regleravvikelse

L = lägestransmitter

b = börvärd

e = mätpunkt

y = reglerventil

G = styrspole

$$y = eFO(sG)$$

$$\text{Överföringsfunktion } G_o = \frac{y}{e} = s(FOG)$$

STARTSONDÖverföringsfunktion

Startsonden mäter temperaturskillnad mellan ångan och turbinhuset. Stegsvaret från sonden uppmätt på turbinen har en tidsfördröjning på 2.4 s, går uppåt från mittläge till ett visst värde och återvänder sakta till mittläge. Kurvan når maximum efter 38 s och svänger in sig tillbaka på cirka 430 s. Tidsfördröjningen stämmer bra med BODE-diagrammets argumentkurvan, som är baserat på sinussvaren.

Av stegsvarets utseendet att döma innehåller överföringsfunktion både integrations- och derivationstermer. Vi antog formen på överföringsfunktionen till:

$$\frac{as}{(I + bs) \times (I + cs)} \text{ EXP } (-2.4 \text{ s})$$

Omskrivning till standartformen ger:

$$\frac{a/bc \cdot s}{(I/b + s) \times (I/c + s)} \text{ EXP } (-2.4 \text{ s}) = \frac{a/bc \cdot s}{s^2 + \frac{(b+c)}{bc} s + \frac{I}{bc}} \text{ EXP } (-2.4 \text{ s})$$

I SIMMONs differentialform blir det: (SIMMON se appendix I)

$$DX_1 = A_1 \cdot X_1 + X_2 + B \cdot U$$

$$DX_2 = A_2 \cdot X_1$$

$$Y = X_1$$

där $A1 = -\frac{b+c}{bc}$, $A2 = \frac{I}{bc}$, $B = a/bc$, och tidsfördröjning

$\text{EXP}(-2.4 \text{ s})$ simuleras med subrutinen **DELAY**.

Vi simulerade systemet med varierande värden på parametrar a , b och c för att få identifiering med det uppmätta stegstsvaret. Slutgiltigt resultat blev:

$$G4(s) = \frac{2.7s}{(I + 80s)(I + 22s)} \text{ EXP}(-2.4 \text{ s})$$

och koefficienter i differentialekvationerna:

$$A1 = -0.058$$

$$A2 = -0.0057$$

$$B = 0.001539$$

Återkoppling och reglering av startsonden

För att undvika termiska påkänningar på rotorn och sprickor i turbinhuset är det nödvändigt att hålla temperaturdifferensen under en viss nivå. Regulatorns uppgift är att reglera ventilläget både vid start av turbinen och kontinuerlig drift så att temperaturdifferensen ej överstiger ett visst värde. En alltför snabb reglering är ej önskvärd pga ångpannans tröghet.

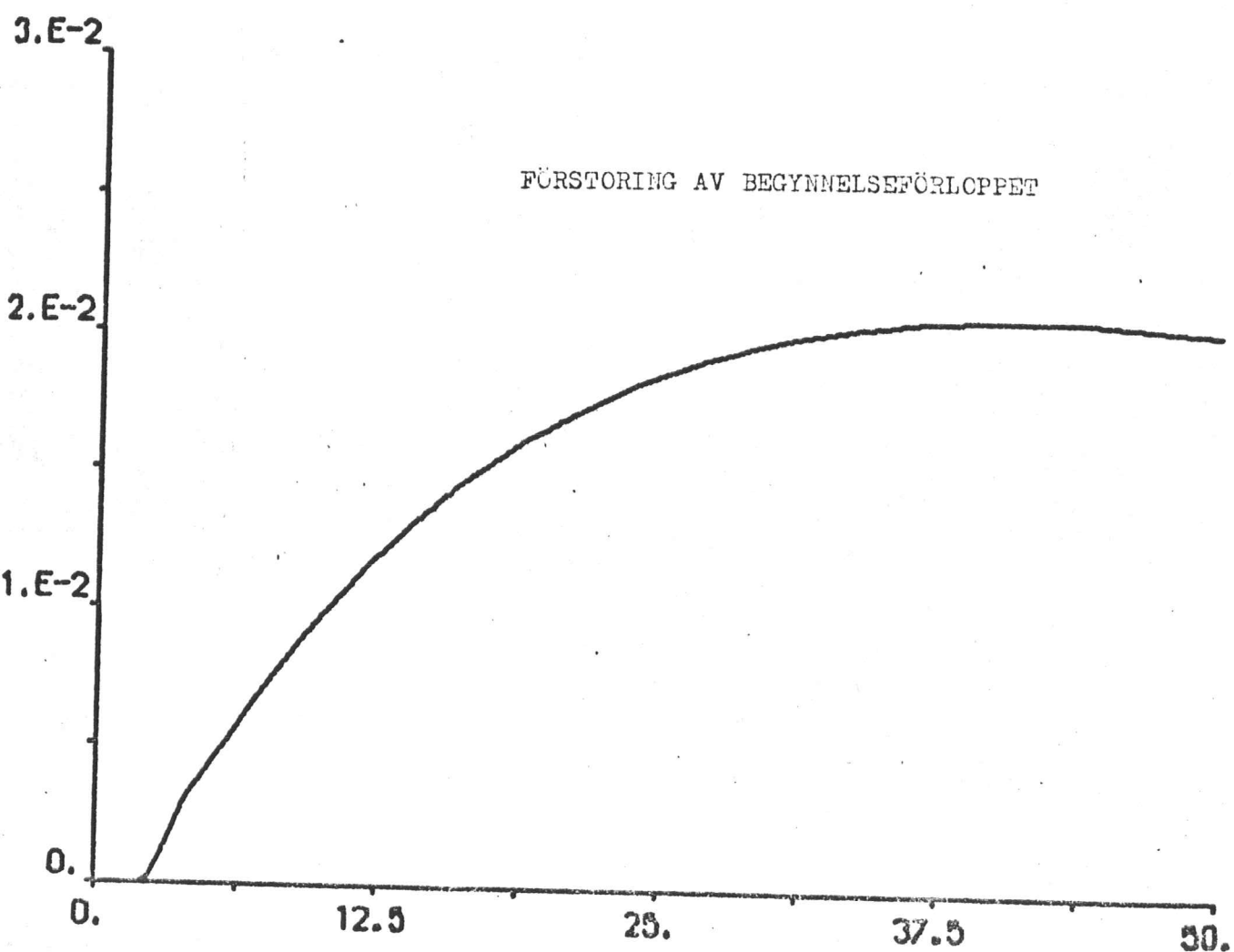
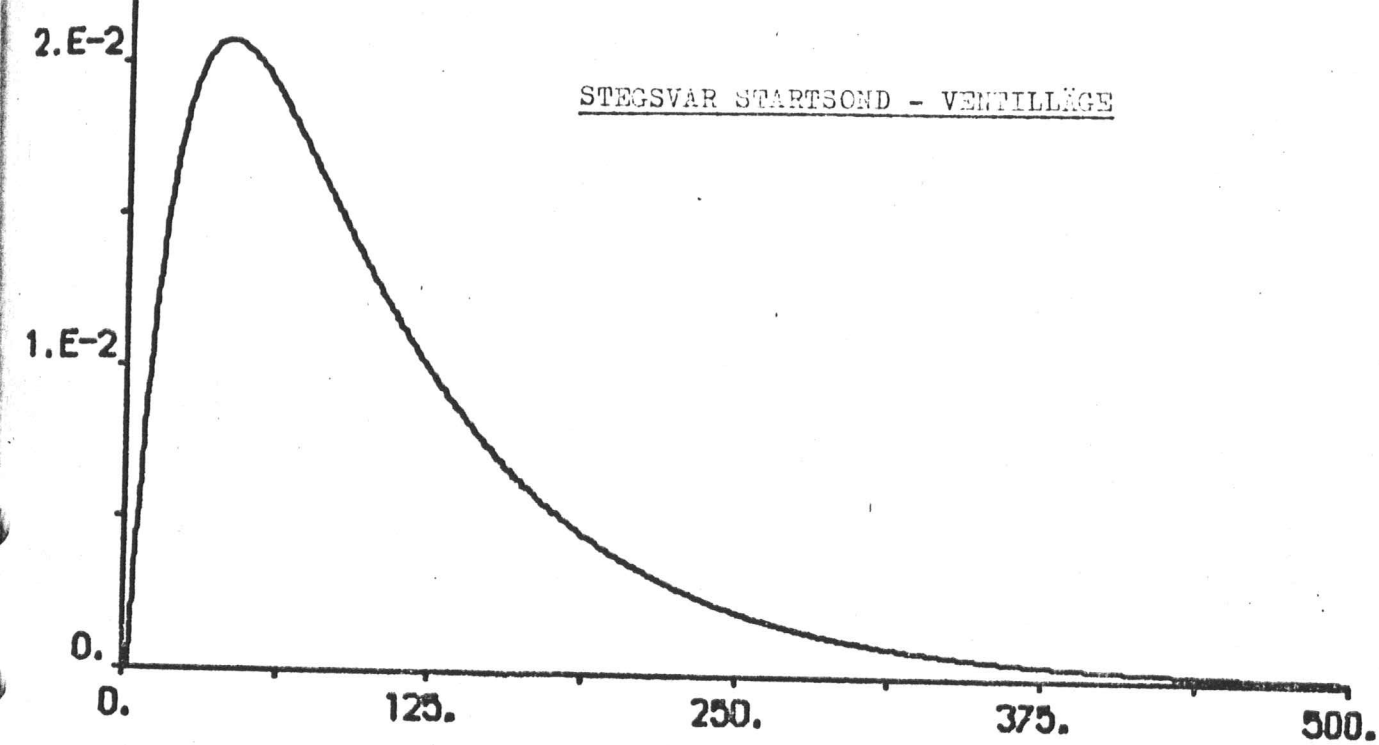


FIG. 11

40

SKRIVARHASTIGHET 25 mm/min

35 mm

9.25

4.9 min insj.

Fig. 12

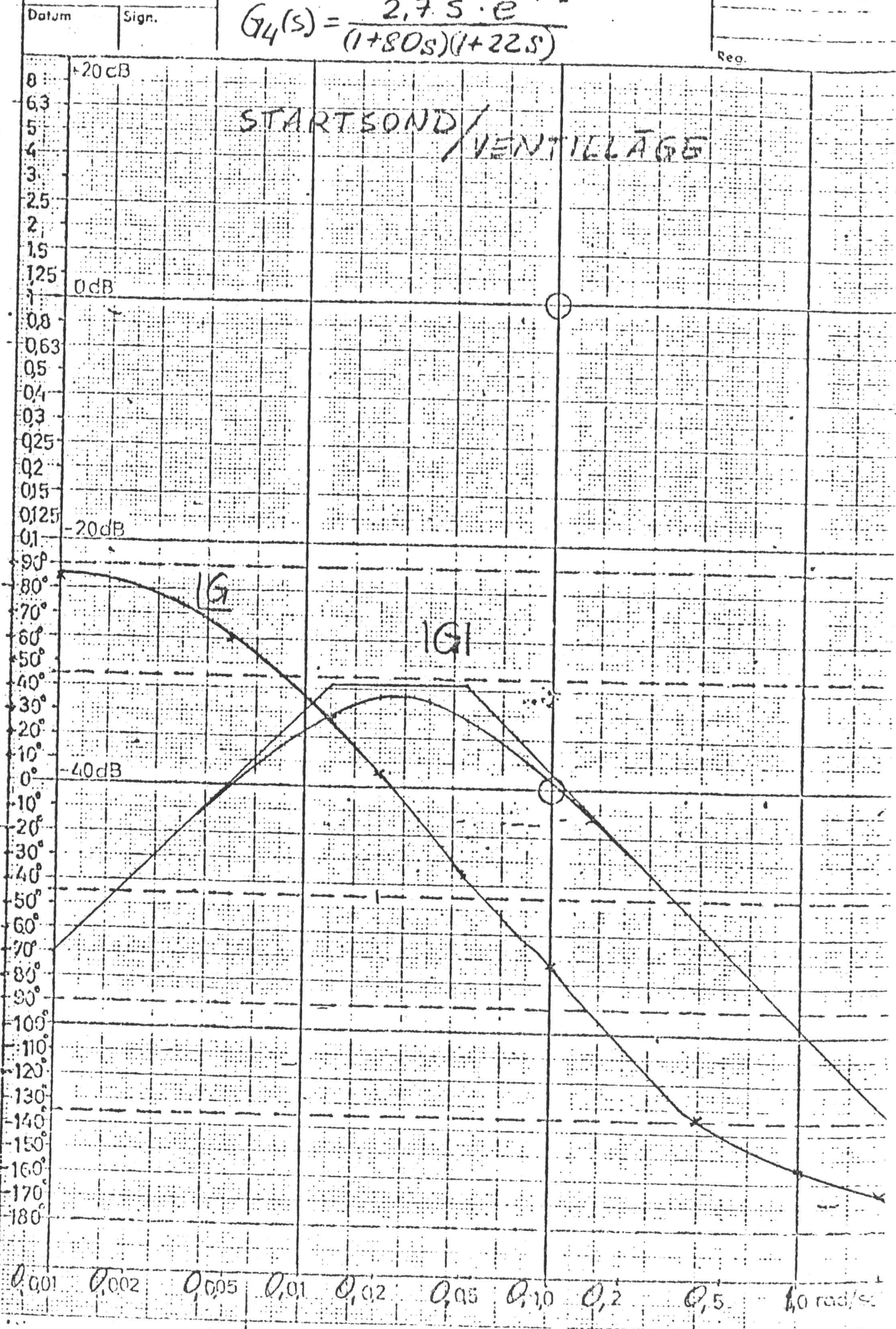
STARTSOND

38\$.

depidens 2.45

7.1 min insj. trd

$$G_4(s) = \frac{2,7 \cdot s \cdot e^{-2,41s}}{(1+80s)(1+22s)}$$

Re_ø

DYNAMISK MODELL

4 olika modeller har vi tagit fram för närmare undersökning.

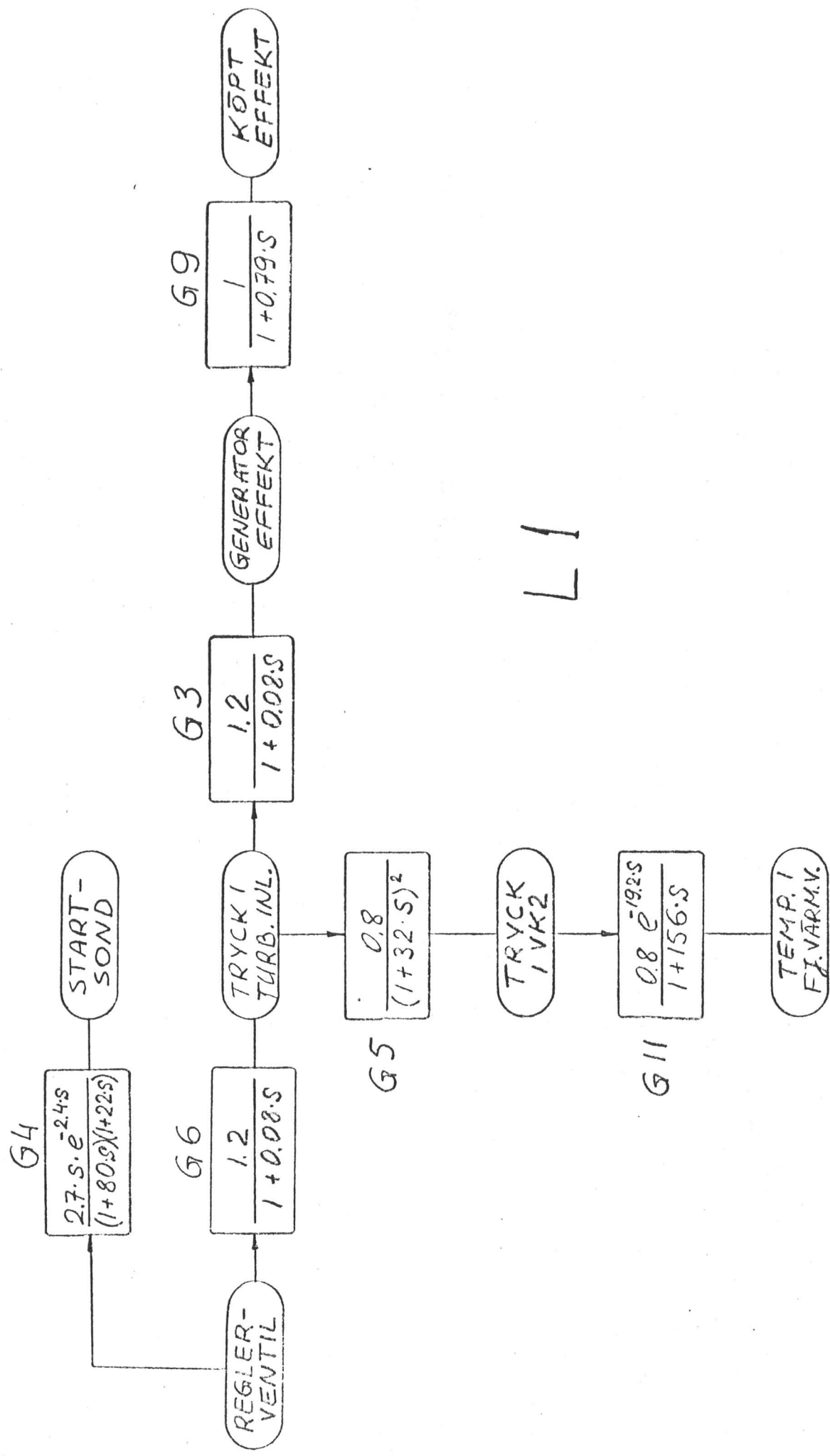
L2-modellen är den utförligaste, men vid regulatorframtagning har vi använt L4. Det är i och för sig ingen förenkling då vi har tagit fram överföringsfunktionerna dels direkt från ventilläge och till ventilläge via tryck i turbininlopp. Men vid simulerings av regulatorer på modellen har vi på det sättet besparat en snabb länk som tar lång tid att integrera tillsammans med de långsamma.

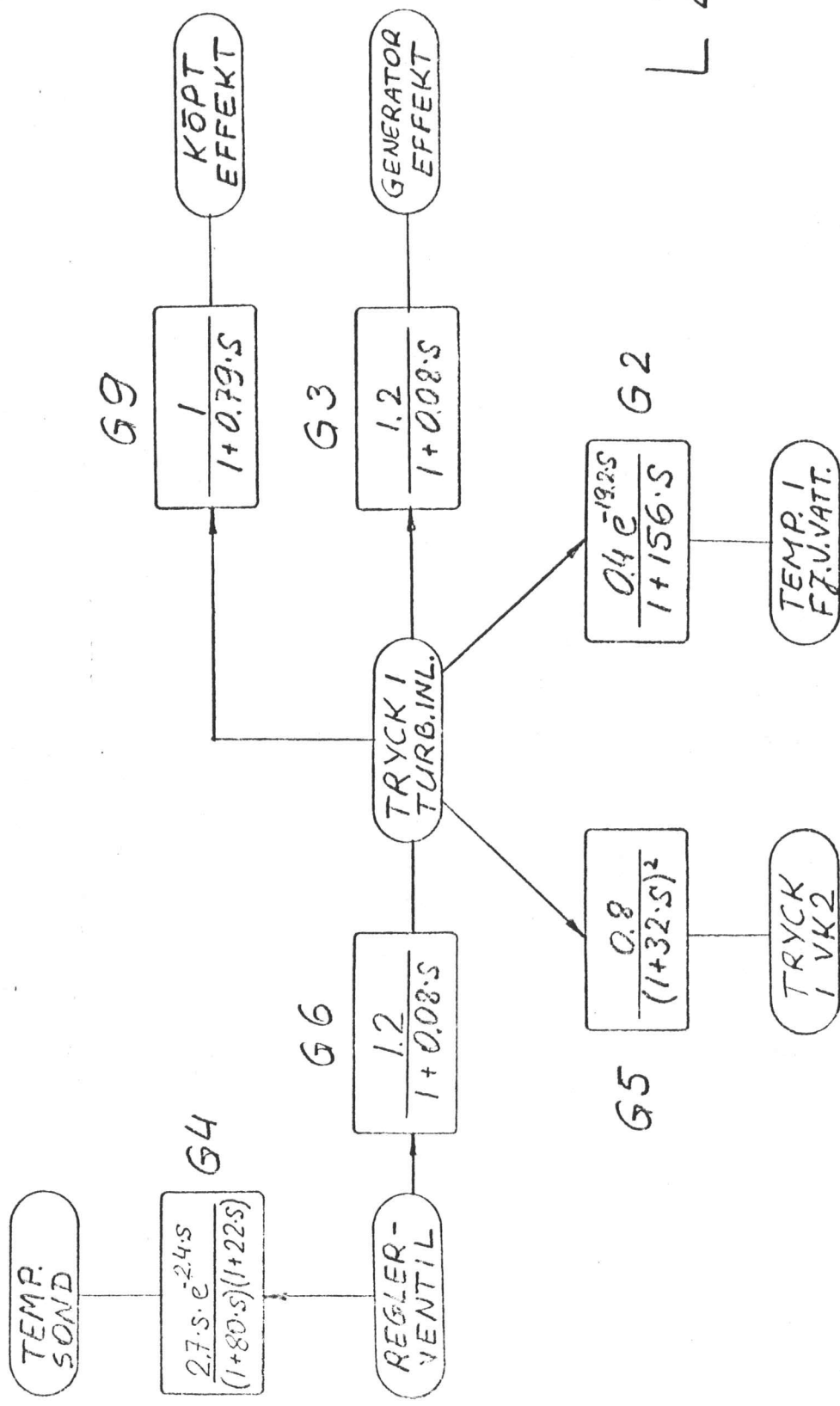
I modell L3 har vi G14 i serie med G9, men då generatorn har egen reglering har vi valt att slå ihop de ovanstående till G13, och reglera endast den.

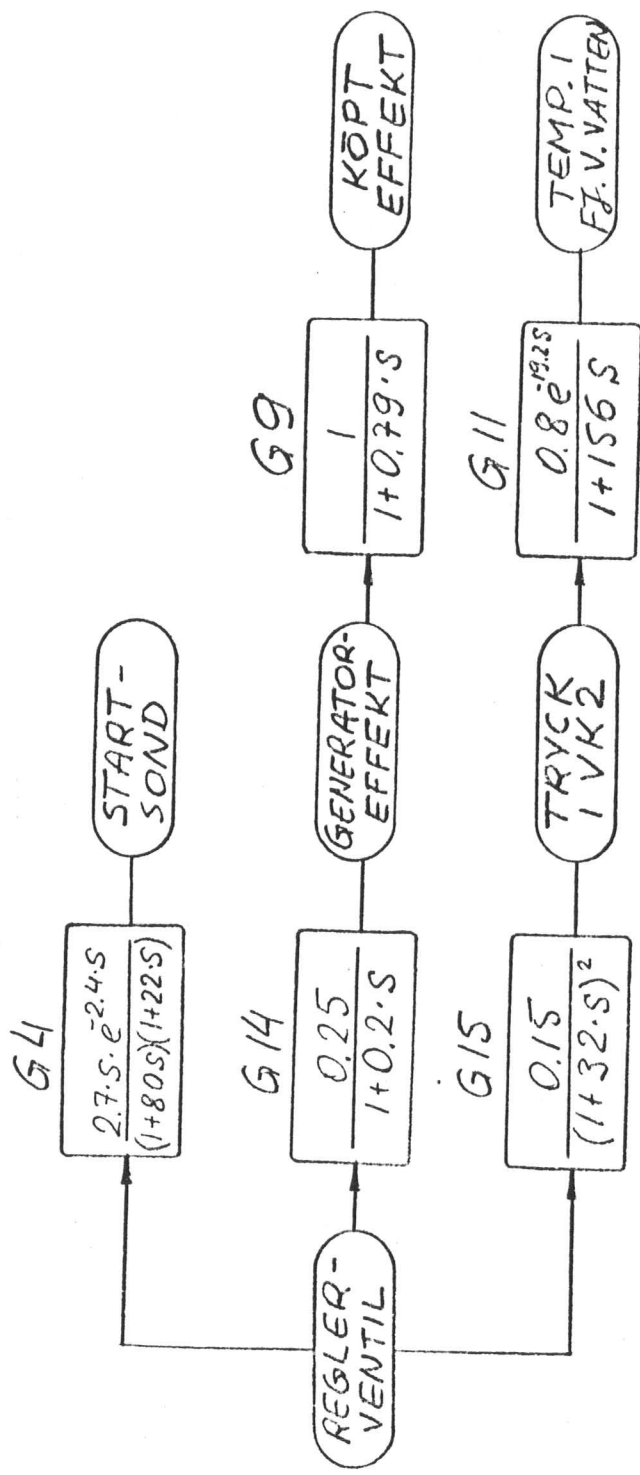
I L1 har vi ett förslag på en reglerform, där man kan variera kylvattenflödet till värmekondensorn. Den är endast lämplig då fjärrvärmevattens temperatur ändras. Detta med hänsyn till den långsamma och kostsamma reglering av pumparna.

Vi har valt L4, ty där har vi separata reglerformer för varje process.

Dessutom så är alla utsignaler från de olika processerna mätbara. Det här blockschemat möjliggör återkoppling och reglering på ett enkelt sätt.

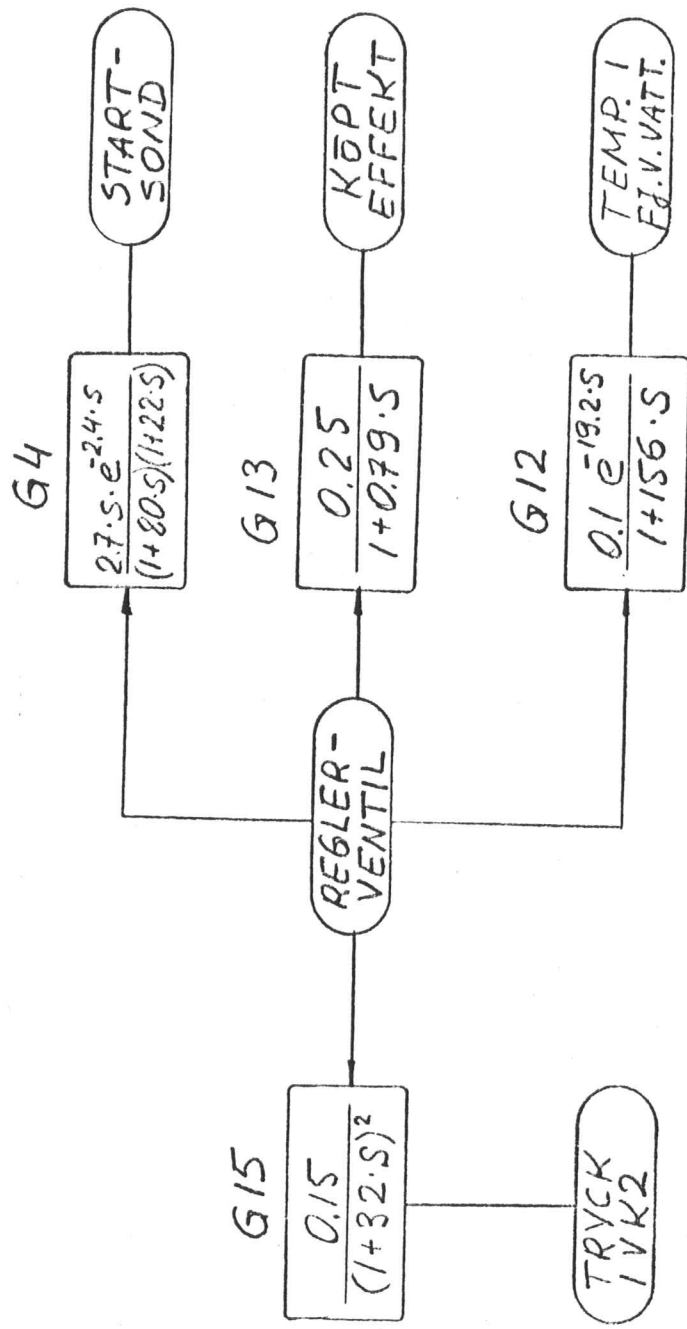






L3

E1G15



L 4

E 1 G 1 6

KOMENTAR TILL DE OLIKA MODELLERNA

L1 Denna dynamiska modell motsvarar bäst det fysikaliska förloppet av anläggningen. Det snabba tryckförloppet G5 åtföljs av en temperaturändring, men då det är frågan om stora kylvat-ten volymer så blir det en stor tidskonstant och en transport-fördräjning. En återkoppling och reglering från temperaturen i fjärrvärmevattnet är ej lämplig p.g.a. de stora dynamikskillna-der mellan processerna. En reglering endast av trycket kompen-serad med en reglering av temperaturen är ej lämplig, då det är i praktiken svårt att hitta en sådan analog kompenseringsslänk. Dessutom är p. s. a. grädigkeiten i kondensorn lämpligast att återkoppla de båda mätbara storheterna och reglera dem separat. De övriga länkarna i L1 är enkla att reglera och mätning av de reglerade storheter medför inga problem.

L2 Alla ingående storheter kan enkelt regleras med den här modellen. Eftersom generatorn har en egen reglering, så kan man försumma den länken. G6 kan också försummas för temperatur och tryckregleringarna, då detta är mycket snabbare än de övriga. Dessutom så har vi tagit fram överföringsfunktionerna även di-rekt från reglerventilen till startsonden, trycket i kondensorn, temperaturen av fjärrvärmevattnet och köpta effekten, varför den länken är överflödig.

L3 Denna modell har samma nackdelar som L1 och L2.

L4 Denna modell är enklast att reglera. Varje delsystem kan återkopplas och regleras separat. Det är fyra insignal-utsignal system, med gemensam utsignal, ventillaget. Det är en stor fördel att kunna styra hela processen med varje reglerform separat. Vid t. ex. varmkörning av turbinen är regleringen av startsonden viktigare än regleringen av den köpta effekten. Då är det önskvärt att ge startsonden högre prioritet, vilket är möjligt med den här modellen, genom att t. ex. ändra börsvärdesinställningen.

Simuleringar med den här modellen är enkelt att utföra.

ÅTERKOPPLING OCH REGLERING

De 4 regulatorerna skall styra: den köpta effekten, tryck i värmekondensorn, temperaturen i kylvattnet och temperaturskillnaden mellan turbinhus och ånga, genom att öppna eller stänga ventilen till turbinen.

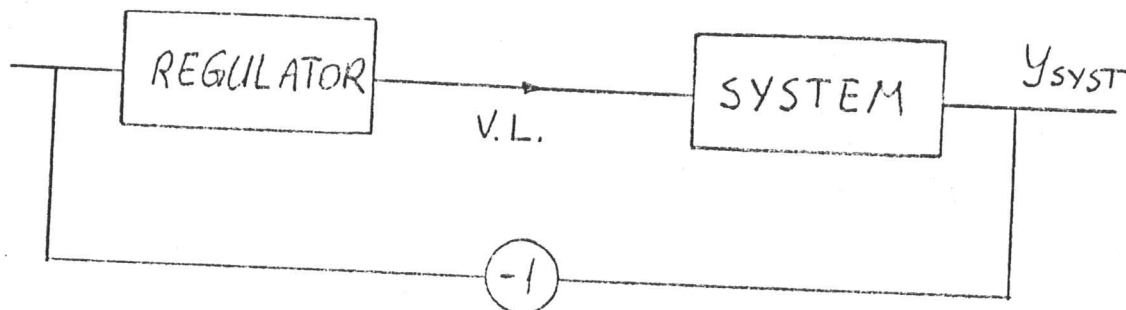
REGULATORSPECIFIKATIONER:

Vid en given stegstörning är det önskvärt att:

- överslängen skall bli minimal
- insvängningstiden skall bli så kort som möjligt
- stationära felet elimineras

Vid framtagning av parametrar till regulatorerna har vi utnyttjat en bildskärmsterminal. Där kunde vi systematiskt följa hur processen ändrades för olika parameterval. Vi har valt relativt långsamma regleringar för att undvika höga ventilhastigheter.

Följande modell använde vi:



De fyra regulatorerna är:

Startsond

$$100 + \frac{6}{s}$$

Temp. Fjärrvärmevatten

$$0.5 + \frac{0.03}{s}$$

Köpt Effekt

$$2 + \frac{3.5}{s}$$

Tryck i VK2

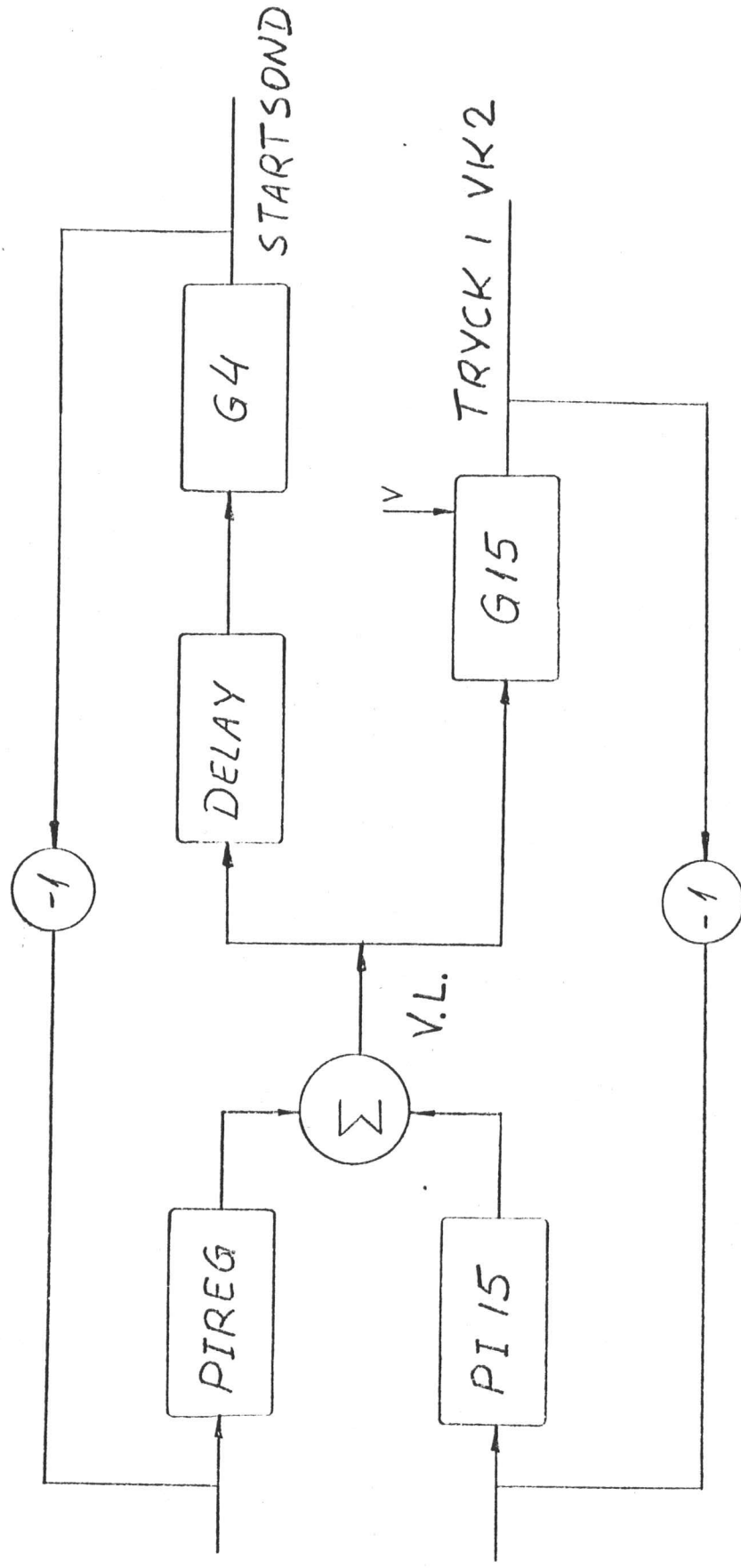
$$6 + \frac{0.16}{s}$$

Diagram över de återkopplade systemen finns på sidorna

57-60.

Vi har undersökt hur en koppling (enl. figur 17) av startsonden och tryck i värmekondensorn fungerar. Varje delsystem har sin regulator. Denna metod är inte lämplig då insvängningstiden ökar. Diagram finns på sidan 61.

Samtliga regulatorer är så anpassade att högsta ventilhastigheten är begränsad och att insvängningstiden blir så kort som möjligt. Vi har använt enkla regulatorer av PI-typ, eftersom de visade sig vara tillräckligt effektiva.



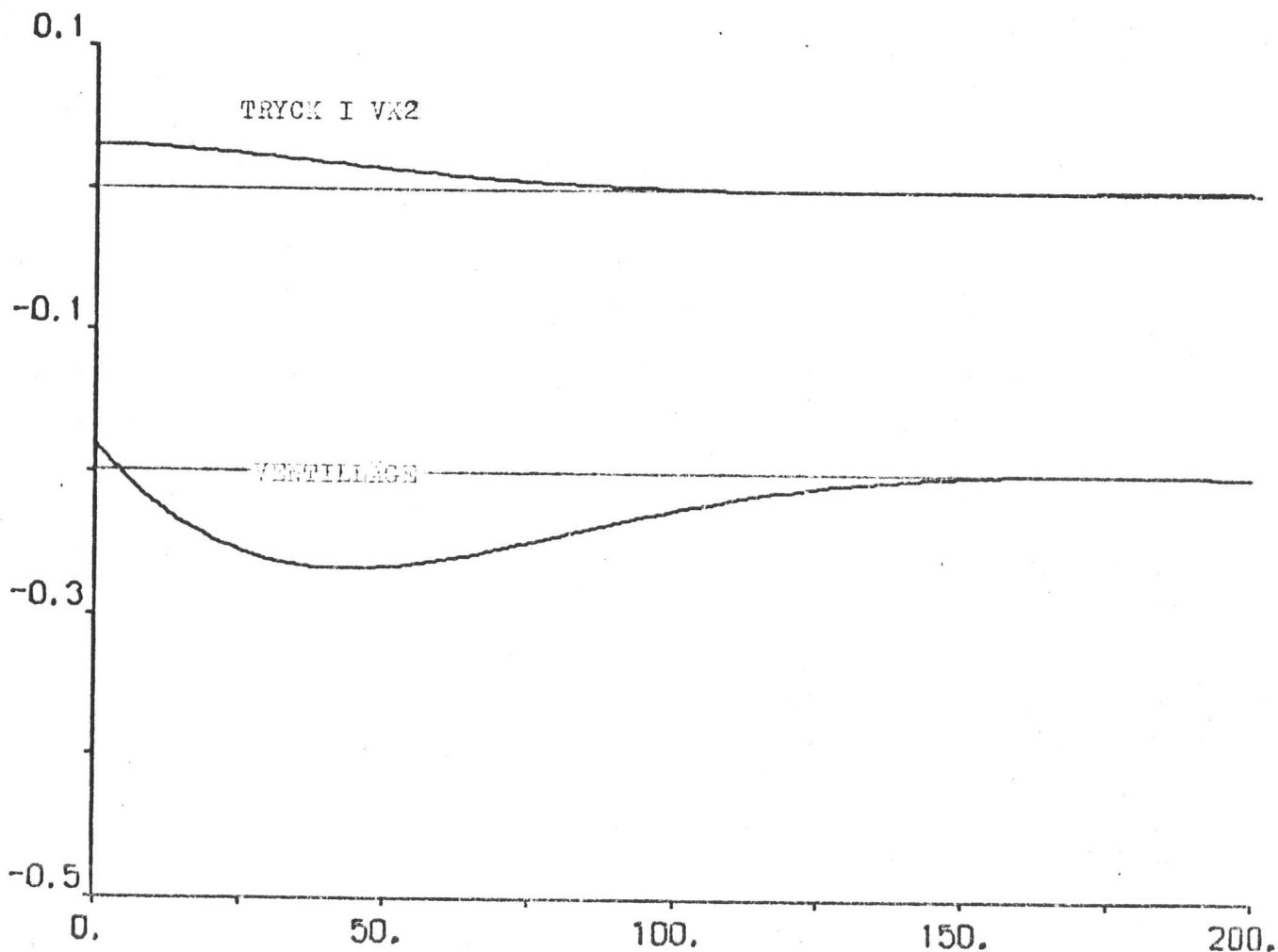
CONNECTING SYSTEM CTU

FIG 17

HCOPY ØTRYCK I VK2 / VL P1-6 P2-0.16

Q : Y G15
Q : U G15

STEG 0.3 = 0.083 bar



HCOPY Ø G12-PIREG-DELAY STEG-0.1 P1:0.5 P2:0.03

A : Y
A : Y
G12
G12

STEG 0.1 = 9°

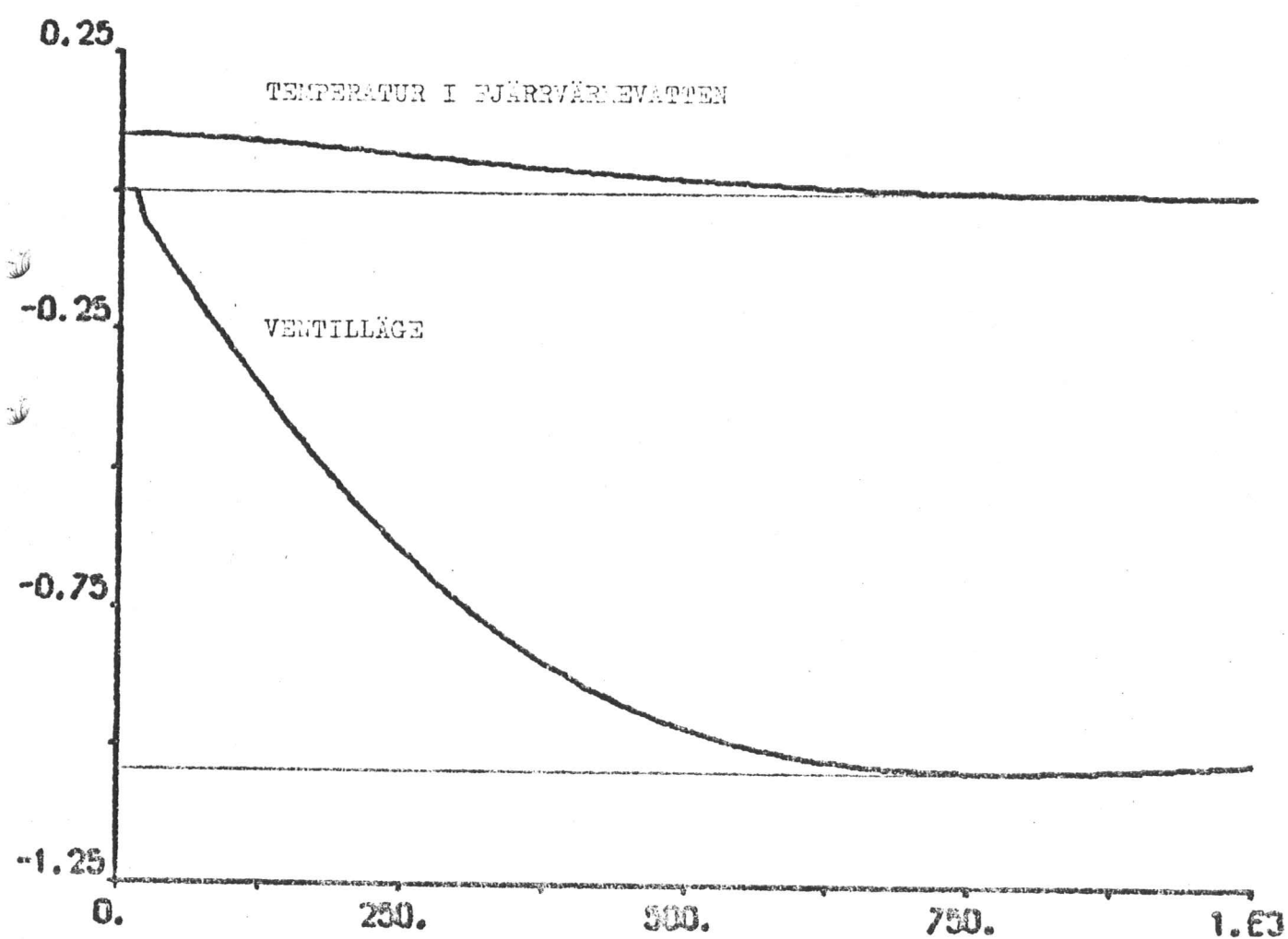


Fig 19

HCOPY 0G13-PIREG-C13 P1-2 P2-3.5

C : U G13
C : Y G13

STEP = 1

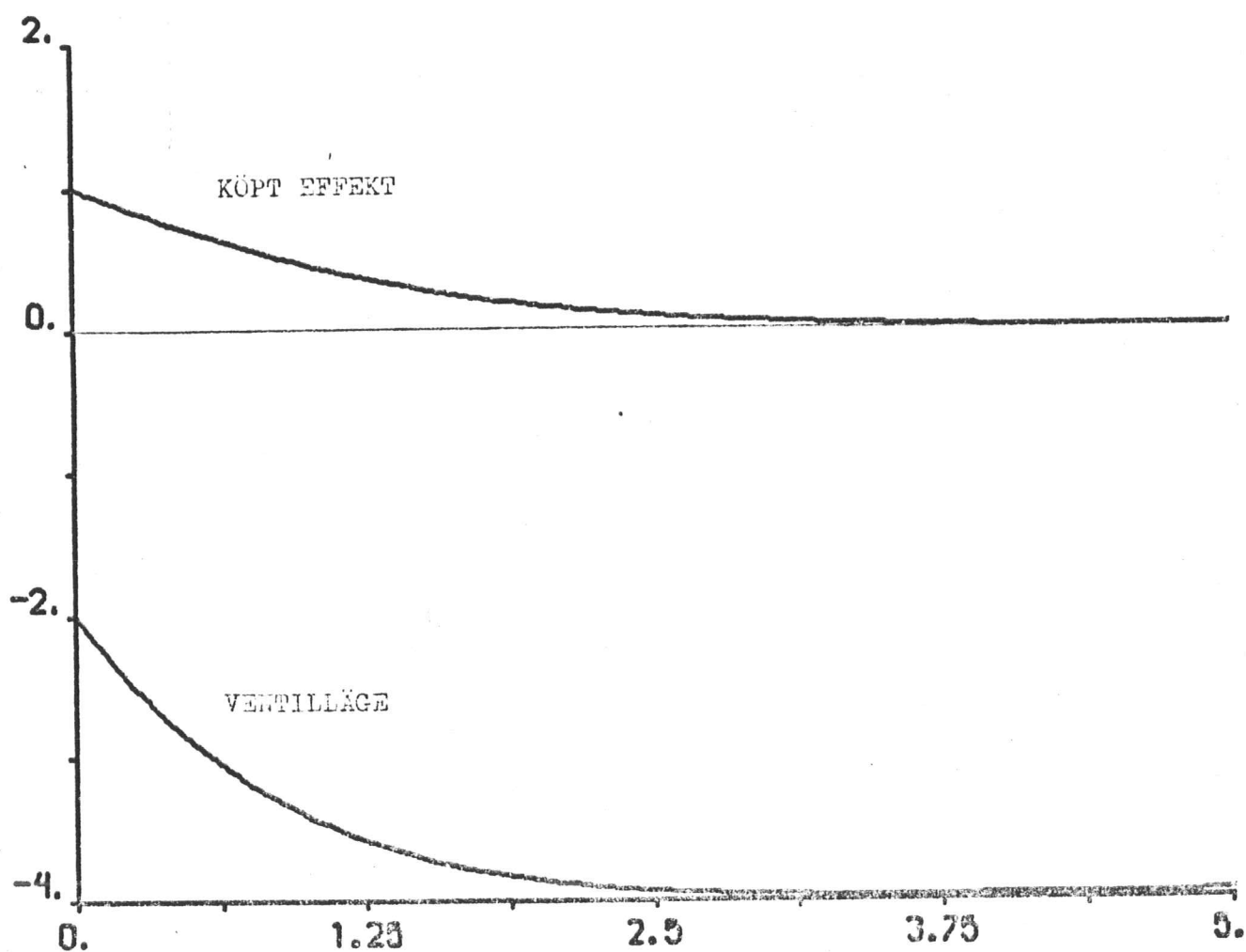


FIG 20

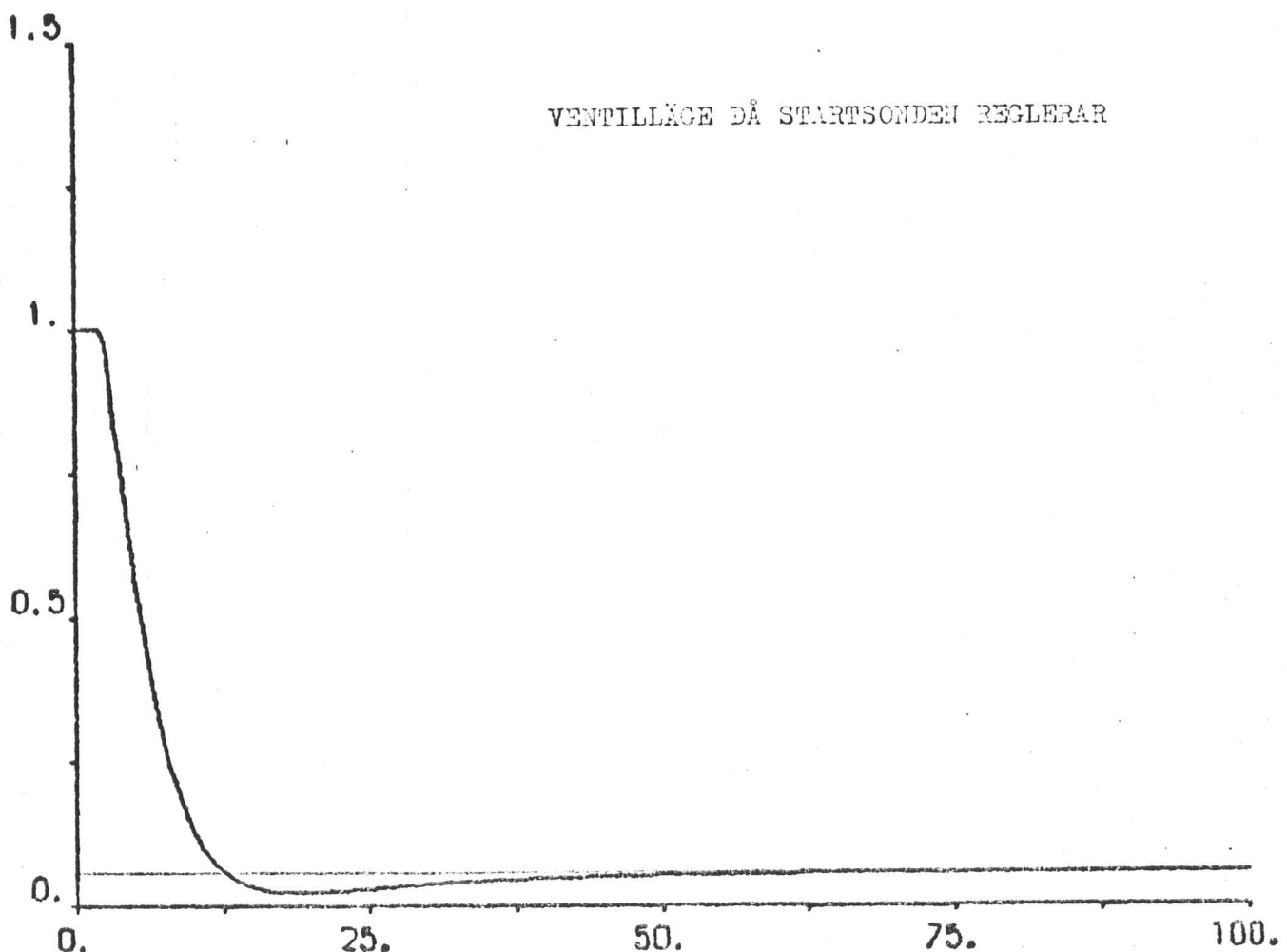
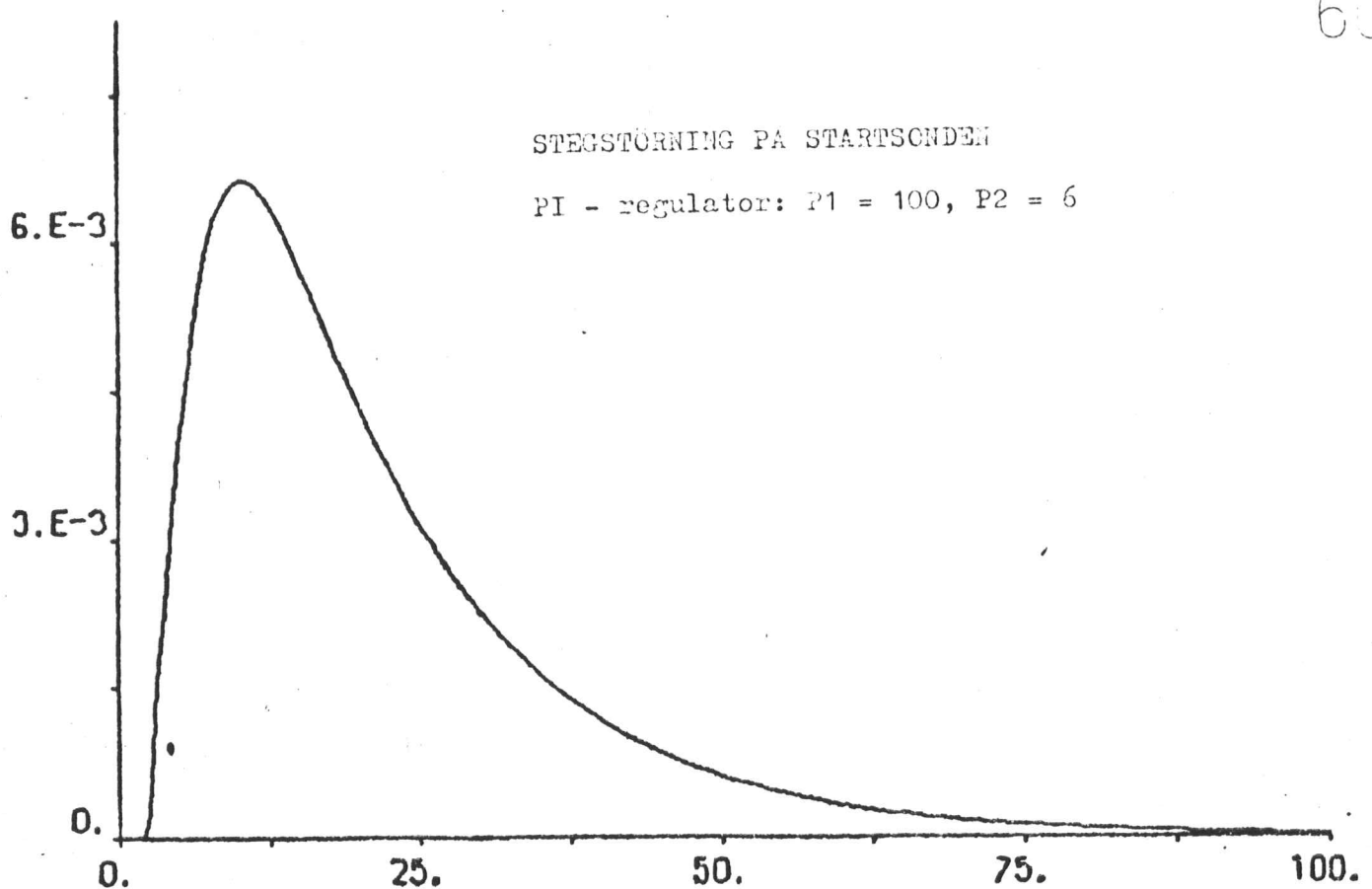


FIG 21

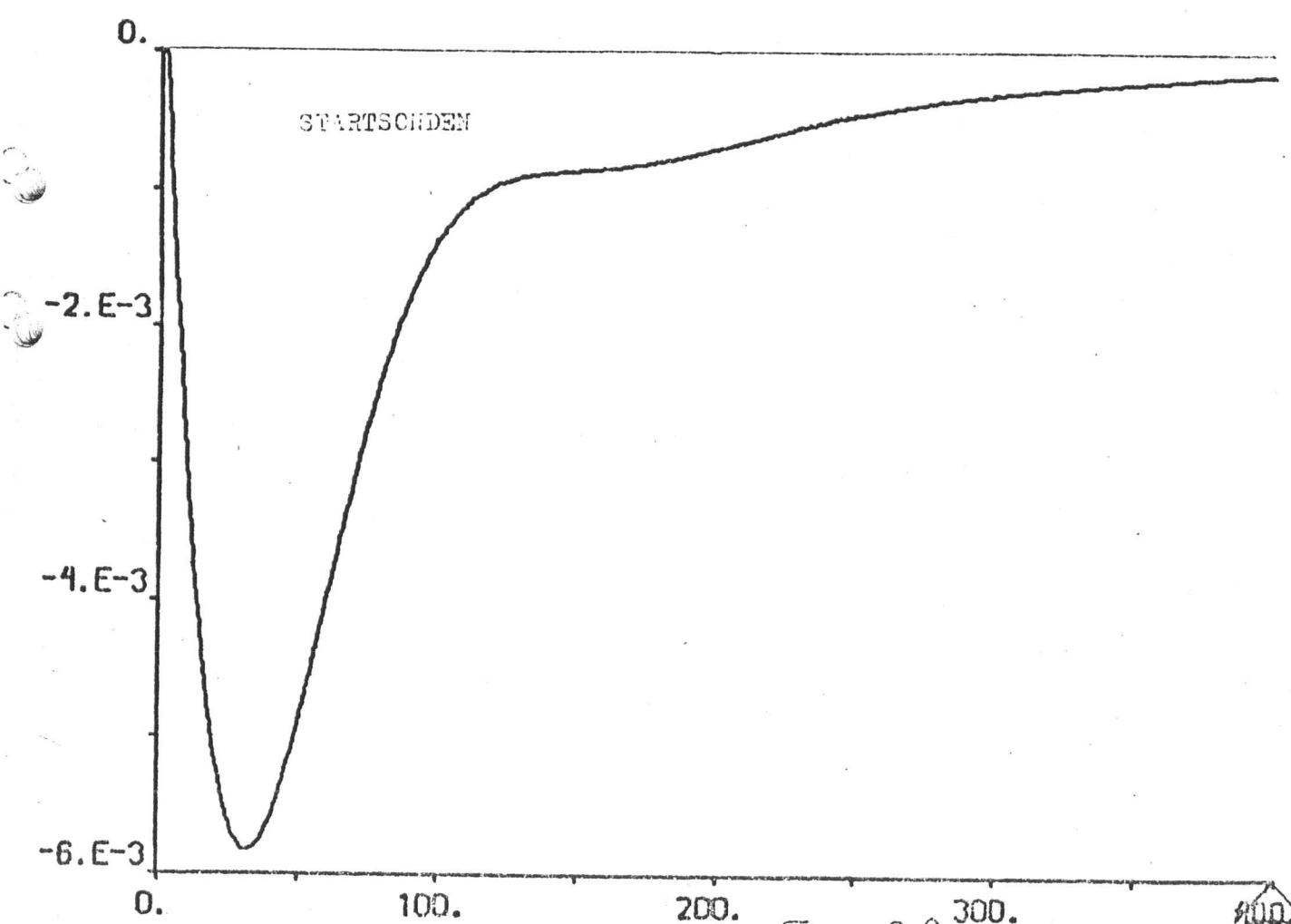
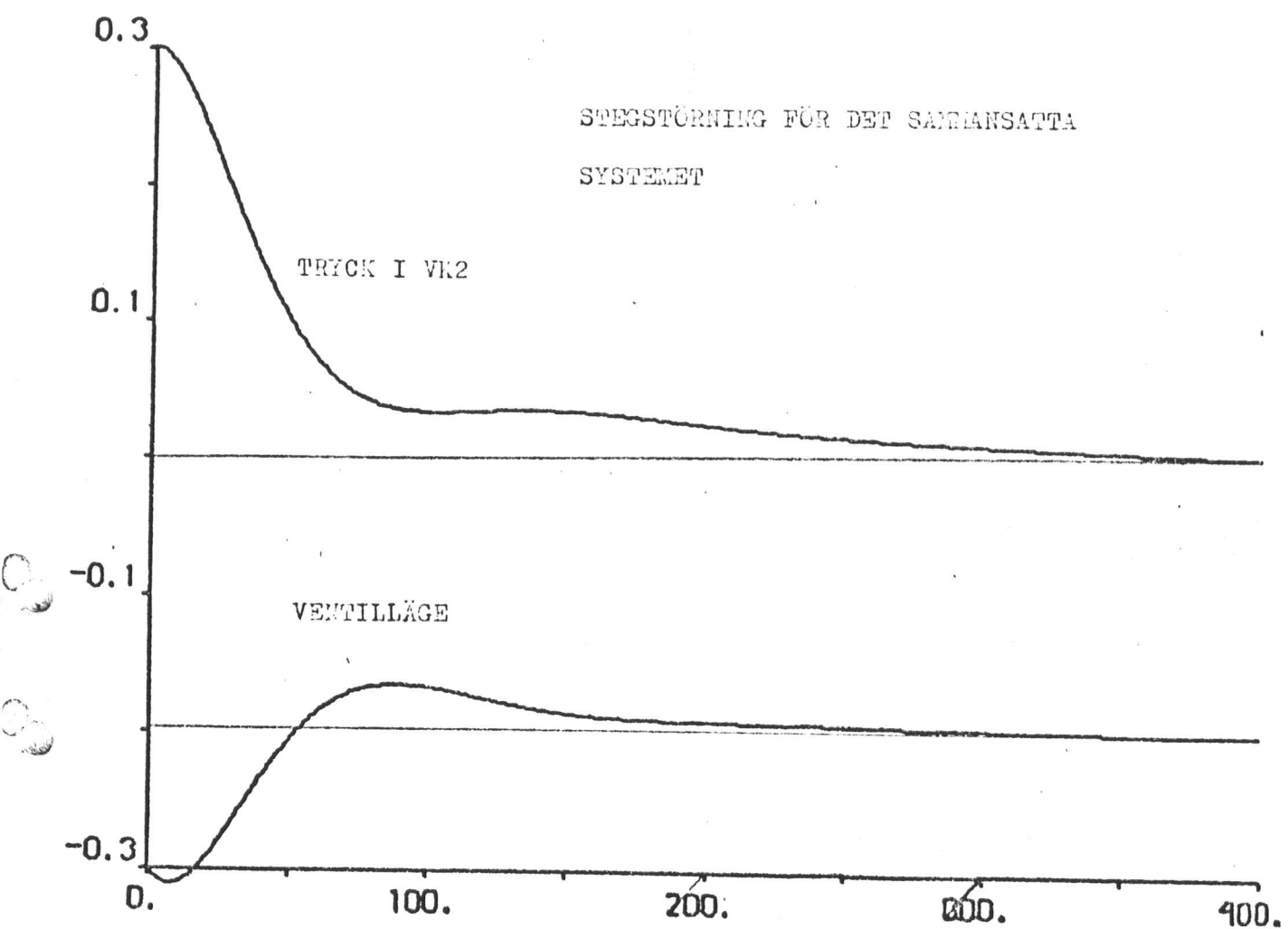


FIG 22

ÅNGANS VÄG GENOM TURBIMEN

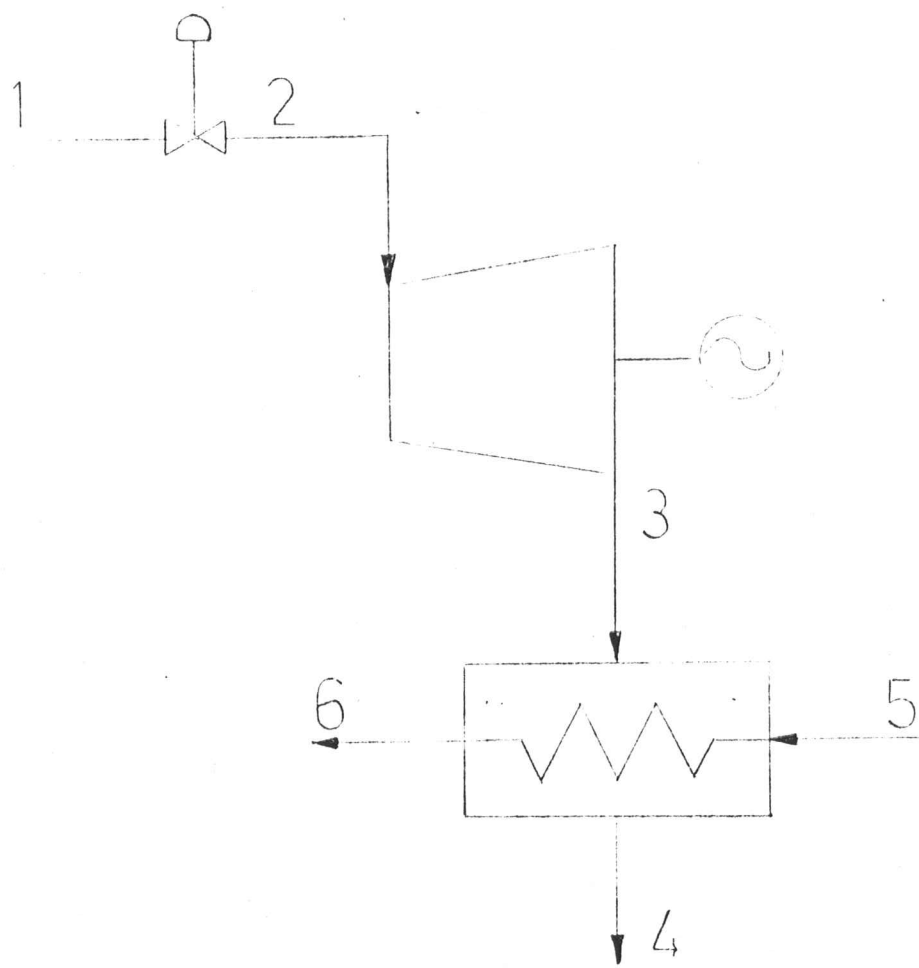
Anledningen till att vi har tagit fram en fysikalisk modell för ångan är följande:

- 1) Vid mätningarna av trycket i värmekondensorn för olika kylvattenflöden fick vi stora ändringar av överföringsfunktionerna. Vi försökte att på teoretisk väg förklara dessa.
- 2) Med hjälp av den fysikaliska modellen ta fram preliminära regulatorer för nya anläggningar, genom att simulera med de nya parametrarna som anläggningarna skall utrustas med.

Med hjälp av den fysikaliska modellen kunde vi konstatera bra överensstämmelse mellan de teoretiska tryckförlloppen och de verkliga. Vi försökte efterlikna våra uppmätningar genom att göra stegstörningar och en sinusformad störning på ventilen. Temperaturändringarna gick inte att få fram, då modellen är för enkel. Till de behöver man en ganska komplicerad programringsrutin som räknar fram entalpierna och temperaturerna i varje steg. Det är en dyrbar procedur. Då temperaturändringarna är långsamma förlopp jämfört med tryckändringarna, så har de ej stor betydelse för reglering vid stationär drift.

Datamaskinsimuleringar visas på sidorna: 72 - 75.

Tryck	P	N/m^2
Temperatur	T	$^{\circ}K$
Volyms	V	m^3
Massflöde	m	kg/s
Densitet	β	kg/m^3
Inre energi	E_v	J
Arbete	W	J
Entalpi	i	J/kg
Massa	M	kg
Värmeflöde	q	W
Spec. värme konst P	c_p	$J/kg^{\circ}K$
Spec. värme konst V	c_v	$J/kg^{\circ}K$
Isentrop exponent	γ	
Höjd	z	m
Jordacceleration	g	m/s^2
Specifika volymen	v	m^3/kg
Area	A	m^2
Kinetisk energi	E_k	J
Potentiell energi	E_p	J



E_t = energi i turbinen

$$E_t = E_t(P_t, T_t)$$

M_t = massan i turbinen

$$M_t = M_t(P_t, T_t)$$

E_k = energi i kondensorn

$$E_k = E_k(P_k, T_k, Q_k)$$

M_k = massan i kondensorn

$$M_k = M_k(P_k, T_k)$$

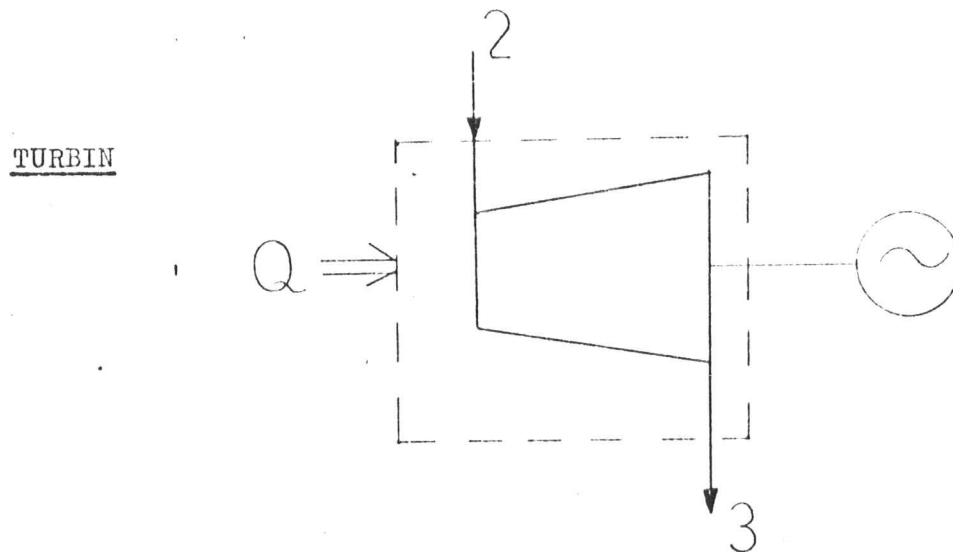
Ideal gas

$$\frac{\partial}{\partial t}(E_k) = \frac{\partial}{\partial t}(uL + \rho v) = \left(\frac{dp}{dt}, \frac{dT}{dt}, \frac{dQ_k}{dt} \right)$$

8

$$\frac{\partial}{\partial t}(M) = \frac{\partial}{\partial t}\left(\frac{PV}{ZT}\right) = \left(\frac{dp}{dt}, \frac{dT}{dt}\right)$$

STAL-LAVAL



Allmäna energiekvationen

$$\frac{dQ}{dt} = \frac{dEV}{dt} + \int_{A_3} \left(L + \frac{c^2}{2} + g^2 \right) dm_3 - \int_{A_2} \left(L + \frac{c^2}{2} + g^2 \right) dm_2 + \frac{dW}{dt} + \frac{dW_{skj}}{dt}$$

E_k , E_p försummas

$$\underline{\text{Def}} \quad E_v = \int_{m_v} u dm_v$$

$$u = i - Pv$$

$$S = \frac{dm}{dV}$$

$$i = C_f T$$

$$V = \frac{v}{m}$$

$$S = \frac{P}{RT}$$

insättning i l ger

$$E_v = \int_v P \left(\frac{C_p}{R} - 1 \right) dv$$

$$R = C_p - C_v \quad \Rightarrow \quad E_v = \int_v \frac{P}{\frac{C_p}{C_v} - 1} dv$$

$$\frac{C_p}{C_v}$$

Derivering m. a. p. tiden ger:

$$\frac{dE_v}{dt} = \frac{1}{\frac{C_p}{C_v} - 1} \int \frac{dP}{dt} dV = \frac{V}{\frac{C_p}{C_v} - 1} \frac{dP}{dt}$$

Insättning i energiekv. ger:

$$\frac{dP}{dt} = \frac{\frac{C_p}{C_v} - 1}{V} \frac{dE_v}{dt} = \frac{\frac{C_p}{C_v} - 1}{V} \left[\int_{A_2} i_2 dm_2 - i_1 dm_1 \right]$$

$$\frac{dP}{dt} = DP_2 = Tl_2 (M_1 \times I_1 - M_2 \times I_2)$$

För hela systemet gäller:

$$DP_2 = Tl_2 \times (M_1 \times I_1 - M_3 \times I_3)$$

Tl_2 = tidskonstant för turbin. Simuleras fram.

$I_1 = I_2$ ty ren strympning

$I = I (P)$

$I_1 = K_1 \times C_{Pl} \times P_1$ Ur värmebalansen fås:

$$K_1 = 4 \times 10^{-5} \quad C_{Pl} = 2.6 \times 10^3 \text{ J/kg}$$

Kontinuitetsekvationen ger:

$$M_1 = M_2; \quad M_3 = M_4; \quad M_5 = M_6$$

Kegelgesetz tillämpad på turbinen ger:

$$M_3 = TK \times \sqrt{1 - \left(\frac{P_3}{P_2}\right)^2} \times \frac{P_2}{\sqrt{T_1}}$$

Beräkning av ventilkarakteristikan

Effekten \sim massflöde = \dot{m}

massflöde \sim ventilläge = x

$$\dot{m} = kx$$

Modellen gäller för 91 % last. Då är 3 ventiler helt öppna
och reglering sker med den 4:de

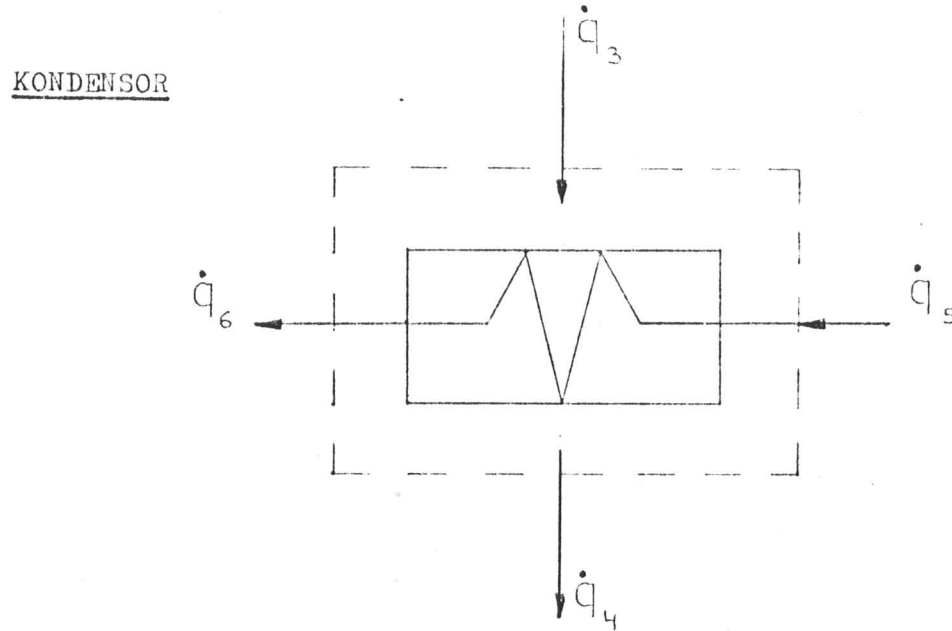
Vid 100 % last

$$\dot{m} = 118.6 \text{ kg/s}$$

$$x = 1 \text{ helt öppen}$$

$$K = 118.6 = VK = \text{ventilkonstant}$$

$$M_1 = VK \cdot x \quad 0 \leq x \leq 1$$



Allmäna energiekvation

$$\frac{dQ}{dt} = \frac{dE_V}{dt} + \int_{A_{4,6}} (i + \frac{c^2}{2} + g_z) dm_{4,6} - \int_{A_{3,5}} (i + \frac{c^2}{2} + g_z) dm_{3,5} + \frac{dW}{dt} + \frac{dW_{skj}}{dt}$$

$$\frac{dW}{dt} = \frac{dW_{sk,j}}{dt} = E_k = E_p = \frac{dQ}{dt} = 0$$

$$\frac{dE_V}{dt} = \sum (\dot{q}_{in} - \dot{q}_{out}) \quad 2$$

$$E_V = \int_m_V u dm_V = \int_V (i - pV) dV = \int_V (i - P) dV$$

Derivering m. a. p. tiden

$$\frac{d}{dt} (E_v) = \frac{dE_v}{dt} = \frac{d}{dt} \int (i_3 - P) dV = \frac{dP}{dt} V \Rightarrow$$

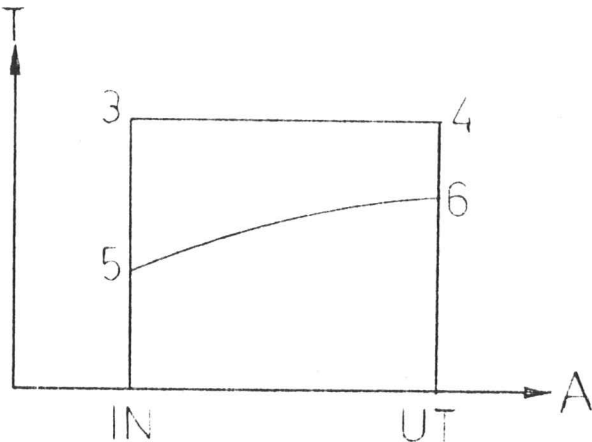
$$\frac{dP}{dt} = \frac{1}{V} \frac{dE_v}{dt} \quad \text{Ins ekv 2 ger}$$

$$\frac{dP}{dt} = \frac{1}{V} [\dot{m}_3 i_3 + \dot{m}_5 i_5 - (\dot{m}_4 i_4 + \dot{m}_6 i_6)]$$

$$\dot{q}_4, \dot{q}_5, \dot{q}_6 = i_v \dot{m}_v \quad v = \text{vatten}$$

$$dP_3 = T_{13} [M_3 \times I_3 + M_5 \times I_5 - (M_3 \times I_4 + M_5 \times I_6)]$$

T_{13} = tidskonstant kondensor

Värmeövergång

$T_3 = T_4$ ty kondensering

T_6 beräknas som ett medelvärde

$$\dot{q} = \Delta i \dot{m} = \dot{m}_3 i_3 - \dot{m}_4 i_4 = Ak \left(T_3 - \frac{T_6 + T_5}{2} \right)$$

$$E_{34} = M_3 \times I_3 - M_3 \times I_4$$

$$\frac{E_{34}}{Ak} = T_3 - \frac{T_6}{2} - \frac{T_5}{2}$$

$$T_6 = 2 \times \left(T_3 - \frac{T_5}{2} - \frac{E_{34}}{Ak} \right)$$

$$== \\ DP_3 = T_1 3 \times \left(E_{34} + M_5 \times I_5 - M_5 \times I_6 \right)$$

Bestämning av konstanter ur värmebalansen

$$I_5 = 306 \times 10^3 \text{ J/kg} \quad T_5 = 73^\circ\text{C}$$

$$I_6 = 2.1 \times 10^3 \times T_6$$

Stationär lösning för turbinen:

$$DP_2 = 0 \quad \text{med } M_1 = 118.6 \text{ kg/s} \quad P_2 = 132.2 \text{ bar} \quad P_3 = 0.82 \text{ bar}$$

$$\text{ges } TK = 1.69 \cdot 10^{-3}$$

Kontroll insättning i DP_2 ger $DP_2 \sim 0$

Stationär lösning för kondensor

$$DP_3 = 0 \quad \Rightarrow \quad AK = -1.67 \cdot 10^6$$

Kontroll

$$DP_3 = 0.2 \cdot 10^6$$

Uppskattning av felet:

$$DP_3 = 10^6 \cdot (92 + 193 - 284)$$

Felet är mindre än 2% av den största termen.

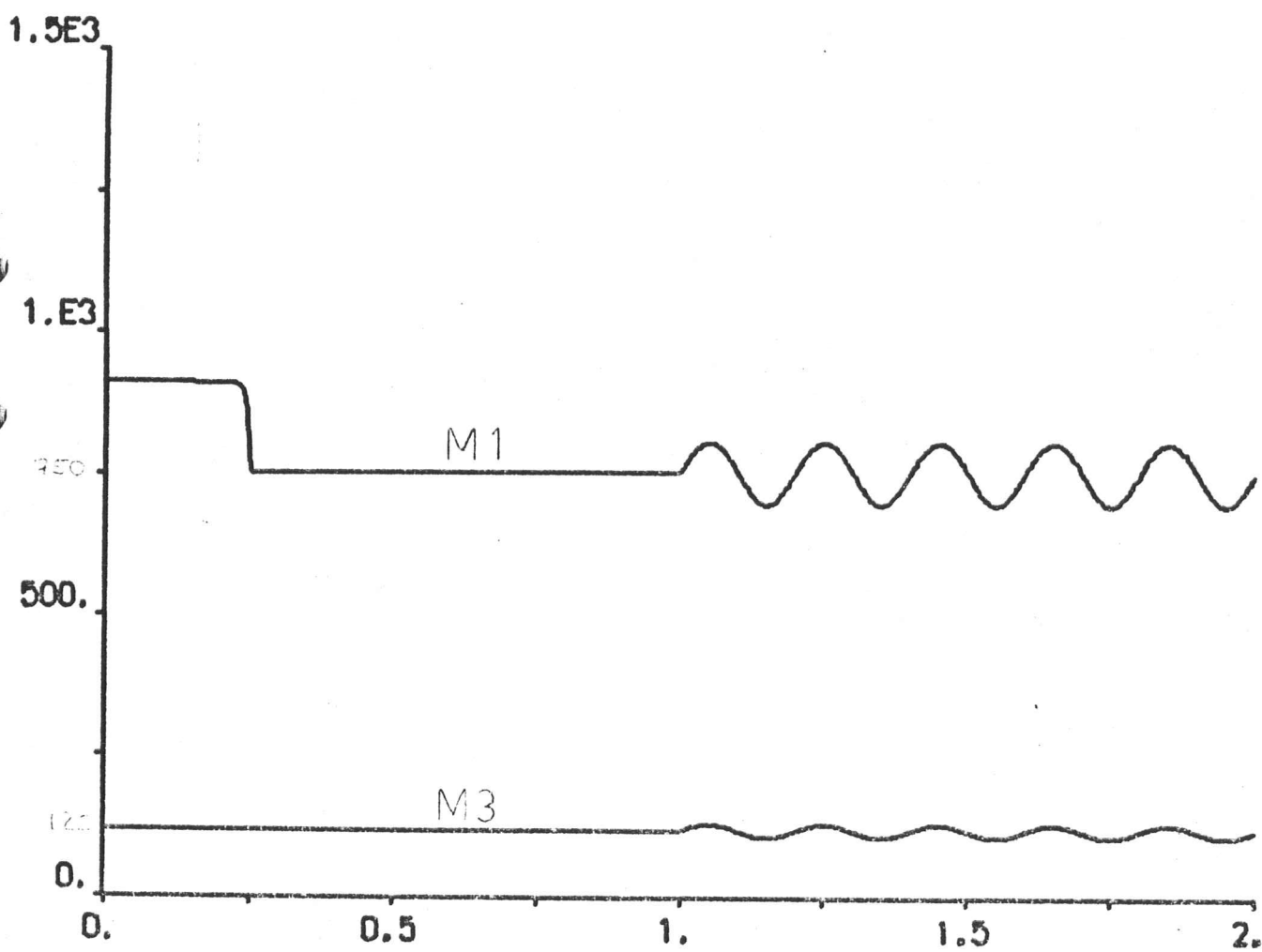
Simuleringsar med hjälp av datamaskin visas på nästföljande sidorna.

M1 = MASSFLÖDE FÖRE REGLERVENTIL

M3 = MASSFLÖDE EFTER TURBIN

HCOPY 0 M3 M1 A-0.1 F-31.4

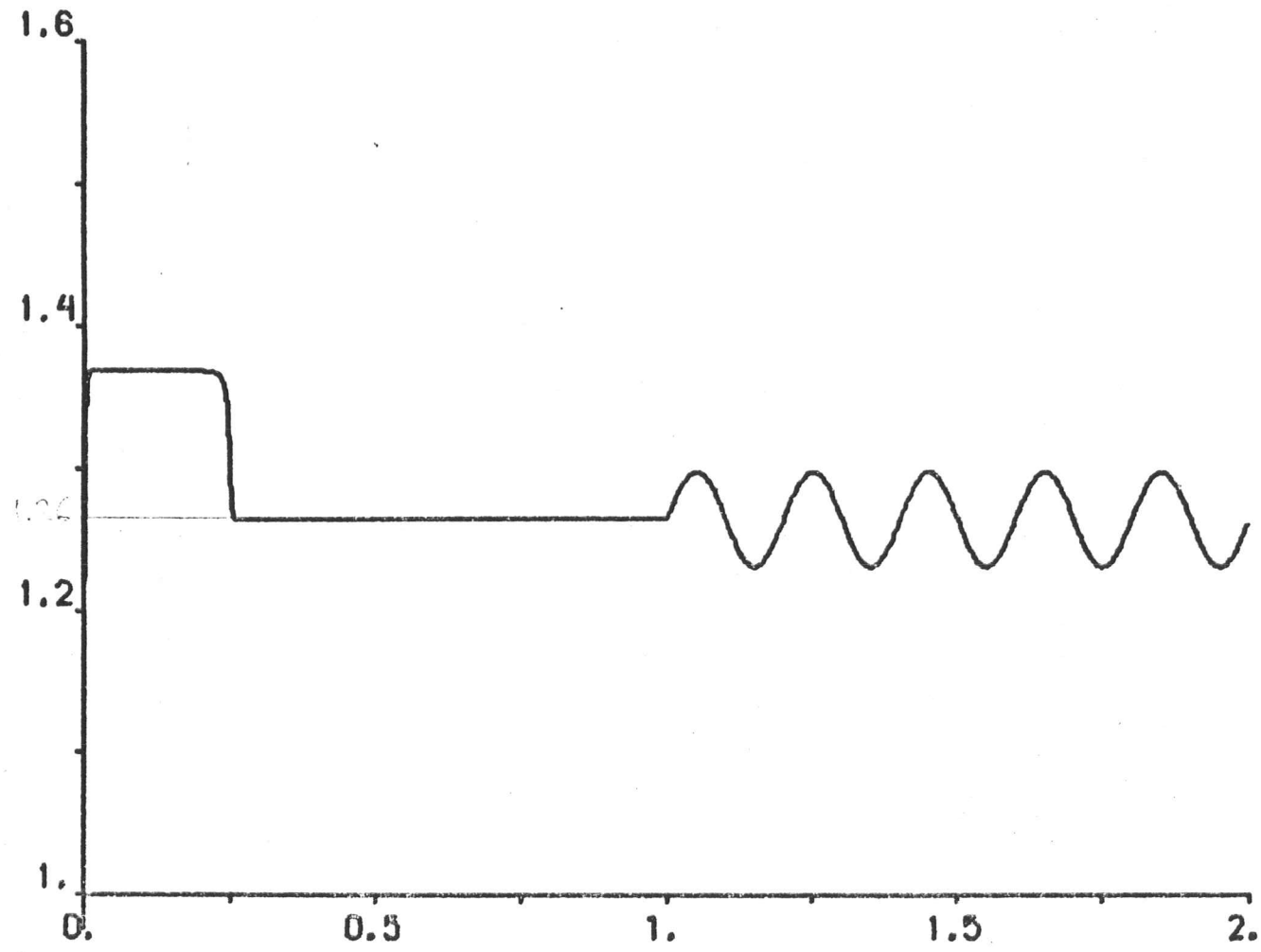
C : M1
C : M3



TRYCKET EFTER TURBINEN

HCOPY Ø P03 A=0.1 F=31.4

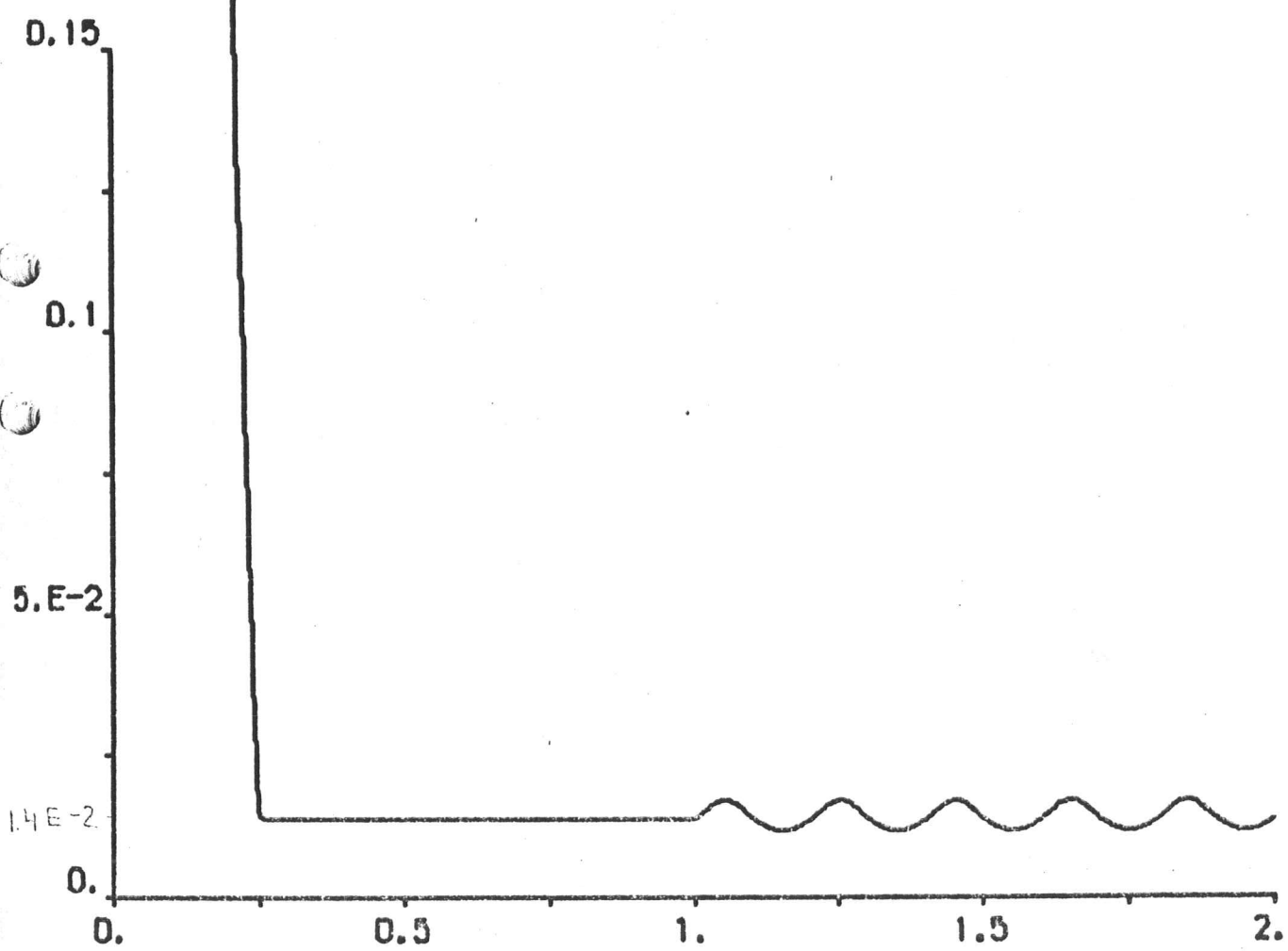
B · P03



TRYCKET EFTER REGLERVENTILEN OCH FÖRE TURBINEN

HCOPY Ø P02 A=0.1 F=31.4

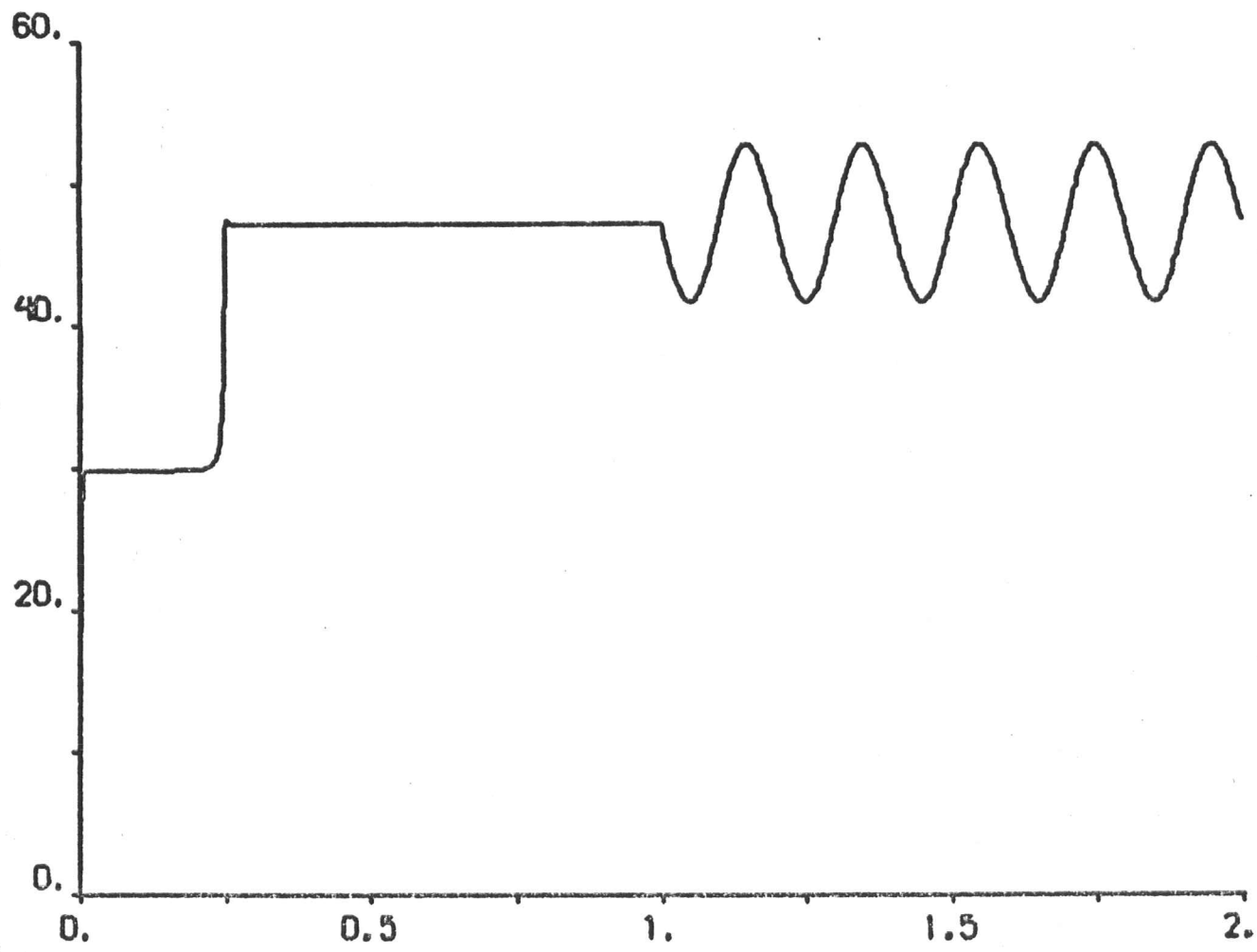
A : P02

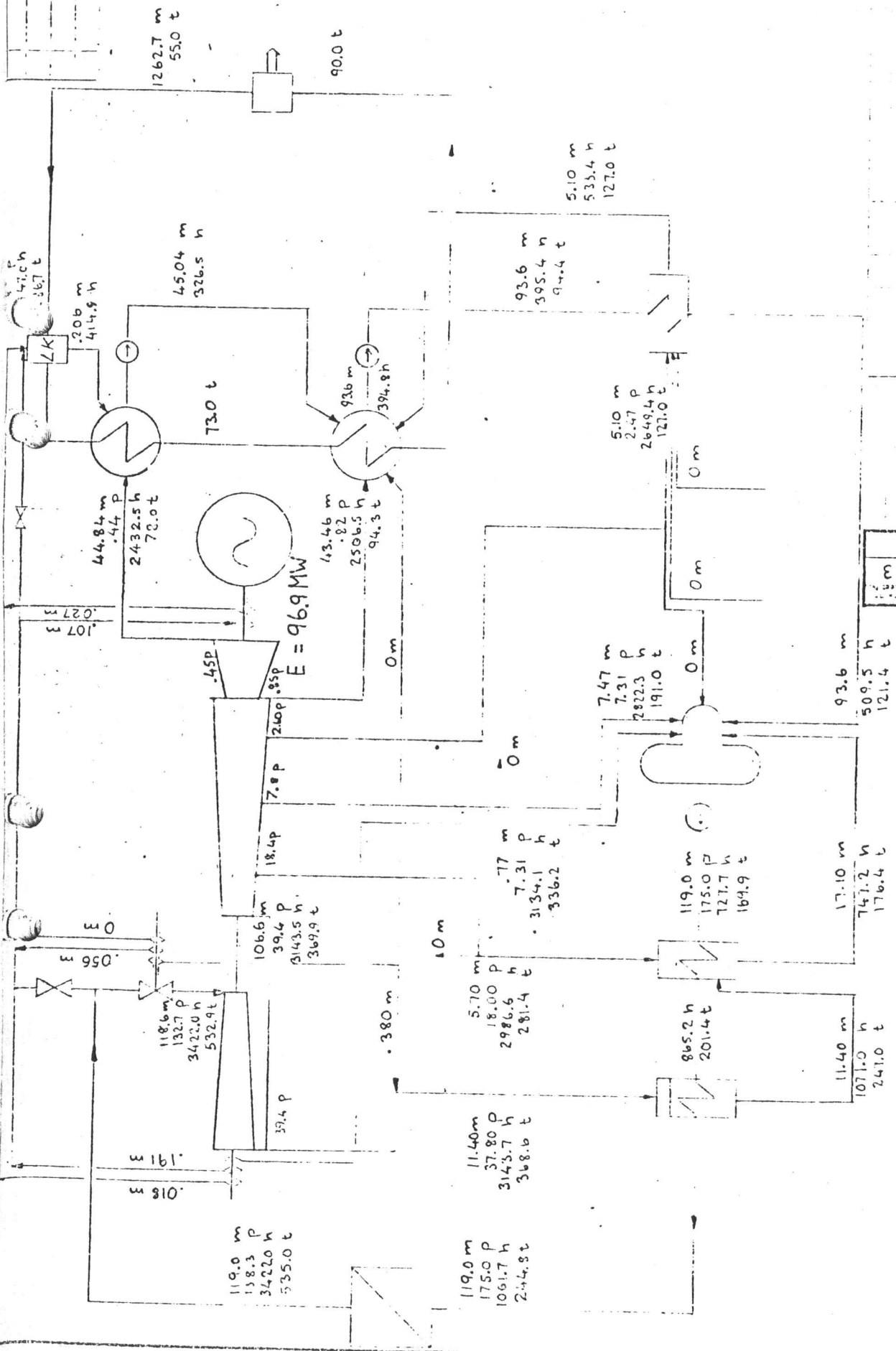


T₆ = TEMPERATUREN PÅ DET UTGÄNDE KYLVATTNET FRÅN
KONDENSORN.

INGEN HÄNSYN TILL TRANSPORTFÖRDROJNING HAR TAGITS.

HCOPY Ø T₆ A=0.1 F=31.4
D · T₆





W. L. G.

STAL-LAVAL industriell
sanitär

ONE BIO 10 MW VARMETURBIN
I LODESSCHEIMA 91% LAST
VITTAFFNIT MÅSTE GÖRA DET

L I T T E R A T U R:

Tyllered, Gunnar "Termodynamik" LTH 1971

Åström, Karl-Johan "Reglerteori" Stockholm 1963

Profos, P "Die Regelung von Dampfanlagen" Springer 1962

Piwinger, Franz "Regelungstechnik für Praktiker" VDI 1975

Elmqvist, Hilding "Simnon" Lund 1975

Glad, Torkel "Opta" Lund 1974

Kompendium i systemteknik, reglertechnik, Lund

Appendix I

ANVÄNDNING AV SIMNON

SIMNON är ett program för simulerings av reglertekniska system. Eventuella överföringsfunktioner i Laplaceform måste skrivas om till differentialekvationer.

Ex. på terminalkörning med kommentarer.

@ RUN SIMNON, PROJNR, PROJID, tid

@ ASG, AX JUREK

C Filen JUREK tillordnas körningen

@@ TTY W,132,S,ctrl G

C Förberedelse för Simnon - köring

@ XQT SIM SIMNON.

C Exekvering av Simnon - programmet

EDIT GI "Här skall system GI skrivas in på filen"

Univac svarar: GI NOT FOUND

INPUT

Här skrives systemet rad för rad:

CONTINUOUS SYSTEM BI

STATE X Y tillståndsvariabler

INPUT U insignal

DER DX DY derivator

DYNAMICS differentialekvationer

STAL-LAVAL

DY = A1 Y + B U

DX = A2 Y

Parametrar:

A1:

A2:

B :

END

return

EDIT

E utgång från editor

SAVFIL JUREK GI

C sparar GI på filen Jurek.

På så sätt skrives kopplingssystemet CI

CONNECTING SYSTEM CI

TIME T

CONNECT

IN = IF S = 1 THEN 1 ELSE SIN (C*T)

U[GI] = IN

S : 1

C : 0.01

END

Parameter kan ändras med PAR - kommando, t ex

PAR S[CI]:0

För att simulera GI måste man definiera systemet GI CI
SYST GI CI

Nu skall man säga vilka variabler skall plottas ut.

PLOT Y[GI]

AXES V 0 1.5 H 0 100 - ritar axlar

SIMU 0 100 systemet simuleras och Y plottas på skärmen.

För att få kopior på Univacs plotter, följande kommandon
skall köras:

STORE Y[GI] Spara variabel

SIMU /A simulera och spara på filen A (Simmon-
fil)

AXES rita axlarna

SHOW /A Visa vad som finns på filen A

HCOPY "SYST GI - STEGSVAR

Kurvan kopieras och strängen efter " kommer som rubrik.

DISP - kommando ger utskrift av värden för alla variabler
och parametrar vid simulerings slut. Tidsfördröjning
kan simuleras med DELAY - system, som vi behöver till
simulering av G4 - startsonden:

CONTINUOUS SYSTEM G4

INPUT U

STATE XI X2

Deklarationer av variabeltyper

DER DXI DX2

OUTPUT Y

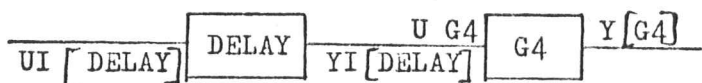
OUTPUT

 $Y = XI$

DYNAMICS

 $DX1 = A1 X1 + X2 + B U$ $DX2 = A2 X1$ $A1 : -5.8E - 2$ $A2 : -57.E - 5$ $B : 1.539E - 3$

END



CONNECTING SYSTEM Q4

TIME T

CONNECT

 $TDI [DELAY] = T - 2.4$

IN : I

 $UI [DELAY] = IN$ steg in $U [G4] = YI [DELAY]$

END

LET NI.DELAY = 0

, N2.DELAY = I

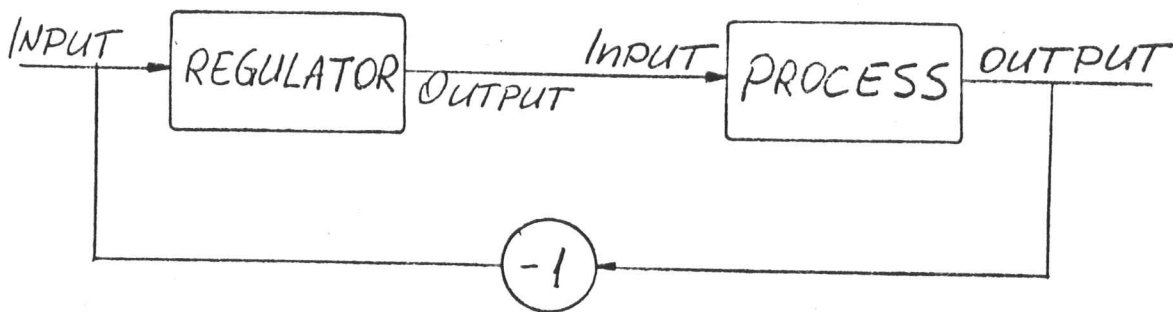
LET SPACE.DELAY = 450

Kärnminnesutrymme som behåller simulerade värden en tid
(här 2.4 s)

SYST G4 DELAY Q4

systemet med fördröjningen är definierad och kan plottas
ut på vanligt sätt.

För att återkoppla processen med en regulator behöver vi skriva en CONNECTING SYSTEM, där input till processen är detsamma som output från regulatorn och input till regulatorn är output från processen. Se figuren nedan. Våra system finns på sidorna: 7: 8 - 10



I vårt fall är det aktuellt med PI - regulatorerna, som har överföringsfunktionen $P_1 + \frac{P_2}{s}$ eller i dynamisk form:

$$\begin{cases} DX = U \\ Y = P_1 \times U + P_2 \times X \end{cases}$$

Regulatorer beskrivs i Simmon på samma sätt som processer, d.v.s. i continuos system. Sedan simuleras hela systemet i vanlig ordning, med några begynnelsevärden på parametrarna P_1 och P_2 .

För oss gällde det att få processen att reagera "hyggligt", d.v.s. utsignalen skall regleras ner till noll relativt fort och utan stora överslängar. Dessutom skall ventil-

lägesändringen genomföras med måttlig hastighet och utan större överslängar. Med hjälp av bildskärmsterminalen kan det genomföras mycket åskådligt. Vi simulerade systemet och plottade på skärmen processens utsignal och ventilläge. Om vi inte var nöjda med deras utseende, då ändrade vi parametrarna P1 och P2 med PAR - kommando. (Till exempel PAR P1 : 0.1). Sedan kunde vi simulera och plotta om tills vi fick tillfredsställande resultat.

Den här var en optimering för hand. Det finns en möjlighet att optimera regulatorparametrarna automatiskt med hjälp av OPTA - systemet. (Se figur på sid. 7:11)

I regulatorbeskrivningen definierar man parametrarna som input-variabler (INPUT U P1 P2) och i processbeskrivningen inför man en förlustfunktion, som man vill minimera.

Till exempel:

$$\begin{aligned} J &= \int y^2 dx \quad \text{minimera utsignalen } y \\ J &= \int (y^2 + u^2) dx \quad \text{minimera både in och ut-} \\ &\qquad \qquad \qquad \text{signal} \end{aligned}$$

Förlustfunktionen motsvarar då LOSS-funktionen i OPTA.

OPTA simulerar systemet upprepade gånger och ändrar regulatorparametrarna så att förlustfunktionen minimeras. På det sättet får fram de optimala parametrarna.

En lämplig förlustfunktion i vårt fall skulle antagligen bli:

$$J = \int (ay^2 + b\frac{du}{dt} + cu^2) dt$$

STAL-LAVAL

där $\frac{du}{dt}$ är ventilstigheten och a, b, c är viktningstalen.

Denna metod för oss utanför det centrala syftet med examensarbetet, då bestämning av viktningstalen höjer enormt kostnaderna för datamaskinkörningarna.

Appendix II

85

```

MACRO M4
GETFIL F G4 C4 PIREG
LET N1.DELAY=0
LET N2.DELAY=1
LET SPACc.DELAY=450
SYST G4 PIREG DELAY C4
AXES V -10 2 H 0 300
PLOT UAG4A YAG4A
SIRU 0 300
END

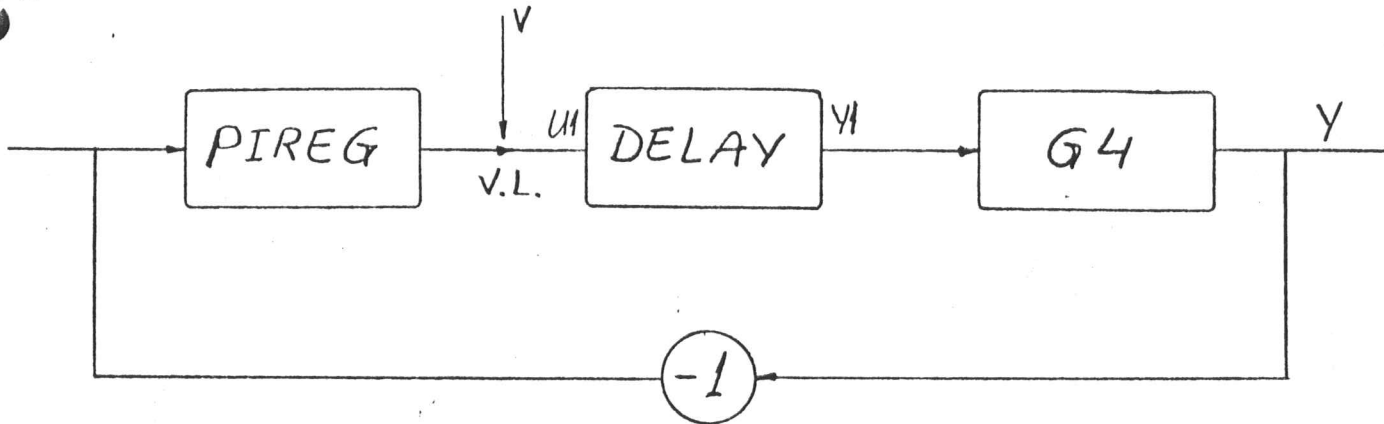
```

CONNECTING SYSTEM C4

```

TIME T
CONNECT
T01ADELAYA=T-2.4
YAPIREGA==YAG4A
U1ADELAYA=YAPIREGA+V
V:1
UAG4A=Y1ADELAYA
END

```



```

MACRO M12
GETFILE F G12 F12 PIREG
LET N1.DELAY=0
LET N2.DELAY=1
LET SPACE.DELAY=450
SYST PIREG DELAY G12 F12
PLOT UAG12A YAG12A
AXES V -5 1 H 0 100
SIFU 0 100
END

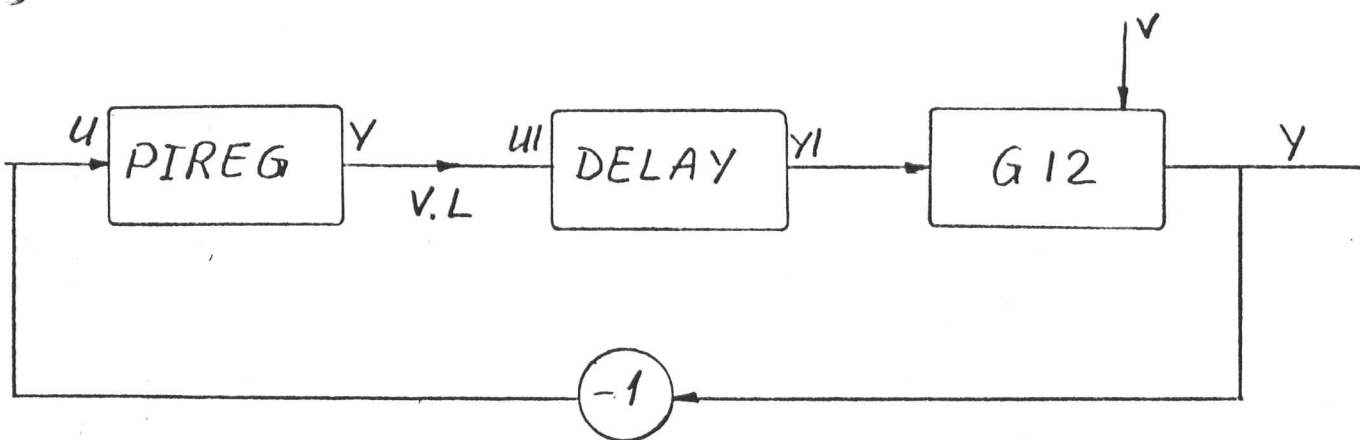
```

CONNECTING SYSTEM F12

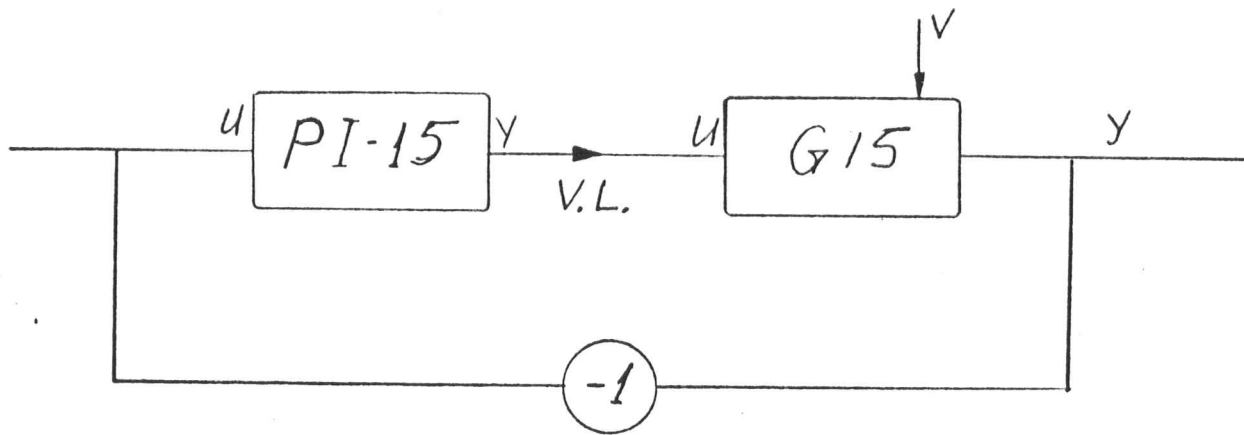
```

TIME T
CONNECT
T01ADELAYA=T-19.2
YAPIREGA=YAG12A
Y1ADELAYA=YAPIREGA
UAG12A=Y1ADELAYA
END

```



CONNECTING SYSTEM C15
CONNECT
 $U_{API15A} = -Y_{AG15A}$
 $U_{AG15A} = Y_{API15A}$
END



CONNECTING SYSTEM C13

TIME TT

CONNECT

UAPIREGA=YAG13A

UAG13A=YAPIREGA

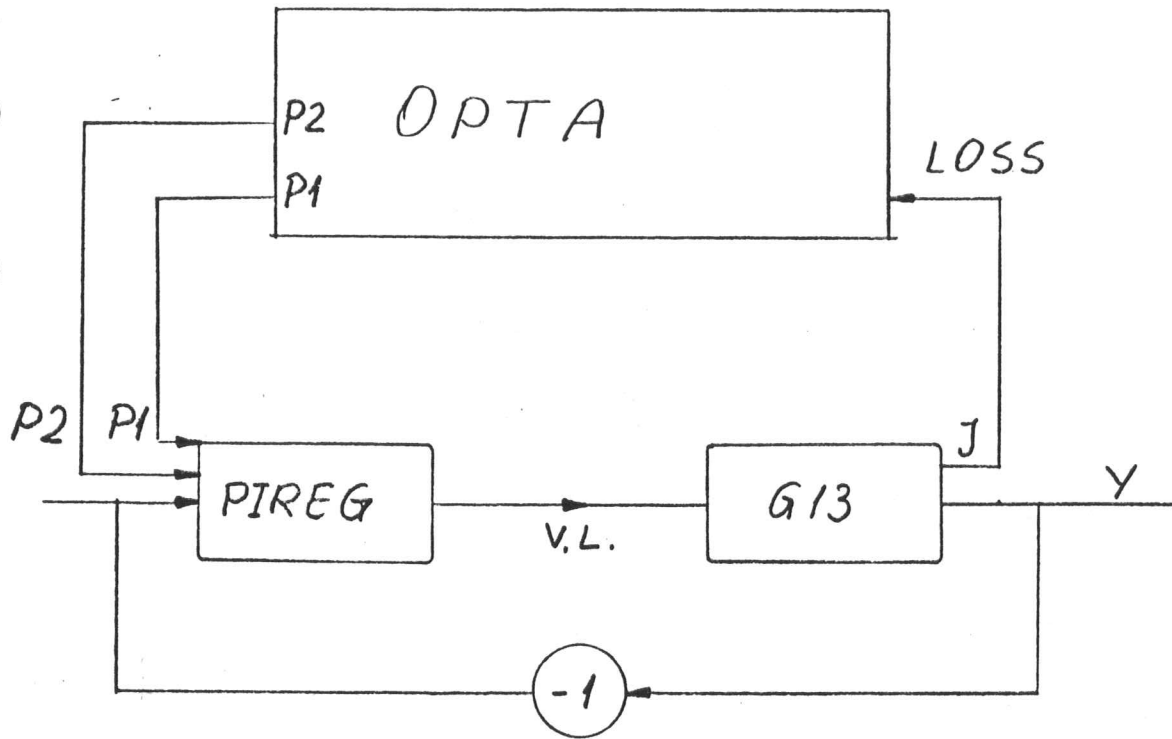
LOSSAOPTAA=JAPIREGA

P1APIREGA=P1AOPTAA

P2APIREGA=P2AOPTAA

T=TT-TBEGAOPTAA

END



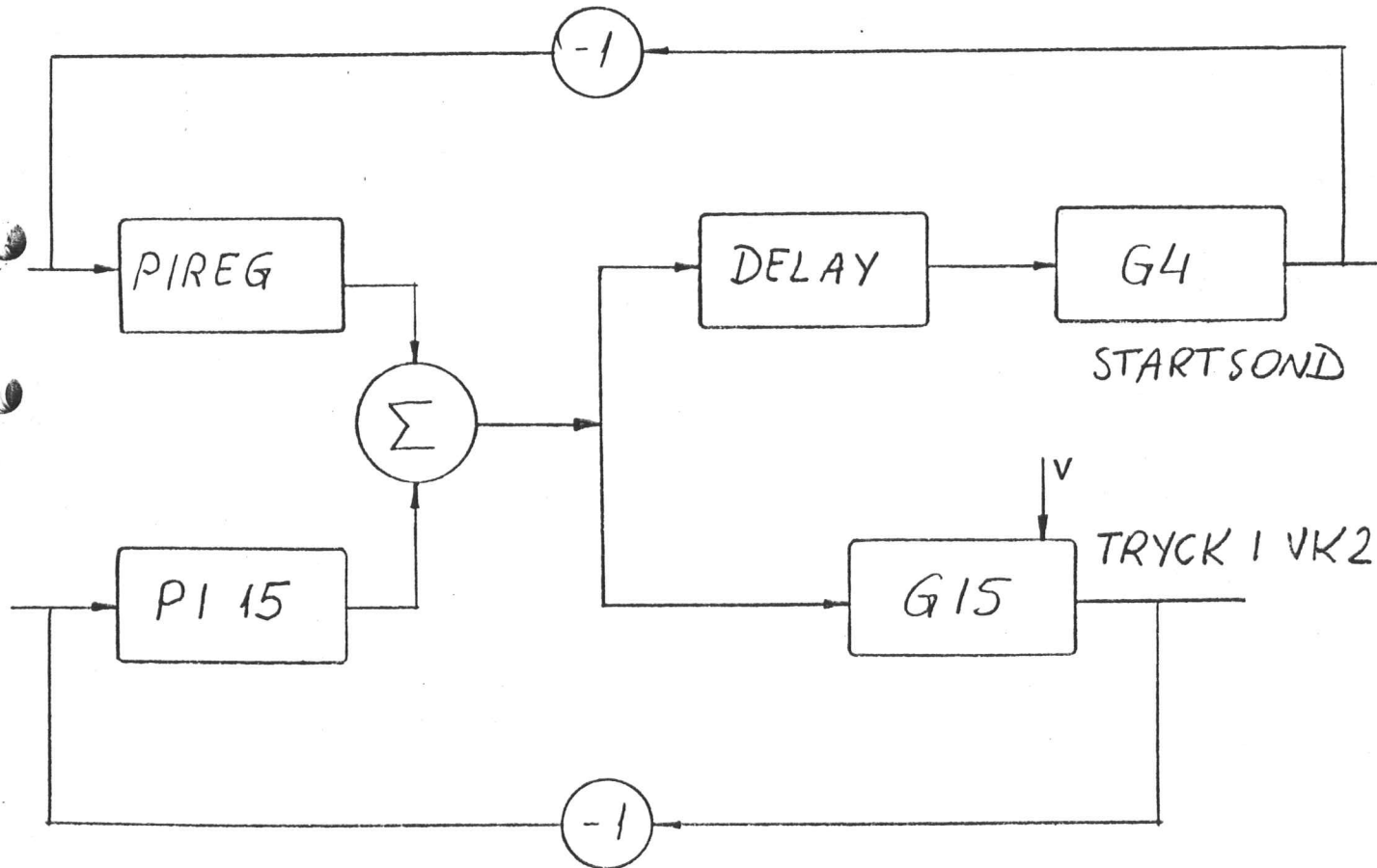
```

MACRO ACTU
LET N1.DELAY=0
LET N2.DELAY=1
LET SPACE.DELAY=450
GETFIL F G4 G15 PIREG PI15 CTU
SYST G4 G15 PIREG PI15 DELAY CTU
END
-----
```

```

CONNECTING SYSTEM CTU
TIME T
CONNECT
TD1ADELAYA=T-2.4
YAPIREGA=YAG4A
YAPI15A=YAG15A
U1ADELAYA=MIN(YAPIREGA,YAPI15A)
UAG15A=MIN(YAPIREGA,YAPI15A)
UAG4A=Y1ADELAYA
END
```

SE DISPLAY PÅ NÄSTA SIDA



90

CONTINUOUS SYSTEM G4

TIME : T	400,000				
STATE : X1	-1.406725-04	X2	2.959738-04		
INIT : X1	0.000000	X2	0.000000		
DER : DX1	1.063581-06	DX2	7.992756-08		
INPUT : U	-1.197552				
OUTPUT: Y	-1.406725-04	A1	5.795454-02	A2	5.681818-04
	B	1.534091-03			
PAR : C	22,0000	D	80,0000	A	2,70000

CONTINUOUS SYSTEM G15

STATE : S	-294033	X	-1.841974-02		
INIT : S	0.000000	X	0.000000		
DER : DS	-4.267227-05	DX	2.356741-06		
INPUT : U	-1.197593				
OUTPUT: Y	5.966932-03	A1	-6.250000-02	A2	-1.000000-03
	B	300000			
PAR : V	1.500000-03	PV			

CONTINUOUS SYSTEM PIREG

STATE : X	3.12548				
INIT : X	0.000000				
DER : DX	8.440350-04				
INPUT : U	1.406725-04				
OUTPUT: Y	3.13955	DZ	8.440350-04	PV	100,000
PAR : P1	100,000	P2	6.00000		

CONTINUOUS SYSTEM PI15

STATE : X	-1.191626				
INIT : X	0.000000				
DER : DX	-5.966932-05				
INPUT : U	-5.966932-03				
OUTPUT: Y	-1.197593	P2	1.000000-02		
PAR : P1	1.000000				

CONTINUOUS SYSTEM DELAY

INPUT : U1	-1.197593	TD1	397,600		
OUTPUT: Y1	-1.197552				

CONNECTING SYSTEM CTU

TIME : T	400,000				
----------	---------	--	--	--	--

CONTINUOUS SYSTEM G2
 INPUT U
 STATE Y
 DER DY
 DYNAMICS
 $DY = A \cdot Y + B \cdot U$
 $A := -0.0064$
 $B := 2.0E-3$
 END

TEMP. I FJÄRRVÄRMEVATTEN / VENTILLÄGE

CONTINUOUS SYSTEM G3
 INPUT U
 STATE Y
 DER DY
 DYNAMICS
 $\bullet = A \cdot Y + B \cdot U$
 $A := -12.5$
 $B := 15.0$
 END

GENERATOREFFEKT / TRYCK I TURB. INLOPP

CONTINUOUS SYSTEM G4
 TIME T
 INPUT U
 STATE X1 X2
 DER DX1 DX2
 OUTPUT Y A1 A2 B
 OUTPUT
 $Y = X1$
 $A2 = 1/C/D$
 $B = A \cdot A2$
 $A1 = (C+D) \cdot A2$
 DYNAMICS
 $DX1 = -A1 \cdot X1 + X2 + B \cdot U$
 $DX2 = -A2 \cdot X1$
 $\bullet 2.7$
 $\bullet 22$
 $D := 80$
 END

STARTSOND / VENTILLÄGE

CONTINUOUS SYSTEM G5
 INPUT U
 STATE Y X
 DER DY DX
 DYNAMICS
 $DY = A1 \cdot Y + X$
 $DX = A2 \cdot Y + B \cdot U$
 $A1 := -0.0025$
 $A2 := -0.977E-3$
 $B := 0.78E-3$
 END

TRYCK I VK2 / TRYCK I TURB. INLOPP

CONTINUOUS SYSTEM G6
 INPUT U
 STATE Y
 DER DY

TRYCK I TURB. INLOPP / VENTILLÄGE

```
DYNAMICS
DY=A*Y+B*U
A:-12.5
B:15.0
END
```

CONTINUOUS SYSTEM G9

```
INPUT U
STATE Y
DER DY
DYNAMICS
DY=A*Y+B*U
A:-1.20
B:1.20
END
```

KÖPT EFFEKT / GENERATOREFFEKT

CONTINUOUS SYSTEM G11

```
INPUT U
STATE Y
DER DY
DYNAMICS
DY=A*Y+B*U
A:-0.01
B:0.0063
END
```

TEMP. I FJÄRRV.VATTEN / TRYCK I VK2

CONTINUOUS SYSTEM G12

```
INPUT U
STATE X
DER DX
OUTPUT Y
OUTPUT
Y=X+V
```

TEMP. I FJÄRRV.VATTEN / VENTILLÄGE

DYNAMICS
DX=A*X+B*U
A:-0.4E-3
B:6.5E-4

CONTINUOUS SYSTEM G13

```
INPUT U
STATE S
DER DS
OUTPUT Y
OUTPUT
Y=S+V
DYNAMICS
DS=A*S+B*U
V:1
A:-1.26
B:0.32
END
```

KÖPT EFFEKT / VENTILLÄGE

CONTINUOUS SYSTEM G14
INPUT U
STATE Y
DER DY
DYNAMICS
 $DY = A * Y + B * U$
 $A := -5.0$
 $B := 1.25$
END

GENERATOREFFEKT / VENTILLÄGE

CONTINUOUS SYSTEM G15
INPUT U
STATE S X
DER DS DX
OUTPUT Y
OUTPUT
 $S + V$
DYNAMICS
 $DS = A1 * S + X$
 $DX = A2 * S + B * U$
 $V := 0.03$
 $A1 := -0.0625$
 $A2 := -0.001$
 $B := 0.000146$
END

TRYCK I VR2 / VENTILLÄGE

Appendix III

9L

CONTINUOUS SYSTEM TURBIN
INPUT x
TIME t
STATE PP2 P3 T7
DER DPP2 DP3 DT7
OUTPUT
P2=PP2*150
M1=VK*(1+AK*x)
A:0.1
M0=TK*SQRT(ABS(1-P3*P3/P2/P2))
T1=K1*p1
P1:138.3E5
M5:500.0
I1=CP1*K1*p1
T3=K3*p3
I3=CP3*K3*p3
I4=CPV*T3
~~I4=1.5*I5-M3*I4~~
T6=2*(T3-T5/2-E34/AK)
T0=T7
Io=CPV*T0
T12:0.03
I3:0.2
PU2=P2/PUU2*150
PU3=P3/PUU3
PUU2:132.7E5
PUU3:0.03E5
VK:118.0
TK:630
CP1:2.6E3
K1:4.E-5
K3:115.E-5
CP3:1.9E3
CPV:3.E3
T5:75.0
I5:306.E3
AK:-1.67E0
DYNAMICS
~~M2=T12*(M1*I1-M3*I3)~~
DPP2=DP2/150
DP3=T13*(E34+M5*I5-M5*I6)
DT7=-0.13*(T7-T6)
END

CONNECTING SYSTEM C
TIME t
CONNECT
XATURBINA=IF T>1 THEN SIN(F*t) ELSE 0
F:31.4
END

MACRO T
GETFIL F TURBIN C
SYST TURBIN C
INIT PP2:3.87E4
P3:0.8E5
T7:505
ERROR 50
END